

Mottó: „A kísérletek nélküli fizika nem több
egy érthetetlen képletgyűjteménynél”

Stroboszkópos fényképekkel
támogatott fizikaórák
a nagyváradi Adyban

dr. Bartos-Elekes István, Nagyvárad, ADY Endre Líceum

A stroboszkópos képekből készült fényképalbumot

Gilicze Tamás,

Csongrádi Batsányi János Gimnázium és Kollégium tanárának

dr. Bartos-Elekes István,

a CNC stroboszkópos felvételek készítője ajánlotta fel

Tartalomjegyzék

⦿ Néhány szó az album stroboszkópos képeiről.	3
⦿ Néhány szó a komplex berendezésről	5
⦿ Első próbálkozásaim	9
⦿ Klasszikus stroboszkópos képek	13
⦿ A pálya viszonylagossága	23
⦿ Körmozgás	34
⦿ Tehetetlenség	39
⦿ Rugalmas ütközések	46
⦿ Mozgás a lejtőn	53
⦿ Körmozgás - Rezgőmozgás	58
⦿ Mechanikai rezgések	63
⦿ A rugalmas inga lecsengő rezgései	73
⦿ Egymásra merőleges rezgések összetétele	77
⦿ Felületi hullámok	83
⦿ Állóhullámok a húrokban	88
⦿ Vegyes témaújú képek	97
⦿ Az egyszerű lefuttatást kiegészítő forrógombok	105

Néhány szó az album stroboszkópos fényképeiről

A múlt század '70-es éveinek végén egy kalibrált elektronikus stroboszkópot építettem, amely a '80-as évek végére - a frissen elfogadott szabadalmam (párhuzamos interfész, PIO) alapján - számítógépes kapcsolatot is kapott. A villantásvezérlőt egy kvarcalapú, rezidens program működtette, de ugyanaz a PC indította el és állította meg a kísérletvezérlőt és a fényképezőkocsit is, kezelte a teremvilágítást, figyelte a fényképezőgép zárszerkezetét és elindította-kezelte-megállította a kísérletet, majd kinyomtatta a mérési jegyzőkönyvet. Precíziós fénysorompók választották ki a mozgás „kifényképezendő” részét. Az addig elterjedt állandó időközű stroboszkópos fényképezéshez képest vezettem az állandó térközű fényképezést, illetve a villantási időköz táblázatot. A fényképezőkocsi mozgását (Master-Slave módban) egy másik PC vezérelte, így sikerült a különböző módokon elmozduló (egyenletes vagy gyorsuló) megfigyelő szemével láttatnom a mozgó test helyzeteit, a pálya viszonylagosságát. Érdekes egybeesés: először a golyó szabadesését állandó térközzel fényképezzük, és egy gyorsuló fényképezőkocsiból figyeljük. A második esetben állandó időközzel fényképezünk, a golyó egyenletesen ereszkedik, és az egyenletesen elmozduló fényképezőkocsiból figyeljük a pályát. Mindkét esetben egy ferdén, egyenletesen elmozduló golyó pályaképét láthatjuk.

A kezdeti nehézségek után az igen komplex számítógép-vezérelt stroboszkópos berendezéssel lefényképeztem az elemi mozgásokat, a teheterlenséggel kapcsolatos alapvető kísérleteket, az ütközéseket, a rezgéseket, a hullámokat, a hullámjelenségeket. Különleges figyelmet fordítottam a pálya viszonylagosságának bemutatására. Igazi stroboszkópos csemege a mozgásfüggvény inverz-függvénye szerinti villantási időközzel való fényképezés, amelynek szigorúan egyenletes mozgást kellene mutatnia, de az indító elektromágnes remanenciája miatti késés pályatorzulást okoz. A torzulás mértékéből visszaszámíthatjuk a torzulás okát. Olyan képet is láthatnak, amelyben egy jóindulatú csalás van. A pálya viszonylagosságát demonstráló, szabadon eső golyónak nincs tartó-elektromágnese. Ha lenne, az állandó térközűre fényképezett pálya eltorzulna. Ezt kikerülendő, az első időközt meghosszabbítottam a visszatartási idővel, és kitöröltem a megfogó elektromágneset (ez a csalás). A plafonba szerelt lineáris oszcillátor rezgéseinek a fékezés miatti csillapodását két hónapig fényképeztem, mert a 250 felvételen a krétadarabot tartó zsinór nem maradt párhuzamos önmagával, szeizmográfként reagált minden környezeti mozgásra. Amikor ez sikerült, akkor kiderült, hogy sokkal nagyobb a baj, mert a lecsengés nem exponentiális! A kísérlet körülményeinek elemzése kiderítette, hogy így a jó, de miért? Ha jól megnézzük a három képet, akkor egyértelműen látszik az ok: a fékezést egy lényegében állandó, és nem a sebességgel arányos fékezőerő okozhatta, ugyanis a zsinórt vezető csigát finoman szabályozható csúszási súrlódással fékeztem.

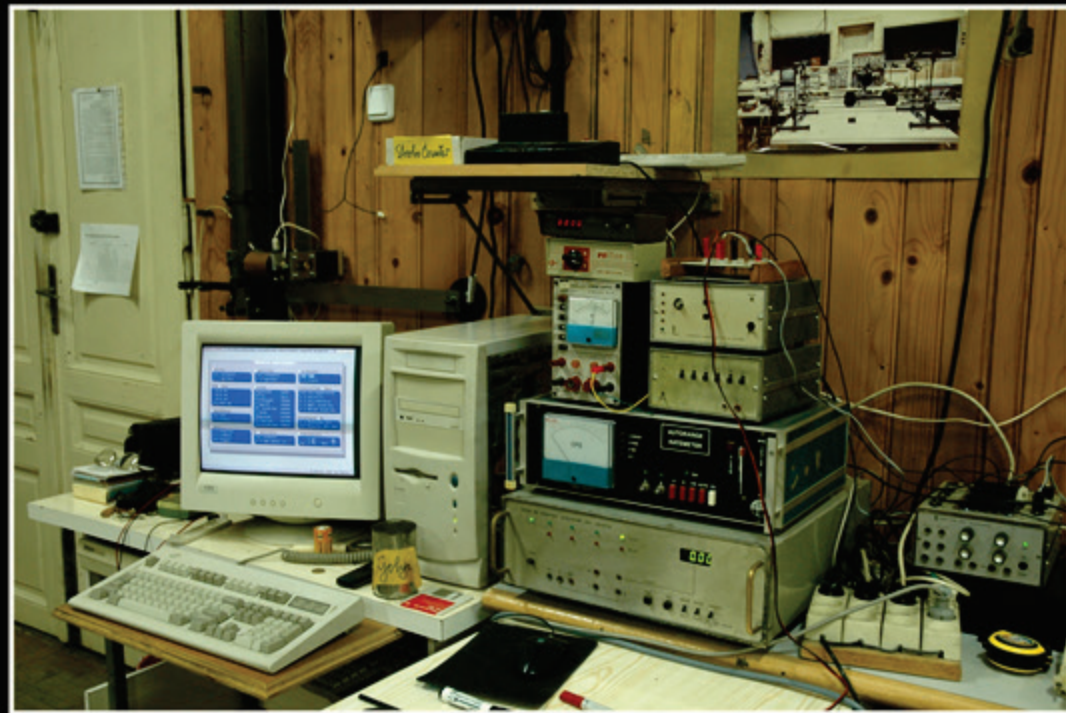
Néhány szó a komplex berendezésről



1975-ben az Altamira sok ezer éves barlangfestményei között egy nyolclábú vaddisznót láttam. Rögtön megfogalmazódott ben nem a fizikatanítást segítő pályaképek készítésének a lehetősége. A hazajövetelem után egy elektronikus stroboszkópot terveztem, és meg is építettem.

A stroboszkóp vezérlése

A klasszikus stroboszkóp 1977-ben épült, de a '80-as évek végére számítógép-vezérlést is kapott. A mostani rendszer egy közepes képességű PC-ből és egy sor, saját fejlesztésű kiegészítő elektronikus készülékből áll.



Állandó időközű fényképezés. A villantásvezérlőt egy kvarcalapú, rezidens program működteti, de ugyanaz a PC indítja el és állítja meg a kísérletvezérlőt és a fényképezőkocsit is, kezeli a teremvilágítást. Precíziós fénysorompók választják ki a mozgás „kifényképezendő” részét.

Állandó térközű fényképezés (1992). Az addig elterjedt állandó időközű stroboszkópos fényképezéshez képest bevezettem az állandó térközű fényképezést és a villantási időköz táblázatot. Ezzel a módszerrel összesen 1024, tetszésszerinti villantási időközt lehet előre beállítani.

A fényképezőkocsi

Egy robustus, párhuzamos ékpályán elmozduló, CNC kiskocsi, rajta a fényképezőgép, a mindenkor megfigyelő. A mechanikai mozgások tanításakor a pálya viszonylagosságát hivatott láttatni.



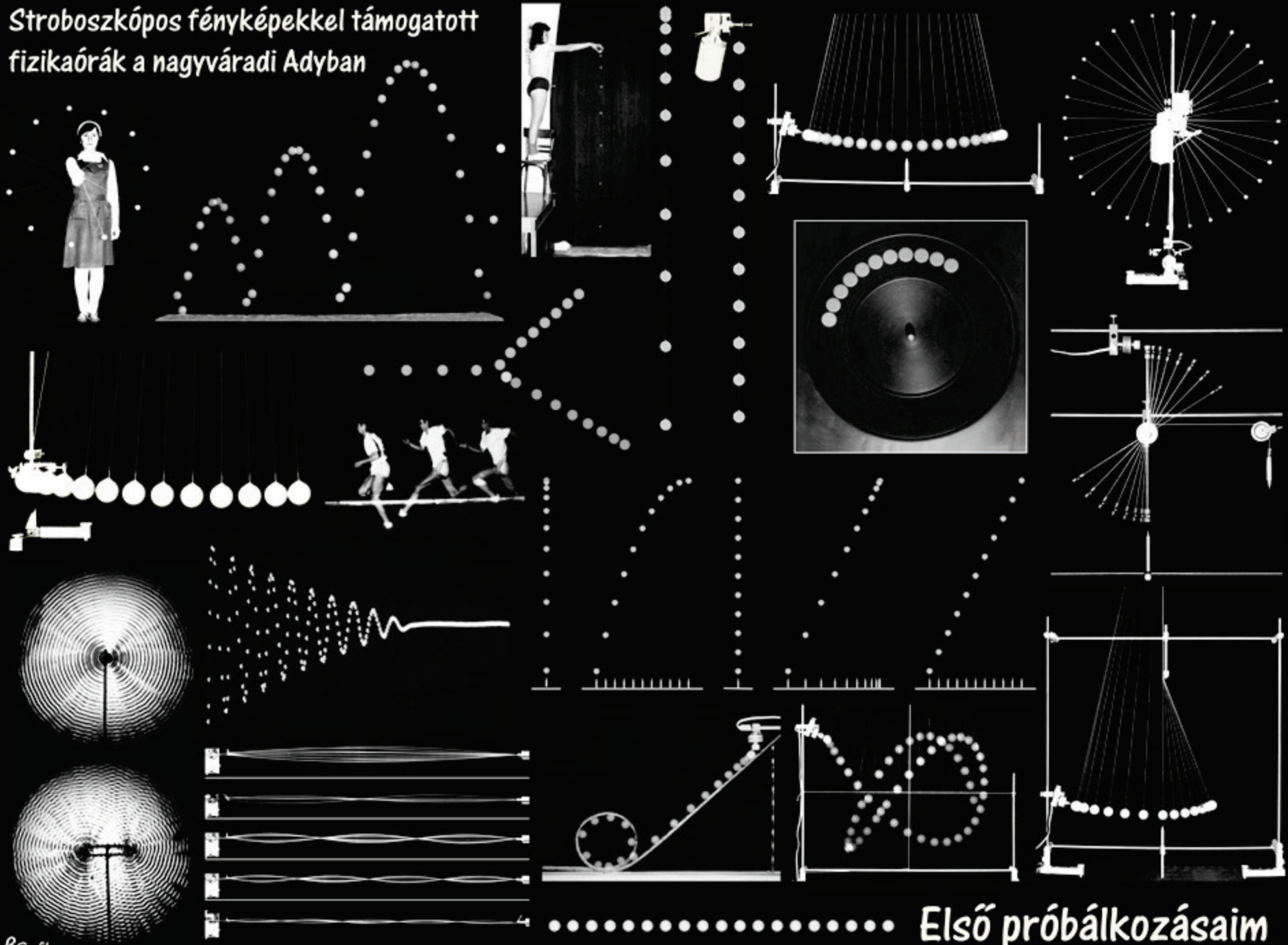
Optoelektronikus helyzetérzékelő. A kiskocsi mozgását egy másik számítógép vezérli Master-Slave módban a villantásvezérlő Master PC-vel. A mintegy 200 helyzetiinformáció alapján a Slave PC a kiskocsi mozgását vezérli az előre megadott időelmozdulás függvény szerint.

Ha a **villantási időfüggvény** a mozgásegyenlet inverz-függvénye, akkor egyenletes mozgás látszik a képen. Amennyiben zavaró jelenségek vannak, úgy a stroboszkópos felvétel nem egyenletes mozgást jelez, ekkor megtalálhatjuk, és ki is mérhetjük a zavaró okokat.



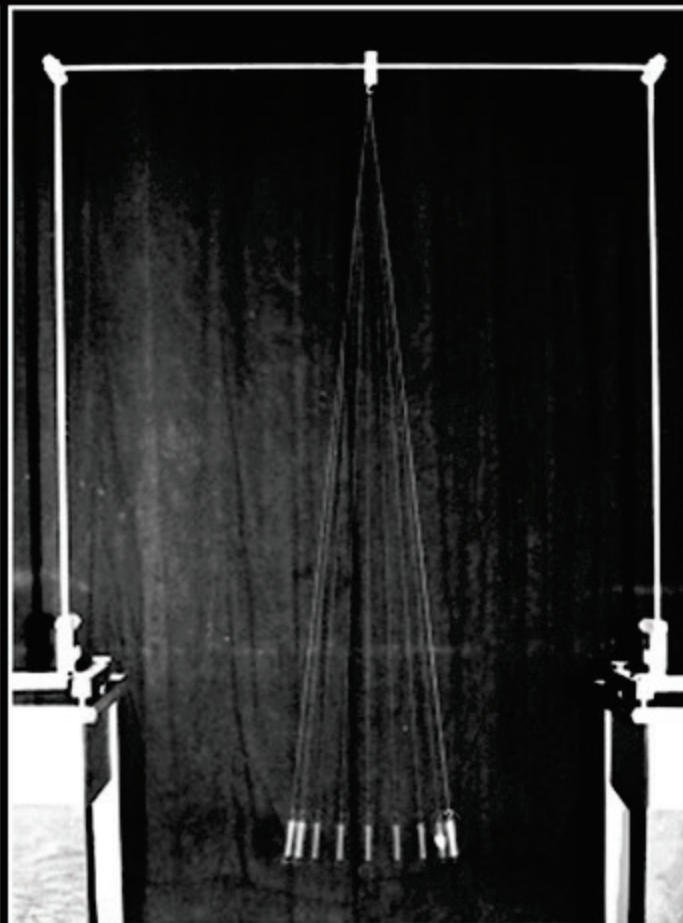
Számítógép-vezérelt stroboszkóp

Stroboszkópos fényképekkel támogatott
fizikaórák a nagyváradi Adyban



Első próbálkozásaim

A kezdetek... 1977

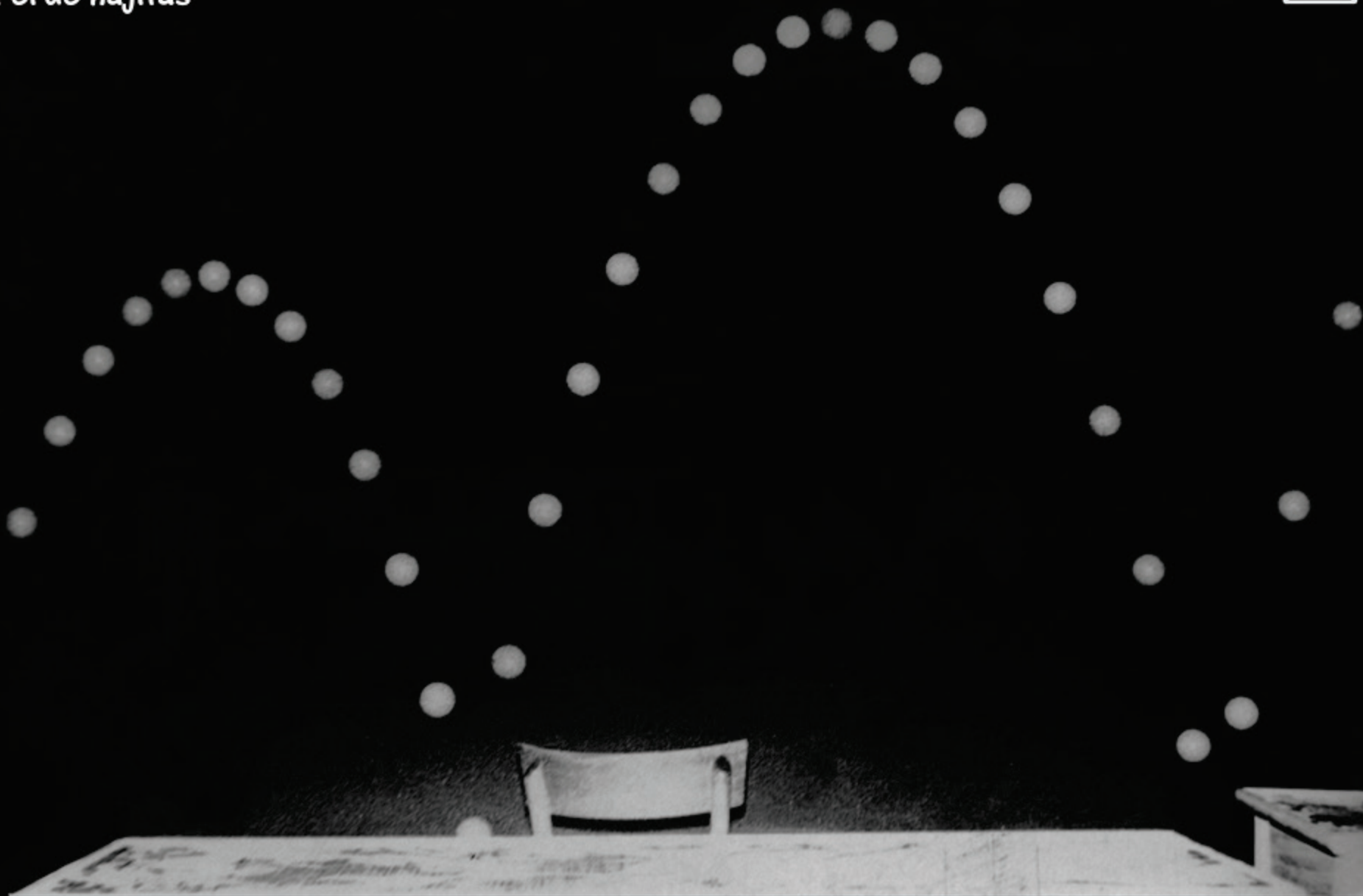


A labda szabadesése

Körmozgás

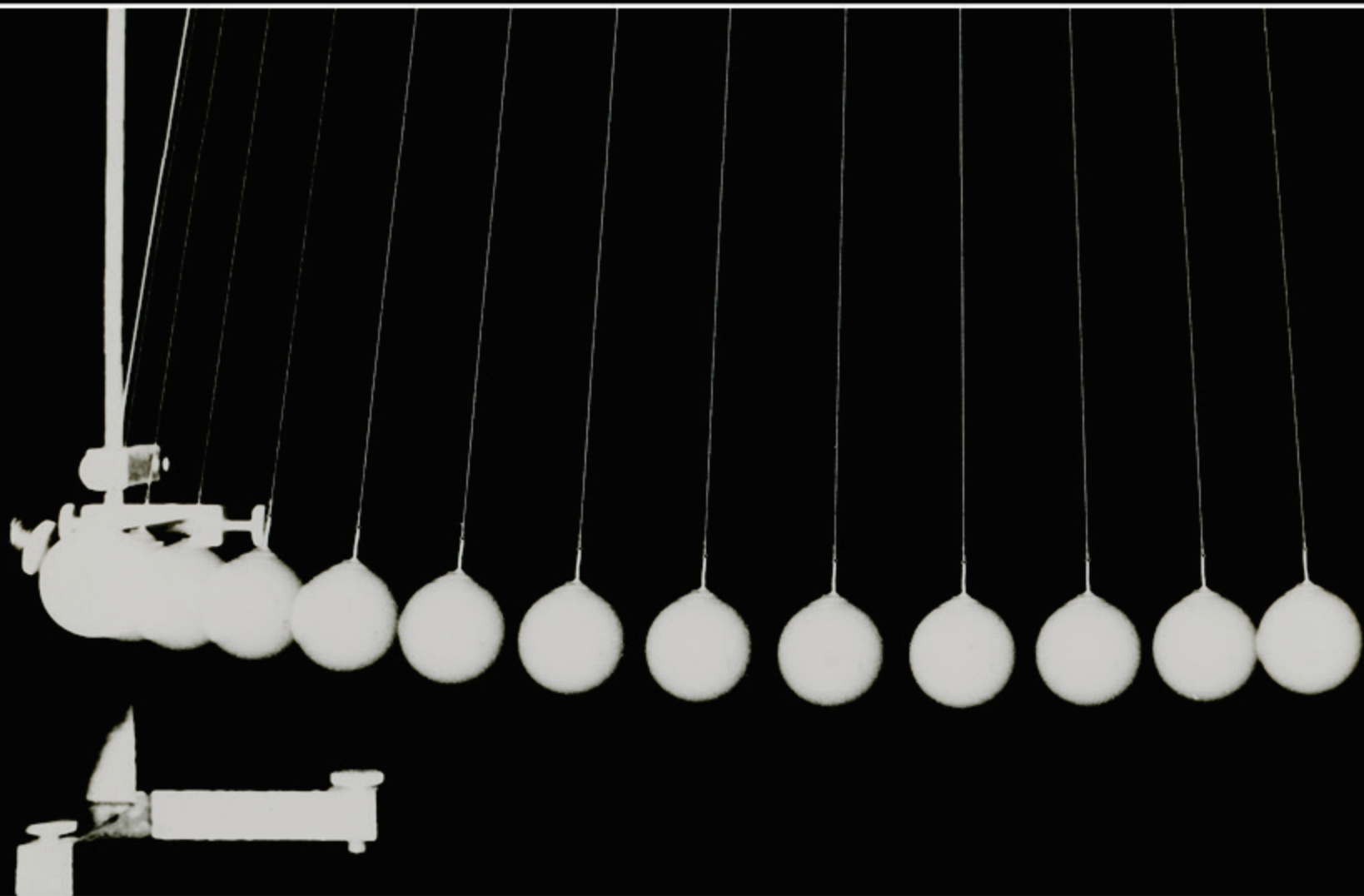
Fonálinga

Ferde hajítás



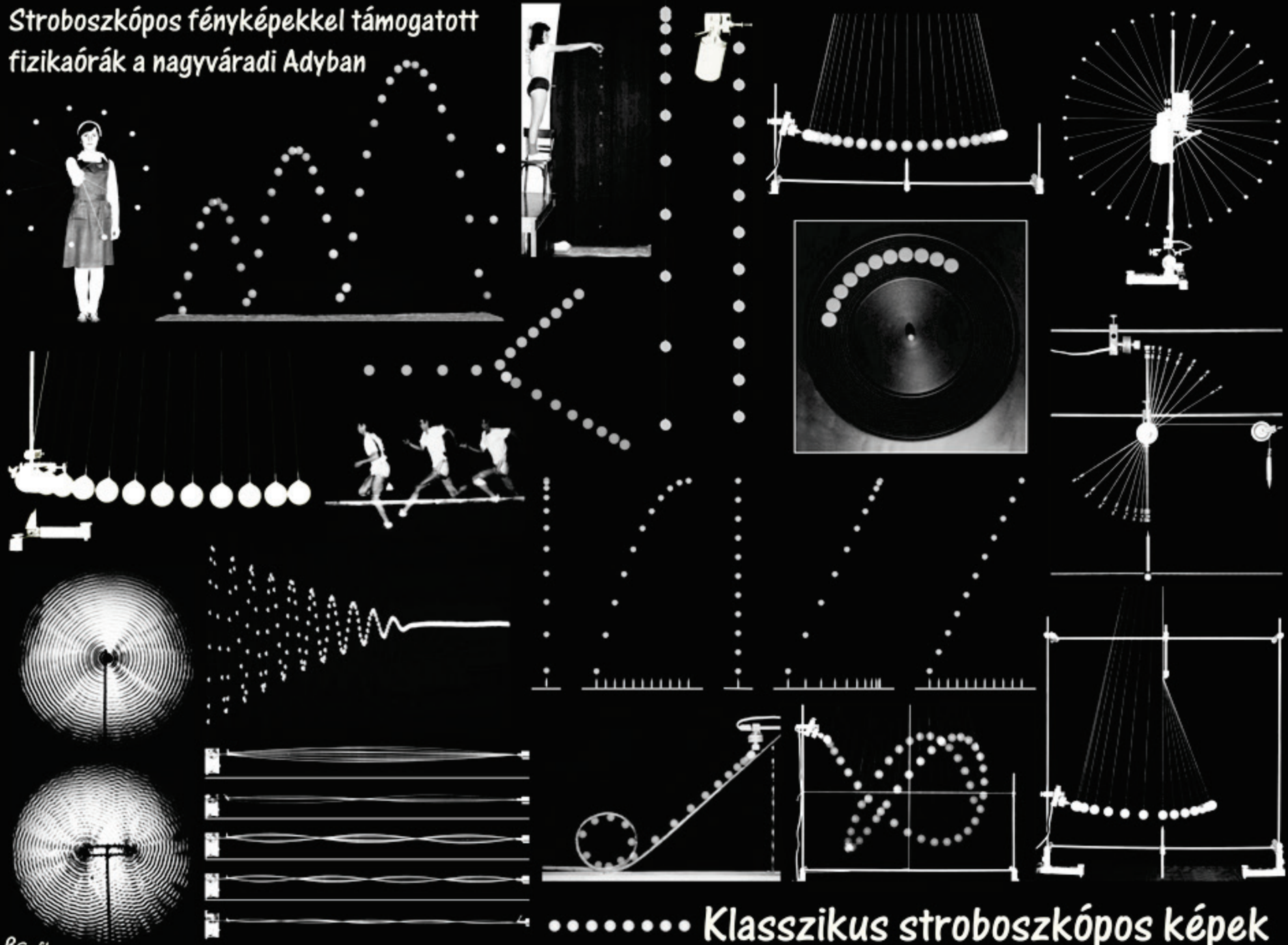
A pingponglabda pattogása. A jobbról érkező labda az asztalról energiavesztésekkel pattan vissza. Nem sikerült elkapni az első ütközést (33 villantás, $\Delta t = 50$ ms)

Fonálinga (törédék)



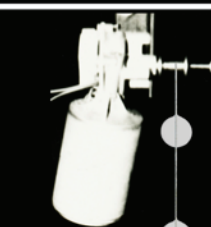
Első stroboszkópos ingaképem. A képkivágást a fényképezőgép 1 s-os zárideje segítségével oldottam meg (14 villantás, $\Delta t = 80 \text{ ms}$)

Stroboszkópos fényképekkel támogatott
fizikaórák a nagyváradi Adyban

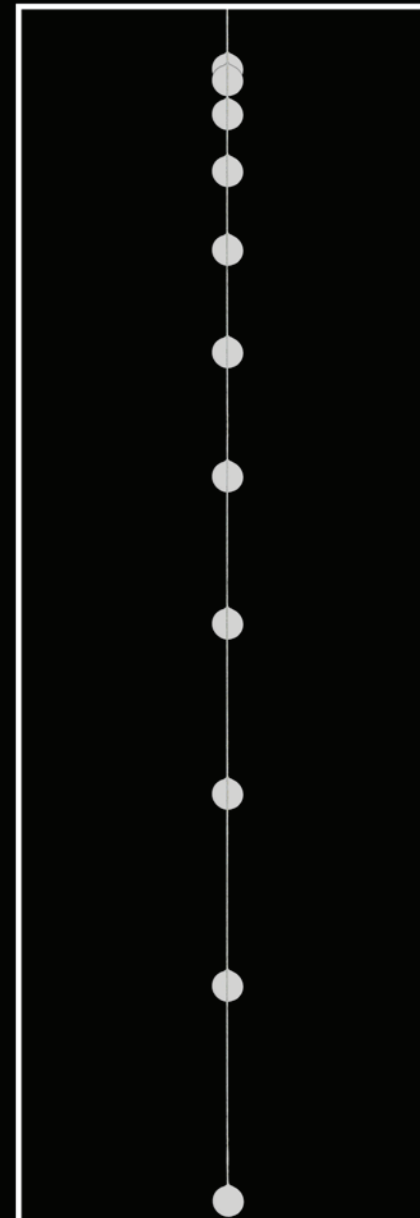


..... Klasszikus stroboszkópos képek

Egyenletes és gyorsuló mozgás (1:4)

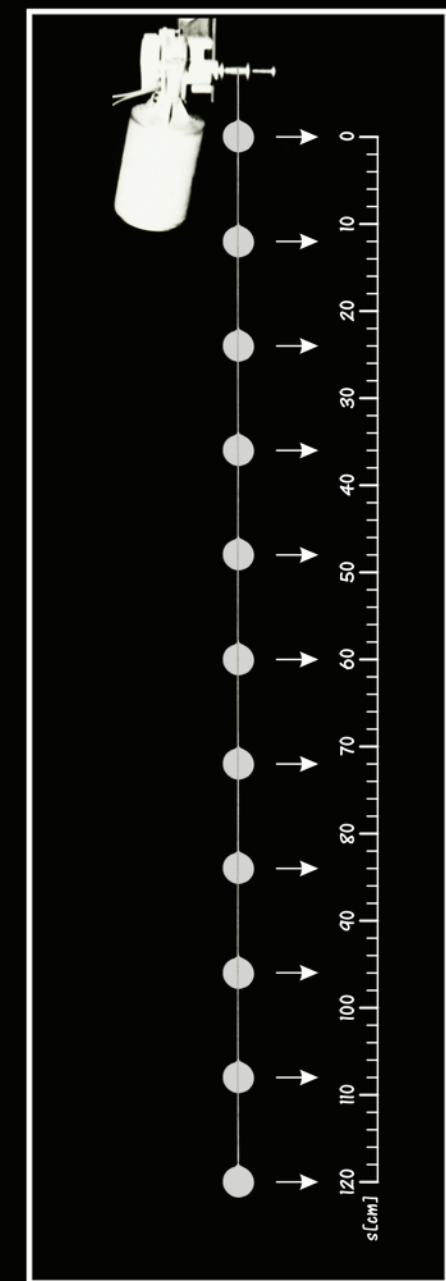


$s = 1,20 \text{ m}$; $v = 1,20 \text{ m/s}$; ($\Delta t = 100 \text{ ms}$)

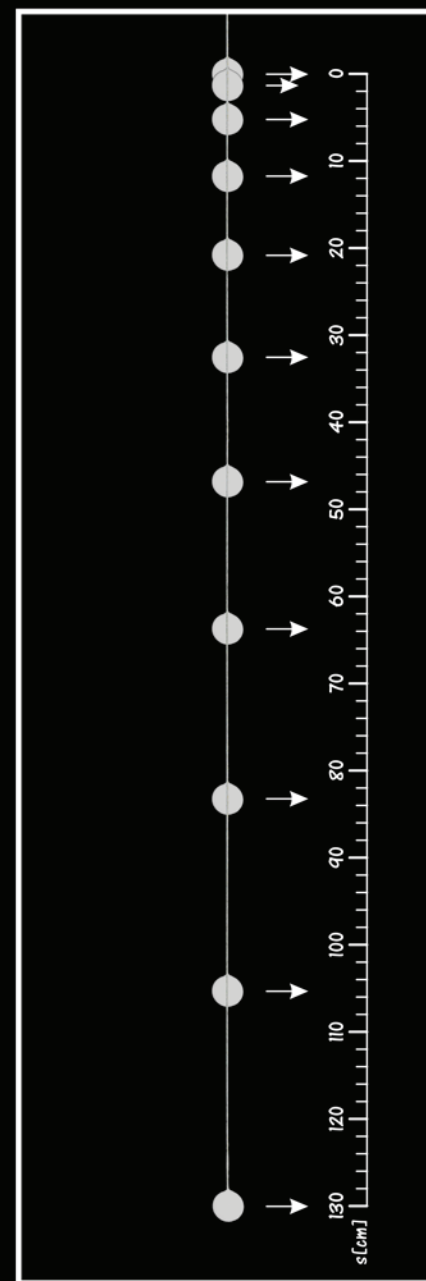


$s = 1,30 \text{ m}$; $a = 2,60 \text{ m/s}^2$; ($\Delta t = 100 \text{ ms}$)

Egyenletes és gyorsuló mozgás (1:4)

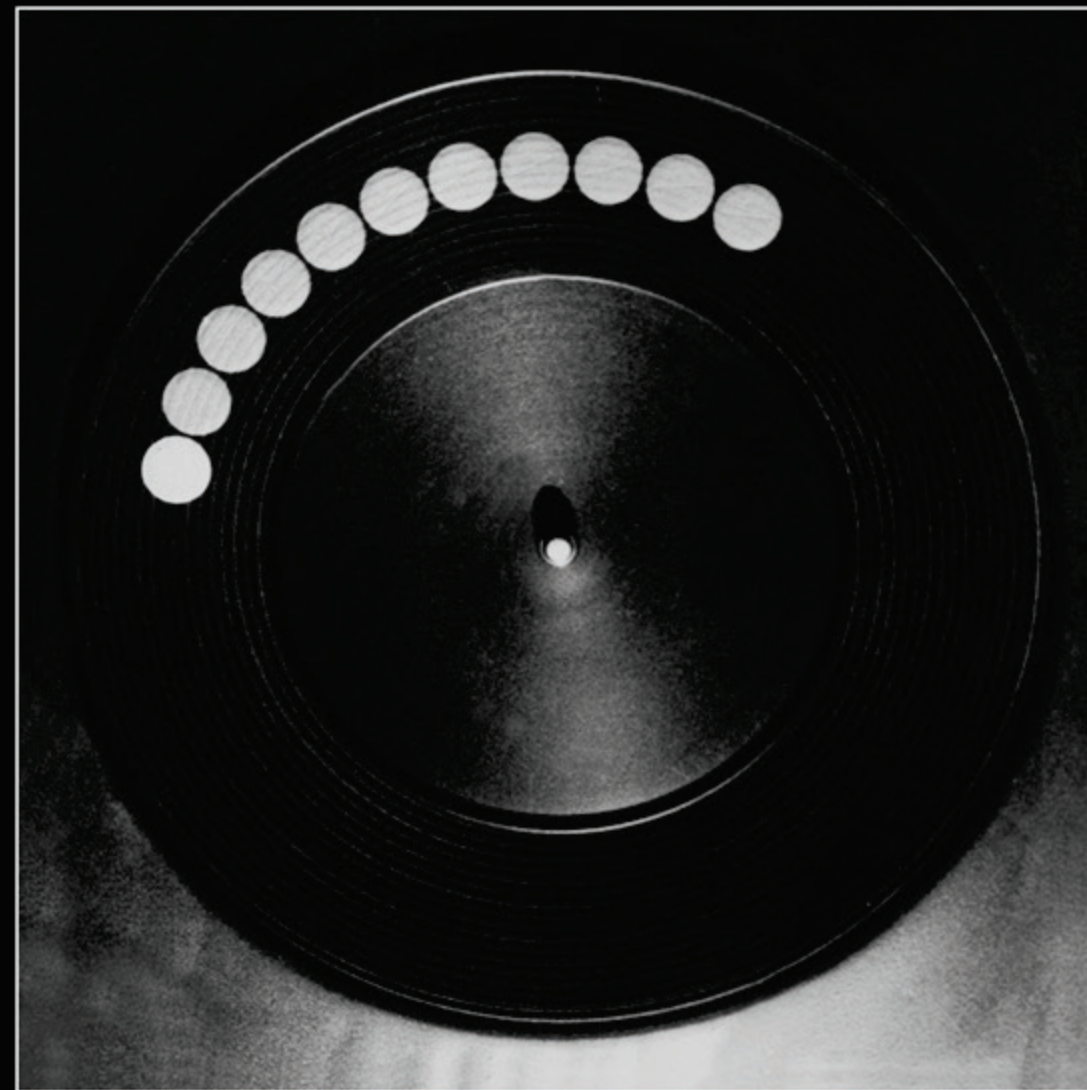


$$s = 1,20 \text{ m}; v = 1,20 \text{ m/s}; (\Delta t = 100 \text{ ms})$$



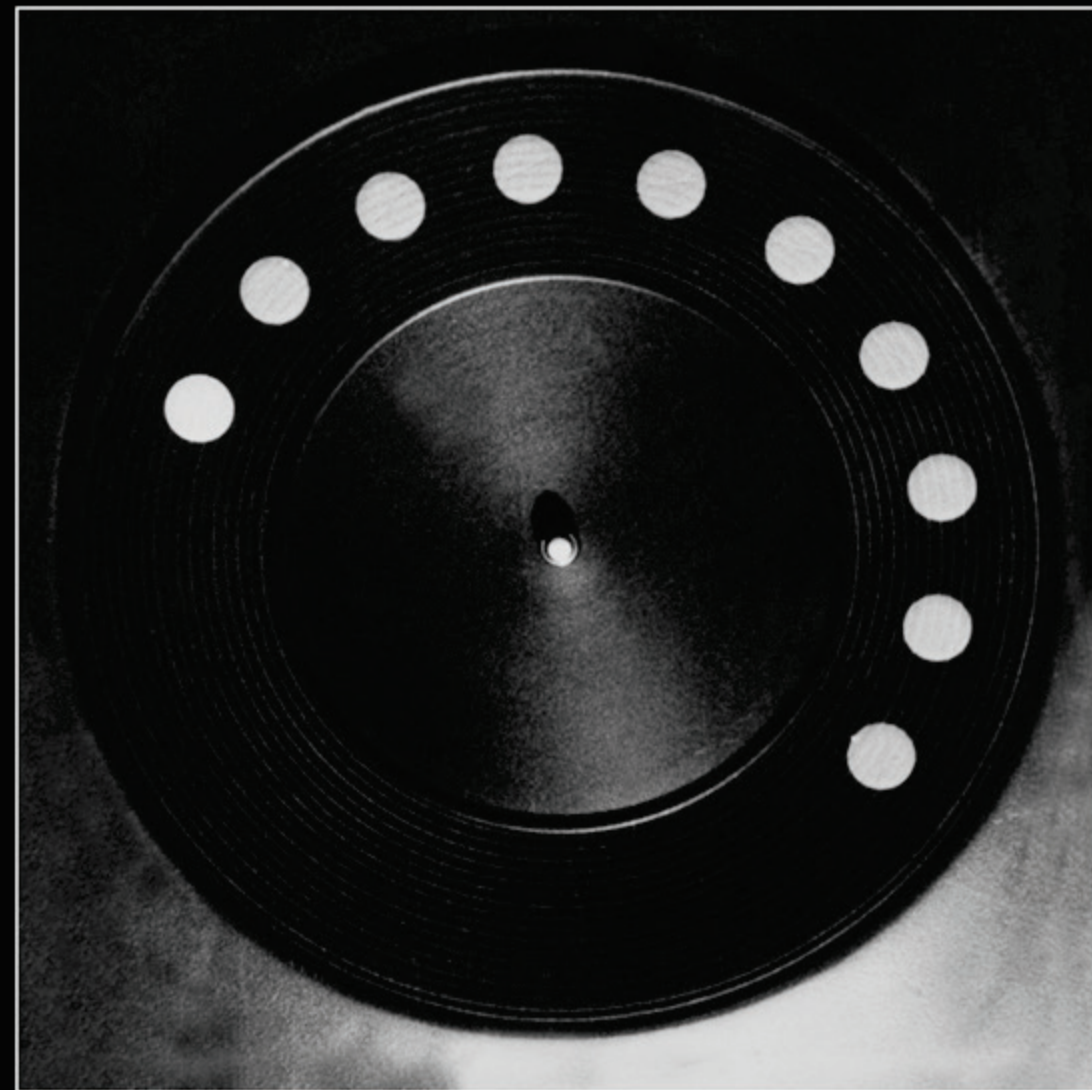
$$s = 1,30 \text{ m}; a = 2,60 \text{ m/s}^2; (\Delta t = 100 \text{ ms})$$

Egyenletes körmozgás



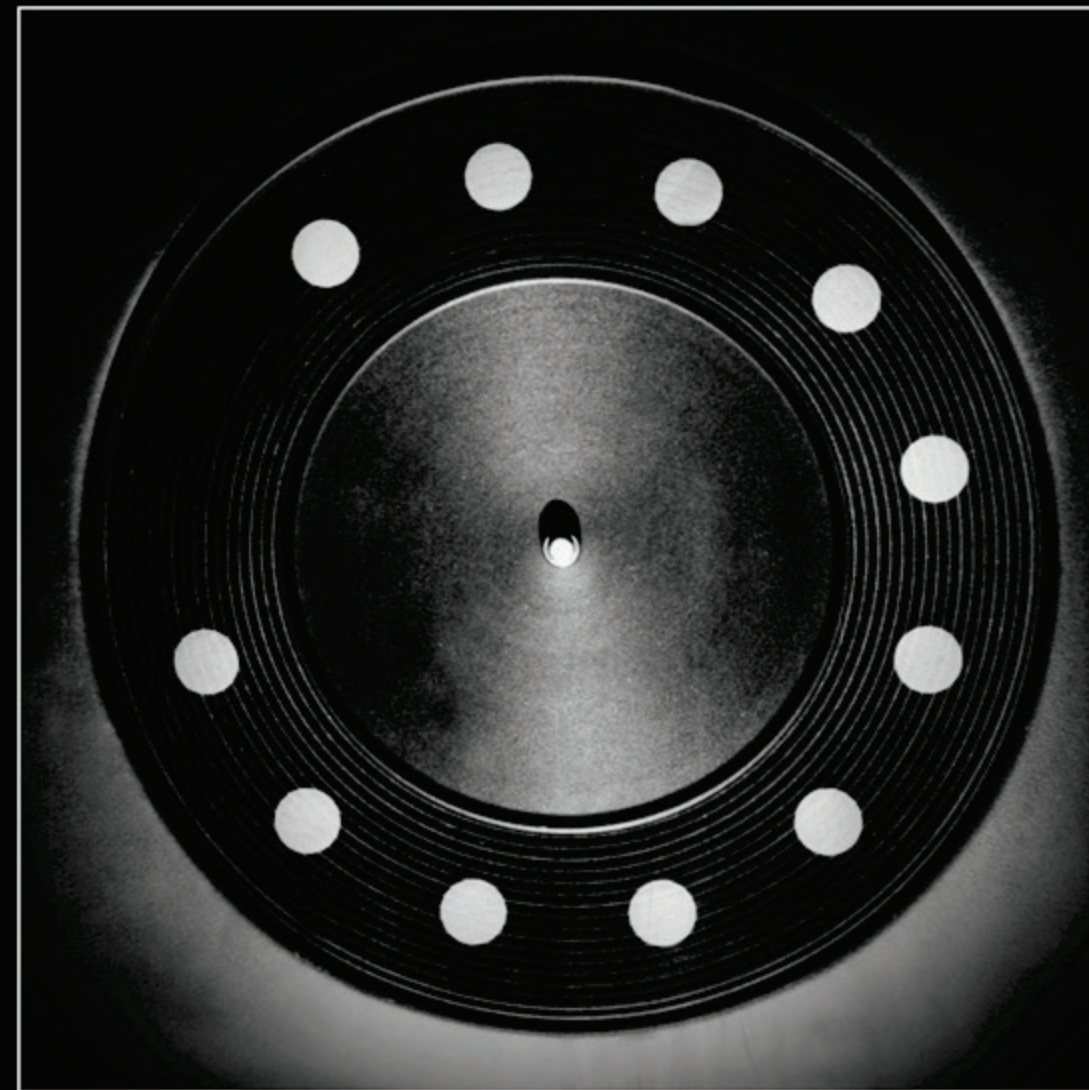
Egy aspirin a lemezjátszó korongján (RPM = 16; $\Delta t = 110$ ms)

Egyenletes körmozgás



Egy aspirin a lemezjátszó korongján ($\text{RPM} = 33$; $\Delta t = 110 \text{ ms}$)

Egyenletes körmozgás



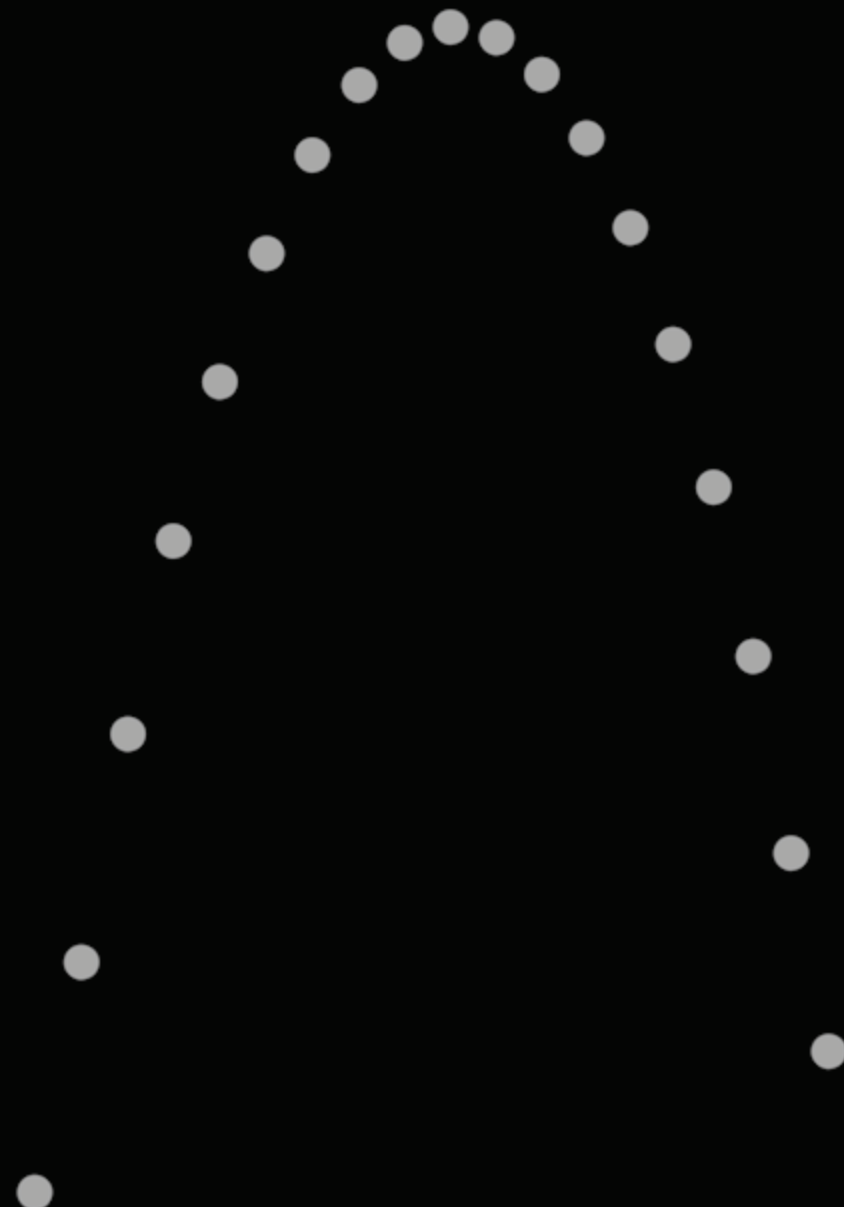
Egy aspirin a lemezjátszó korongján ($\text{RPM} = 45$; $\Delta t = 110 \text{ ms}$)

Pattogó pingponglabda



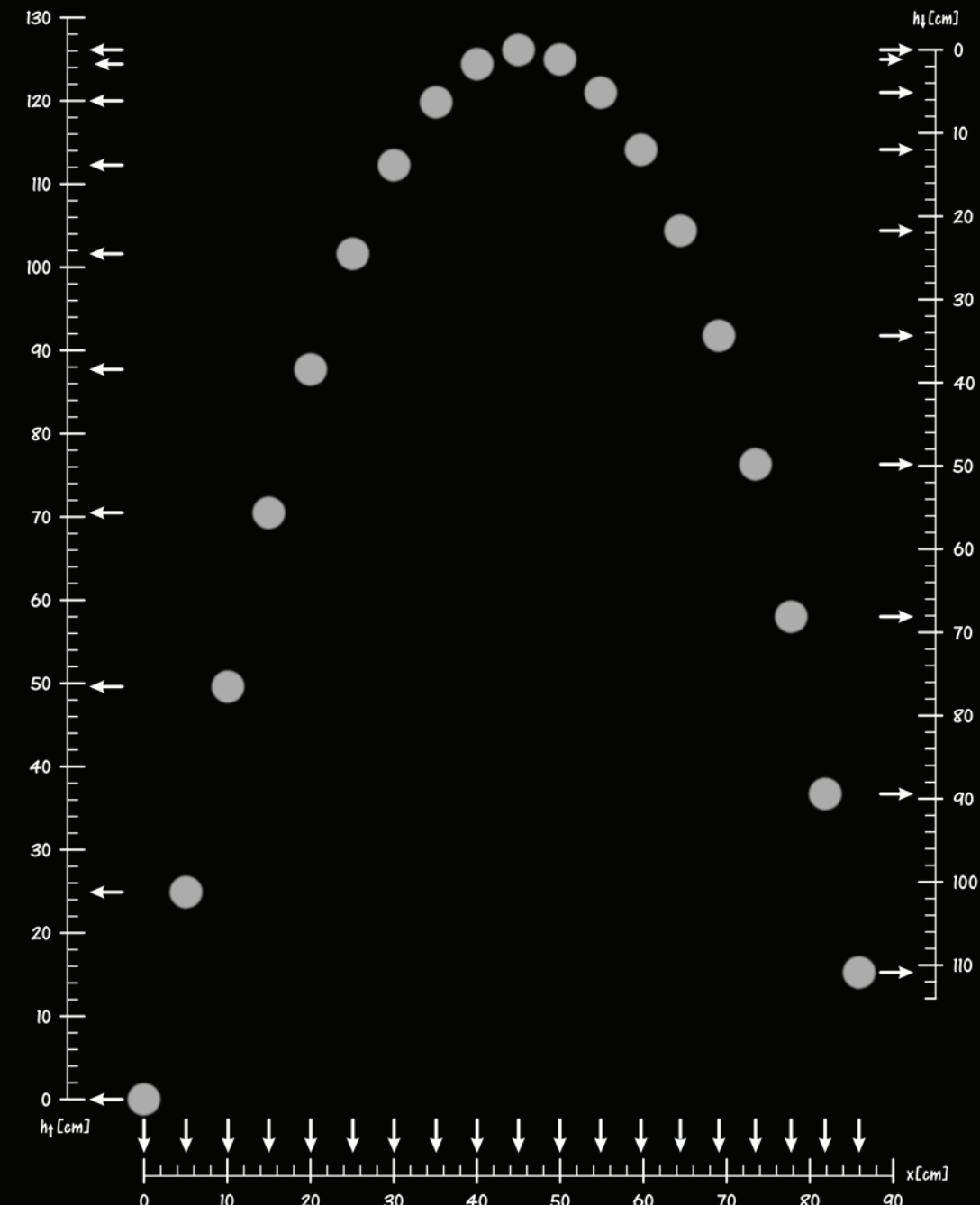
A jobbról érkező labda az asztalról energiavesztésekkel pattan vissza. Nem sikerült elkapni az első ütközést (47 villantás, $\Delta t = 50$ ms)

Valós ferde hajítás



Az asztalról visszapattanó pingponglabda energiaveszteséges mozgása (19 villantás, $\Delta t = 60$ ms)

Valós ferde hajítás



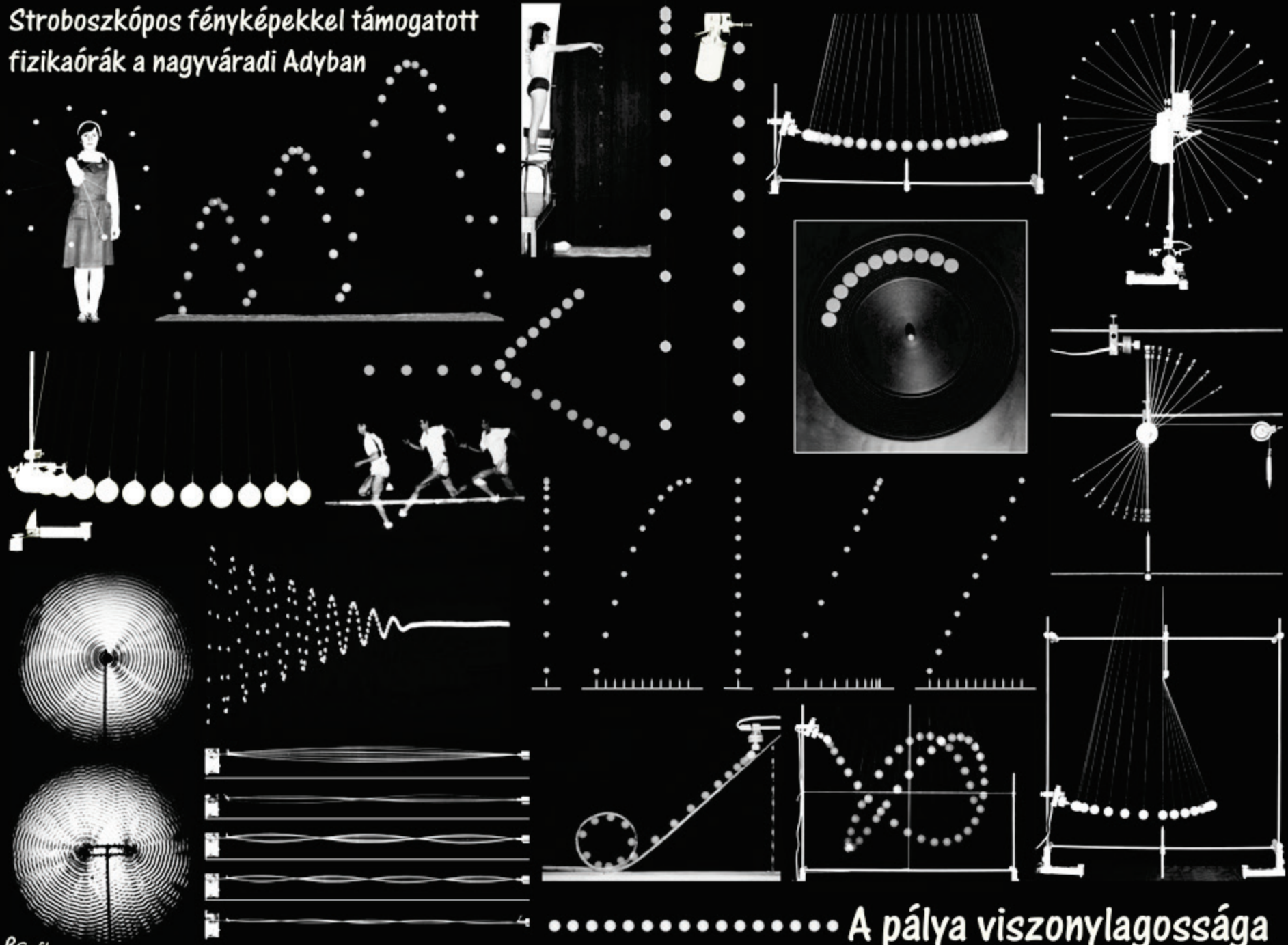
Az asztalról visszapattanó pingpong labda energiaveszteséges mozgása (19 villantás, $\Delta t = 60$ ms)

Szabadesés



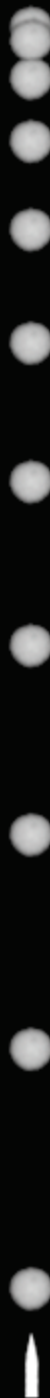
A tejcsepp szabadesése (11 villantás, $\Delta t = 20$ ms)

Stroboszkópos fényképekkel támogatott
fizikaórák a nagyváradi Adyban



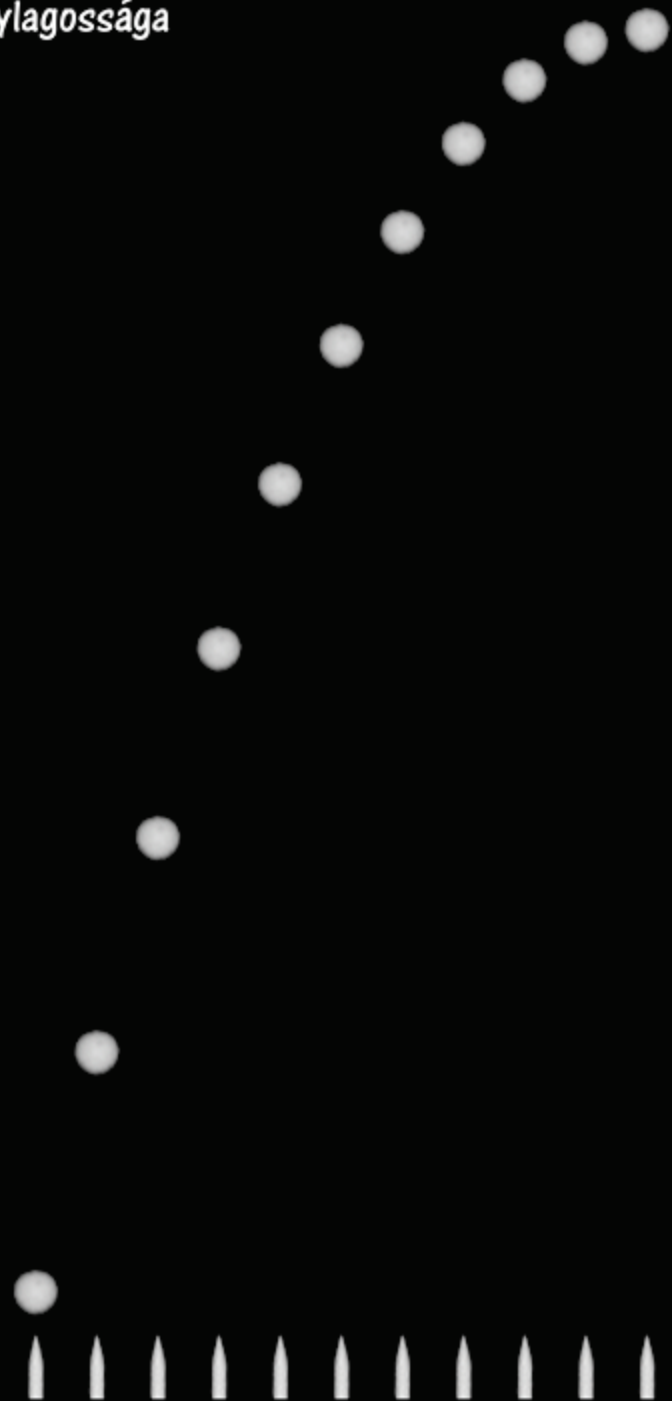
..... A pálya viszonylagossága

A pálya viszonylagossága



Ilyennek látja a szabadon eső test pályáját az álló megfigyelő (állandó időközű felvétel)

A pálya viszonylagossága



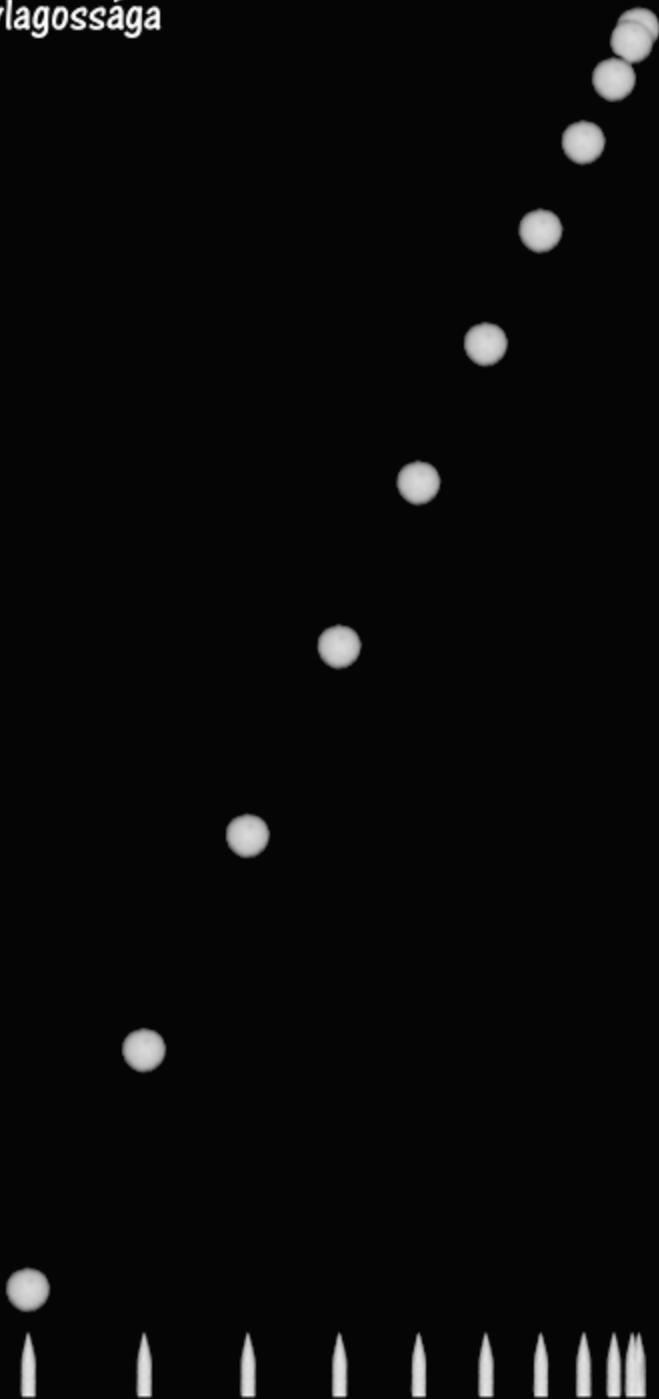
Ilyennek látja a szabadon eső test pályáját a jobbra egyenletesen elmozduló megfigyelő (állandó időközű felvétel)

A pálya viszonylagossága



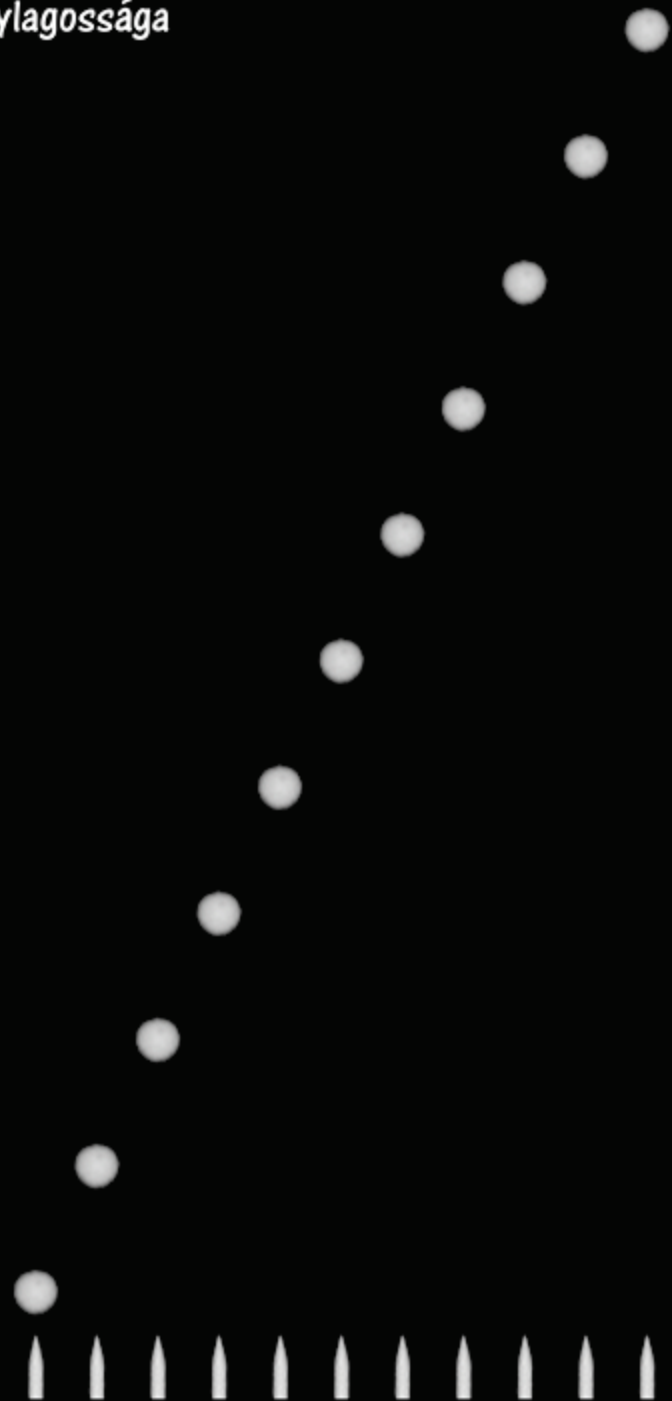
Ilyennek látja a szabadon eső test pályáját az álló megfigyelő (állandó térközű felvétel)

A pálya viszonylagossága



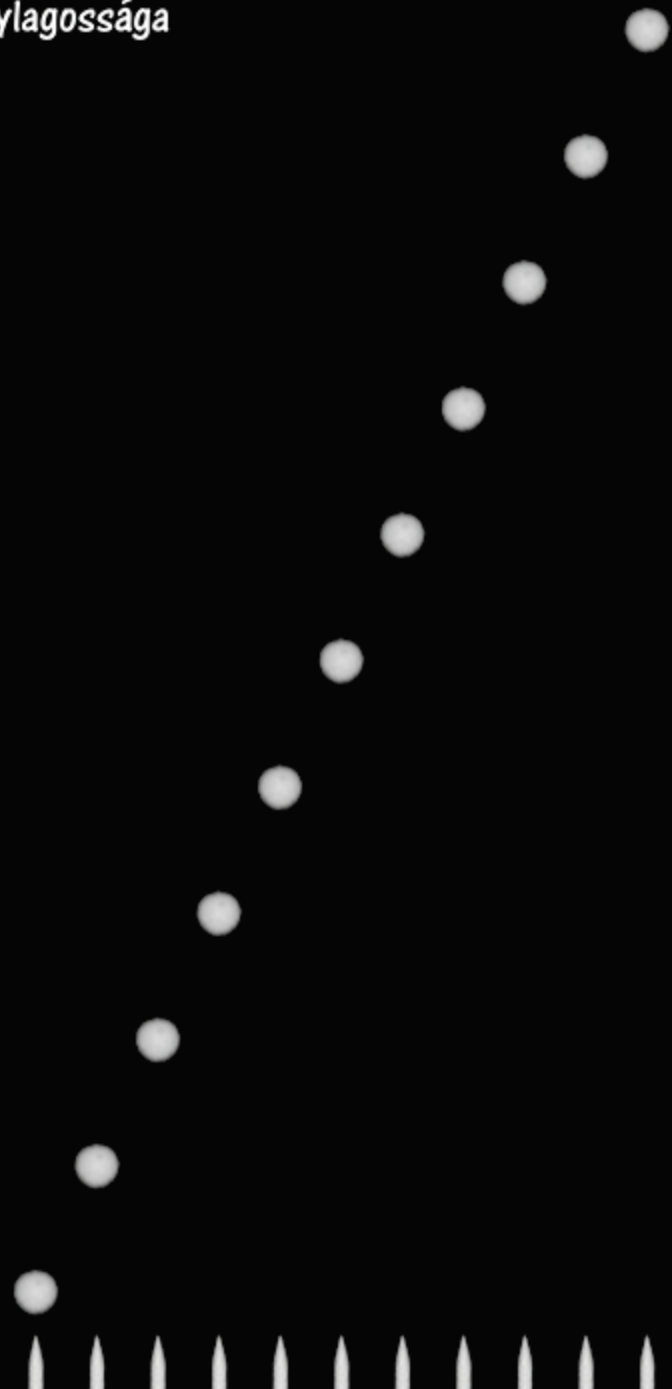
Ilyennek látja a szabadon eső test pályáját a jobbra, gyorsulva elmozduló megfigyelő (állandó időközű felvétel)

A pálya viszonylagossága



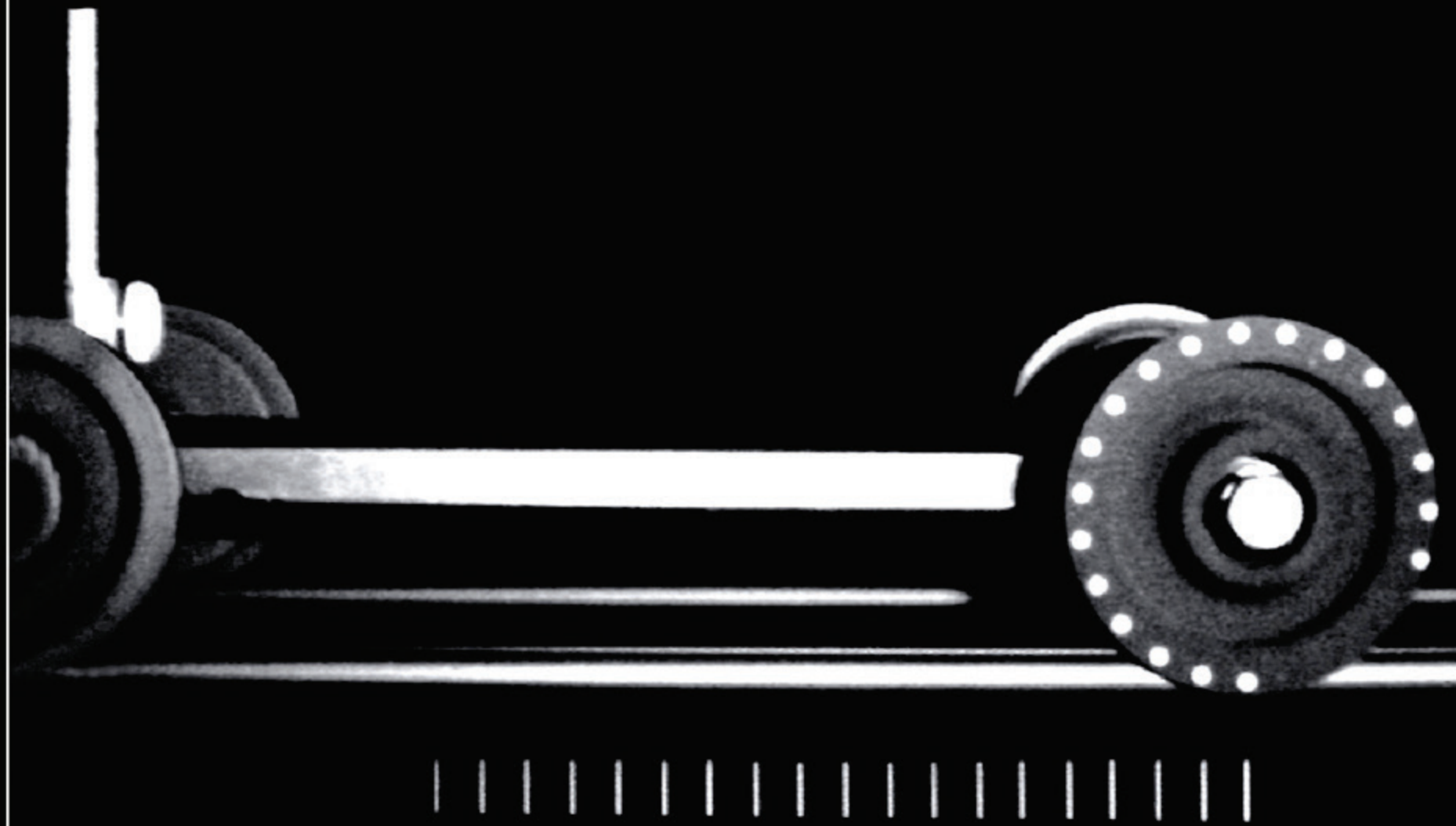
Ilyennek látja a szabadon eső test pályáját a jobbra, gyorsulva elmozduló megfigyelő (állandó térközű felvétel)

A pálya viszonylagossága



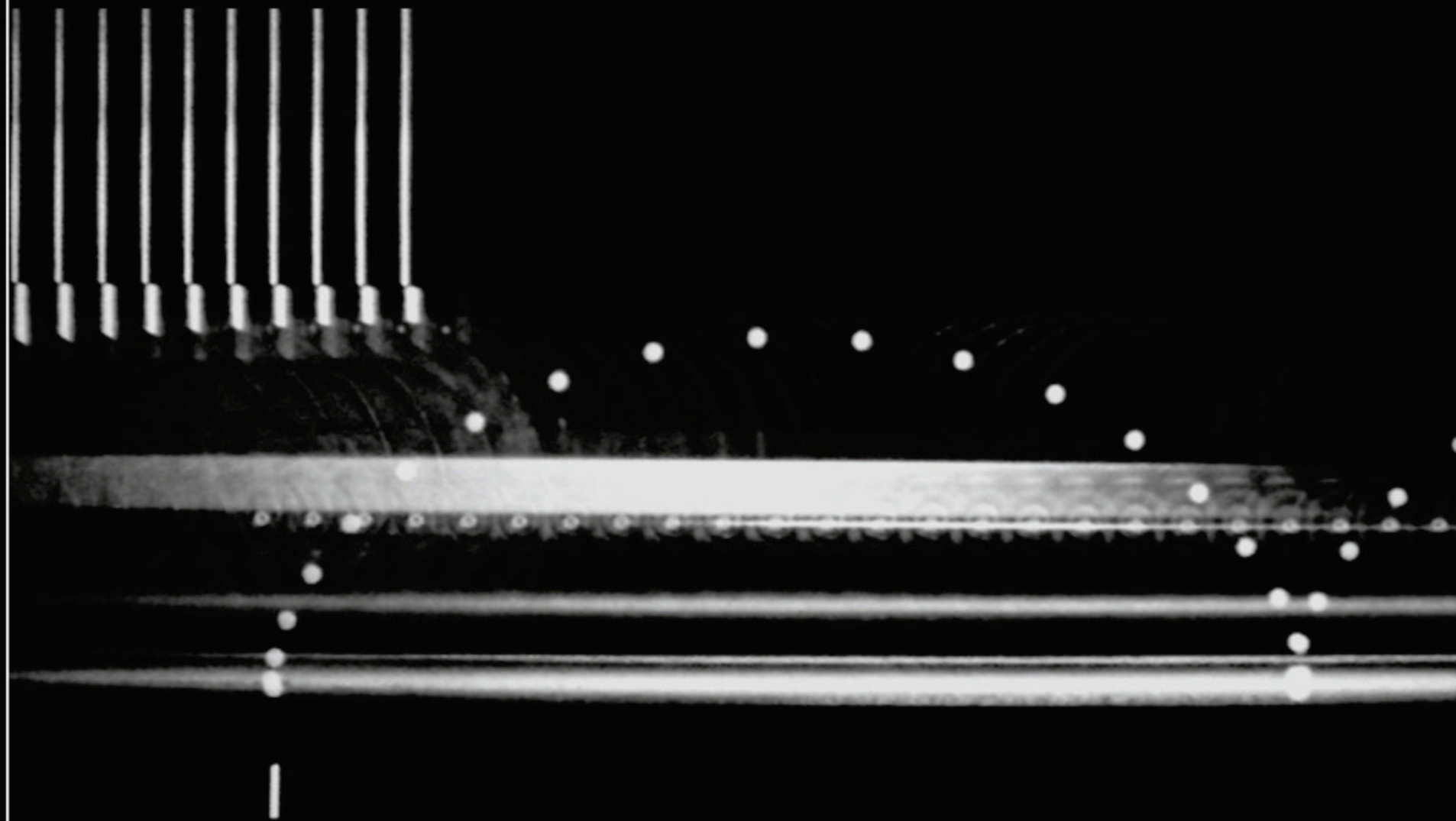
Ilyennek látná a lefele, egyenletesen mozgó test pályáját a jobbra, egyenletesen elmozduló megfigyelő (állandó időközű felvétel)

A pálya viszonylagossága



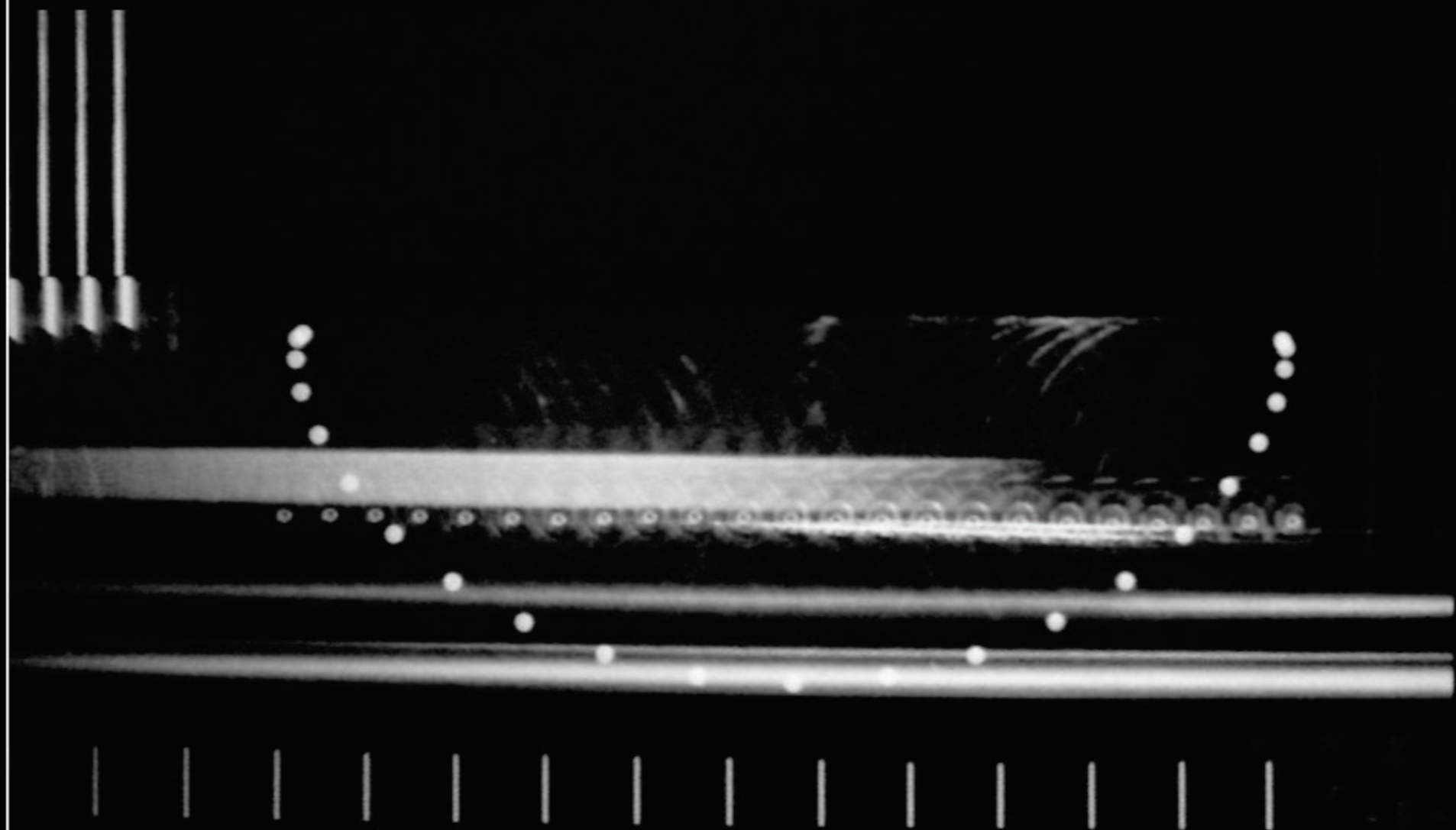
A v sebességű kiskocsi kereke peremén levő fehér petty pályáját ilyennek látja a kocsival együtt, jobbra elmozduló megfigyelő

A pálya viszonylagossága



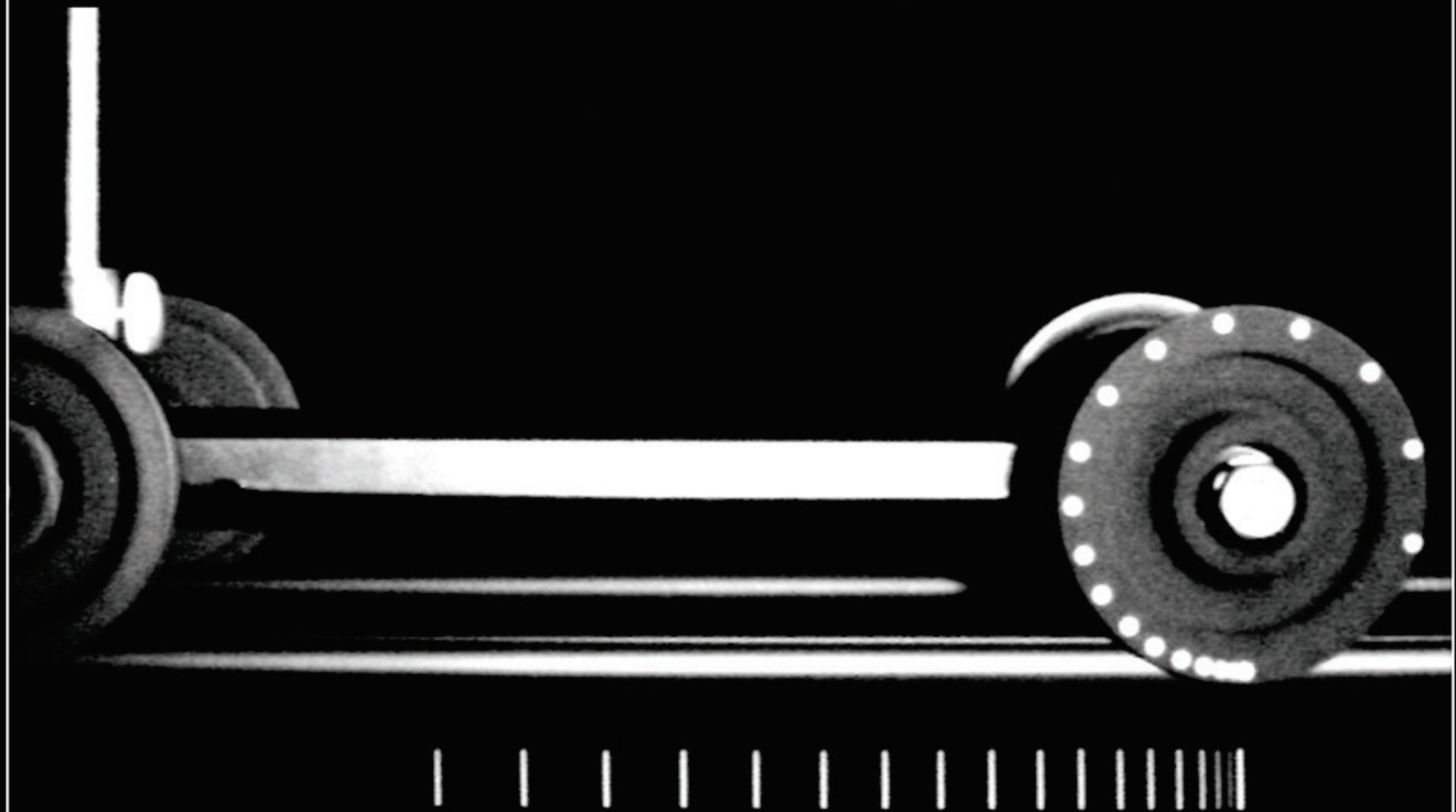
A v sebességű kiskocsi kereke peremén levő fehér petty pályáját ilyennek (ciklois) látja az álló megfigyelő

A pálya viszonylagossága



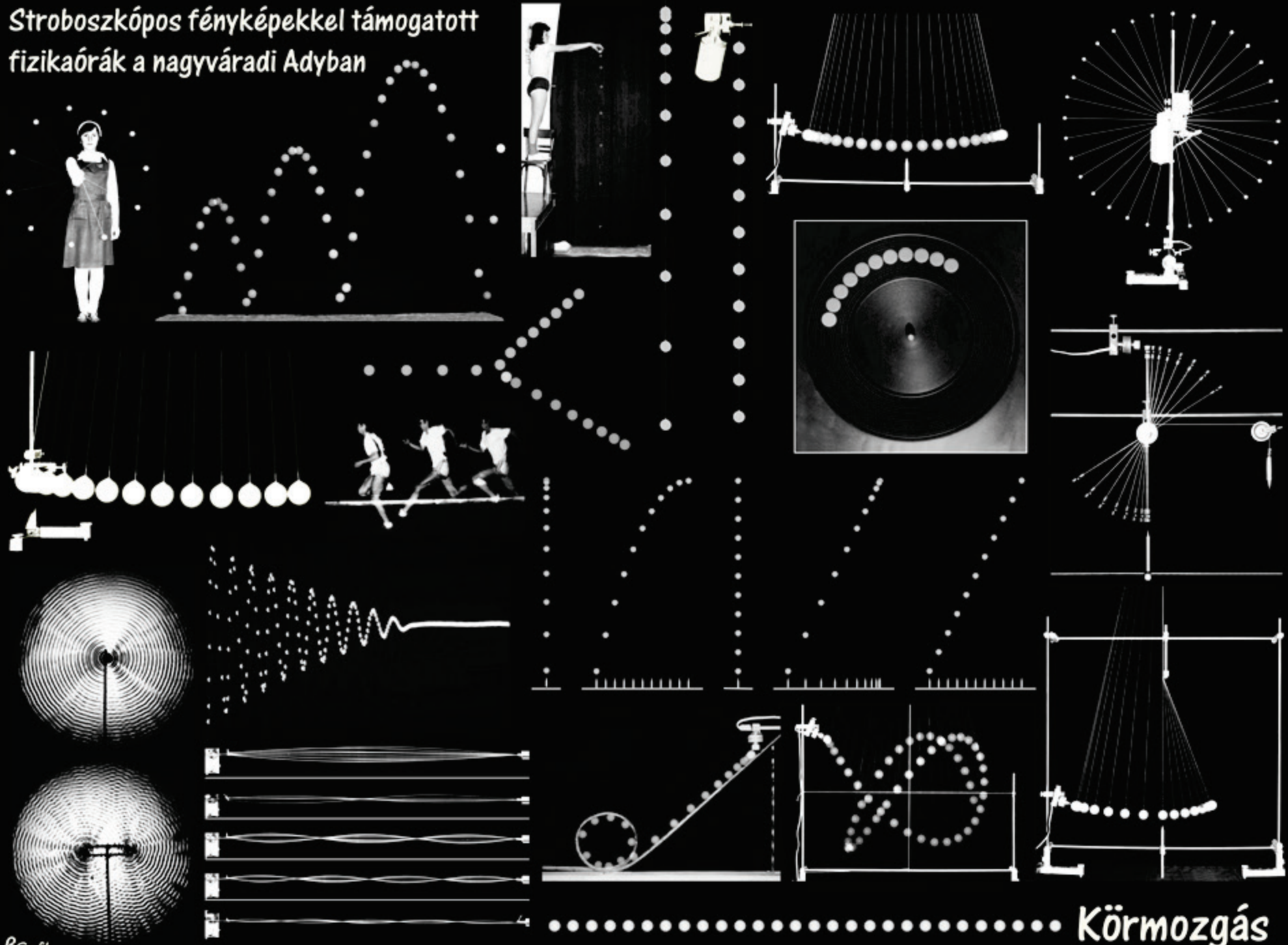
A v sebességgel mozgó kiskocsi kereke peremén levő fehér petty pályáját ilyennek látja a jobbra, 2v-vel elmozduló megfigyelő

A pálya viszonylagossága



A gyorsuló kiskocsi kereke peremén levő fehér petty pályáját ilyennek látja a kocsival együtt, jobbra elmozduló megfigyelő

Stroboszkópos fényképekkel támogatott
fizikaórák a nagyváradi Adyban



Körmozgás

Egyenletes körmozgás

Bsoft
electronics



A lemezjátszó korongjára egy aszpirint helyeztem. A stroboszkópos fényképezést egy fénysorompó indítja ($n = 33 \text{ RPM}$; 11 villantás; $\Delta t = 100 \text{ ms}$)

Egyenletes körmozgás

Bsoft
electronics



A lemezjátszó korongjára egy aszpirint helyeztem. A stroboszkópos fényképezést egy fénysorompó indítja ($n = 45 \text{ RPM}$; 11 villantás; $\Delta t = 100 \text{ ms}$)

Gyorsuló körmozgás

Bsoft
electronics



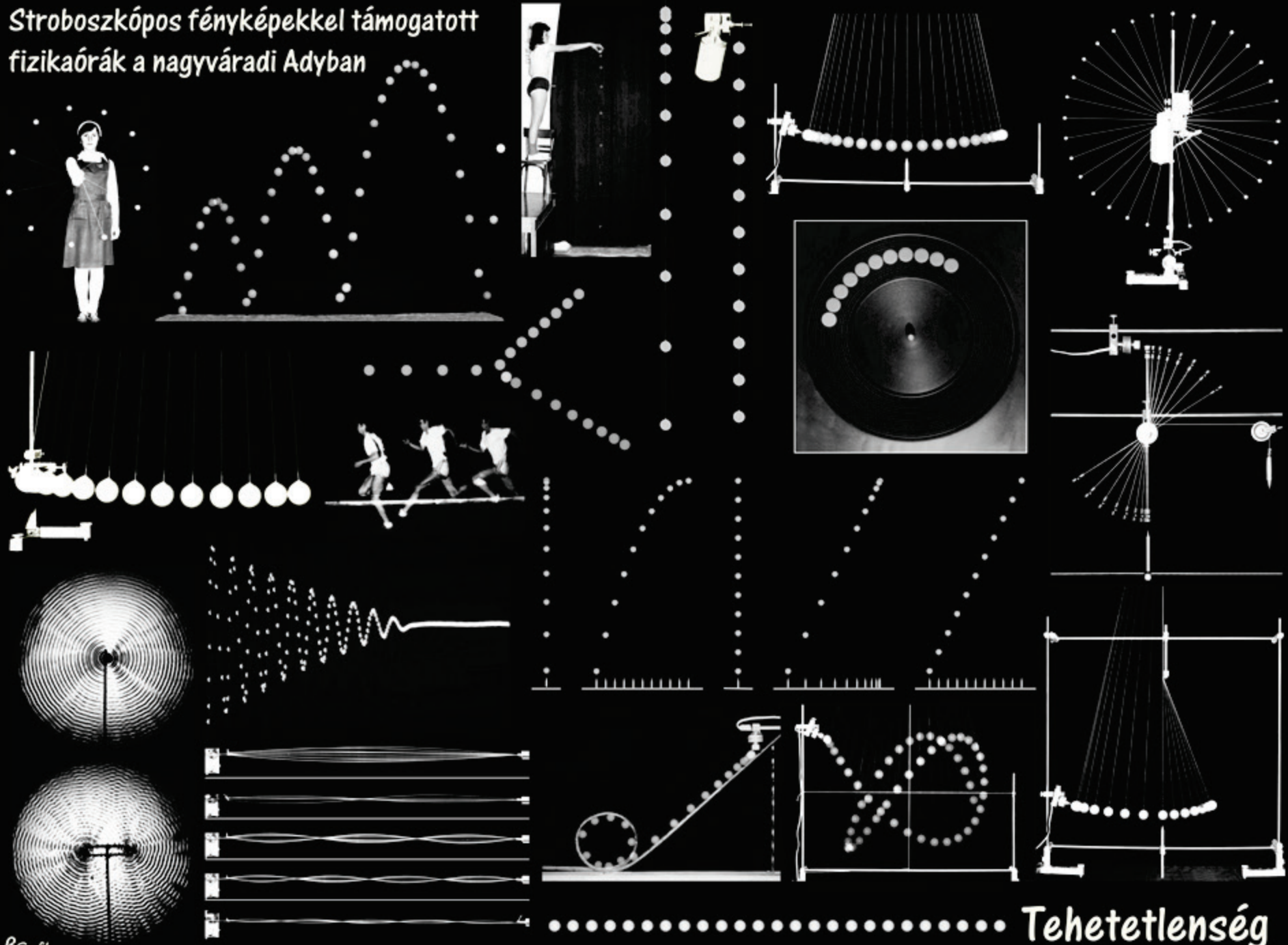
A lemezjátszó korongjára egy aszpirint helyeztem, majd bekapcsoltam a lemezjátszót. A stroboszkópos fényképezést a fénysorompó indítja ($n_{Max} = 45$ RPM; 10 villantás; $\Delta t = 200$ ms)

Kerületi sebesség - szögsebesség



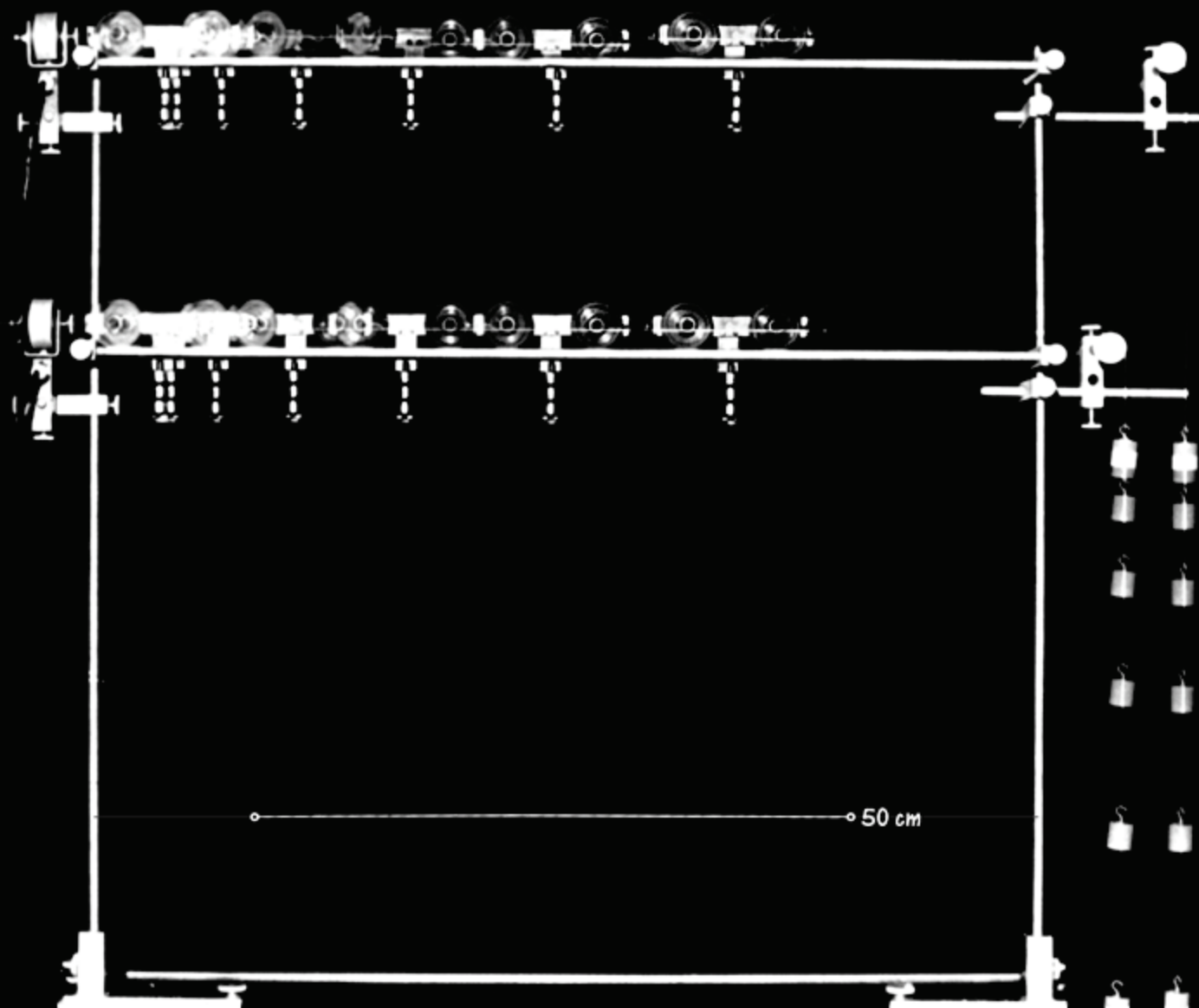
A lemezjátszó korongjára két aszpirint helyeztem. A stroboszkópos fényképezést egy fénysorompó indítja ($n = 45 \text{ RPM}$; 11 villantás; $\Delta t = 100 \text{ ms}$)

Stroboszkópos fényképekkel támogatott
fizikaórák a nagyváradi Adyban



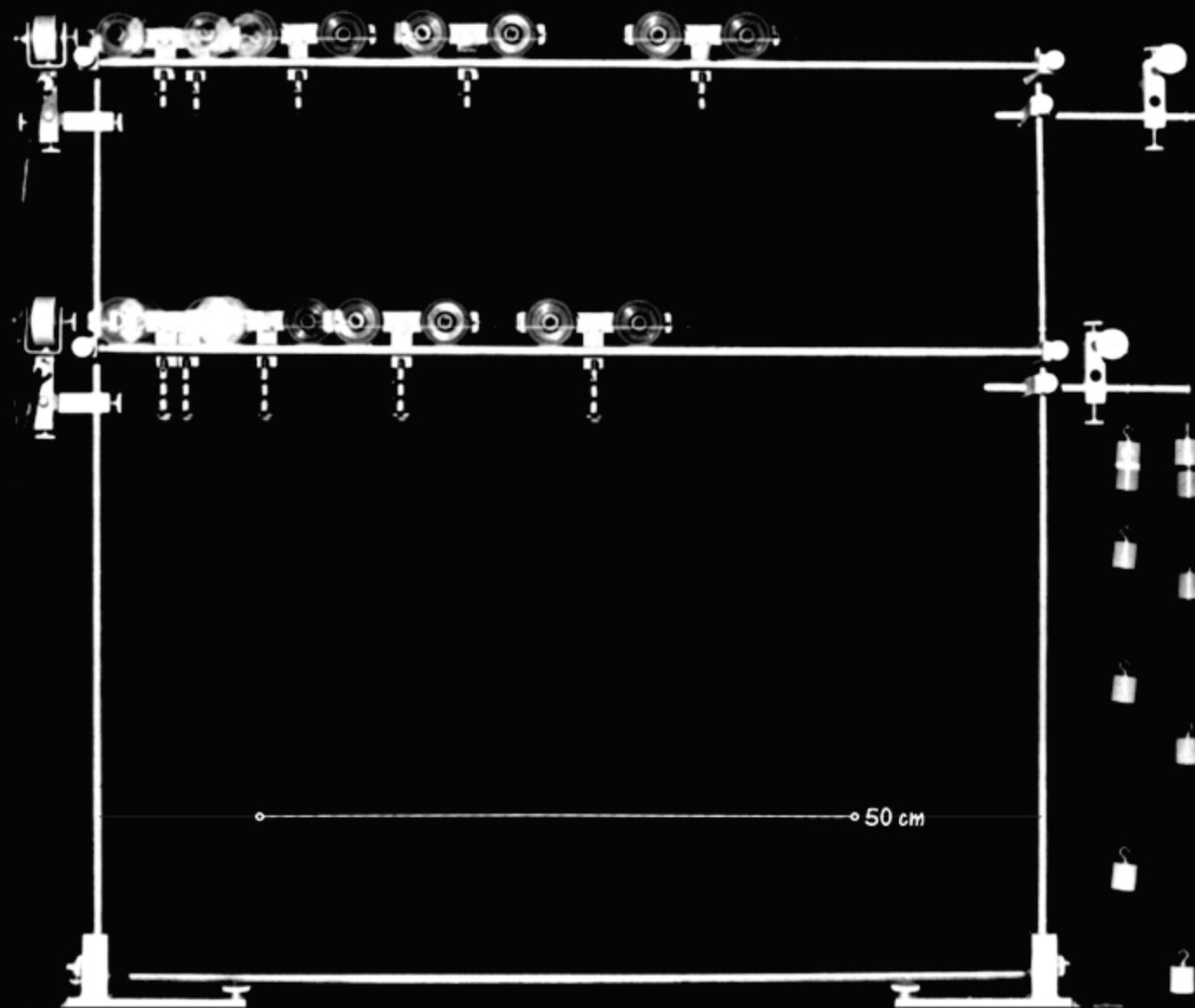
Tehetetlenség

A test tehetetlensége



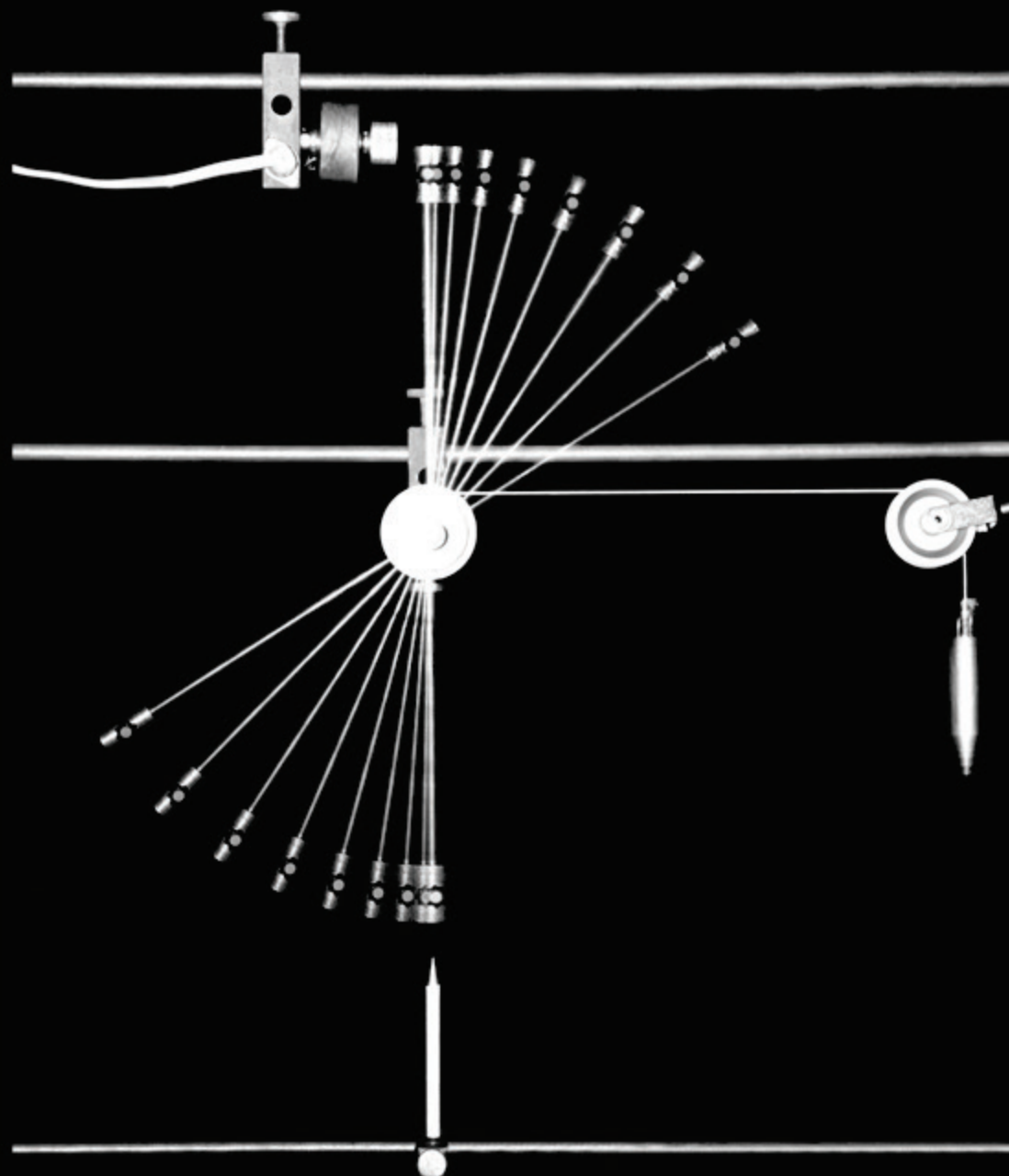
Ugyanakkora nagyságú erők hatására az azonos tömegű testek azonos gyorsulással mozognak

A test tehetetlensége



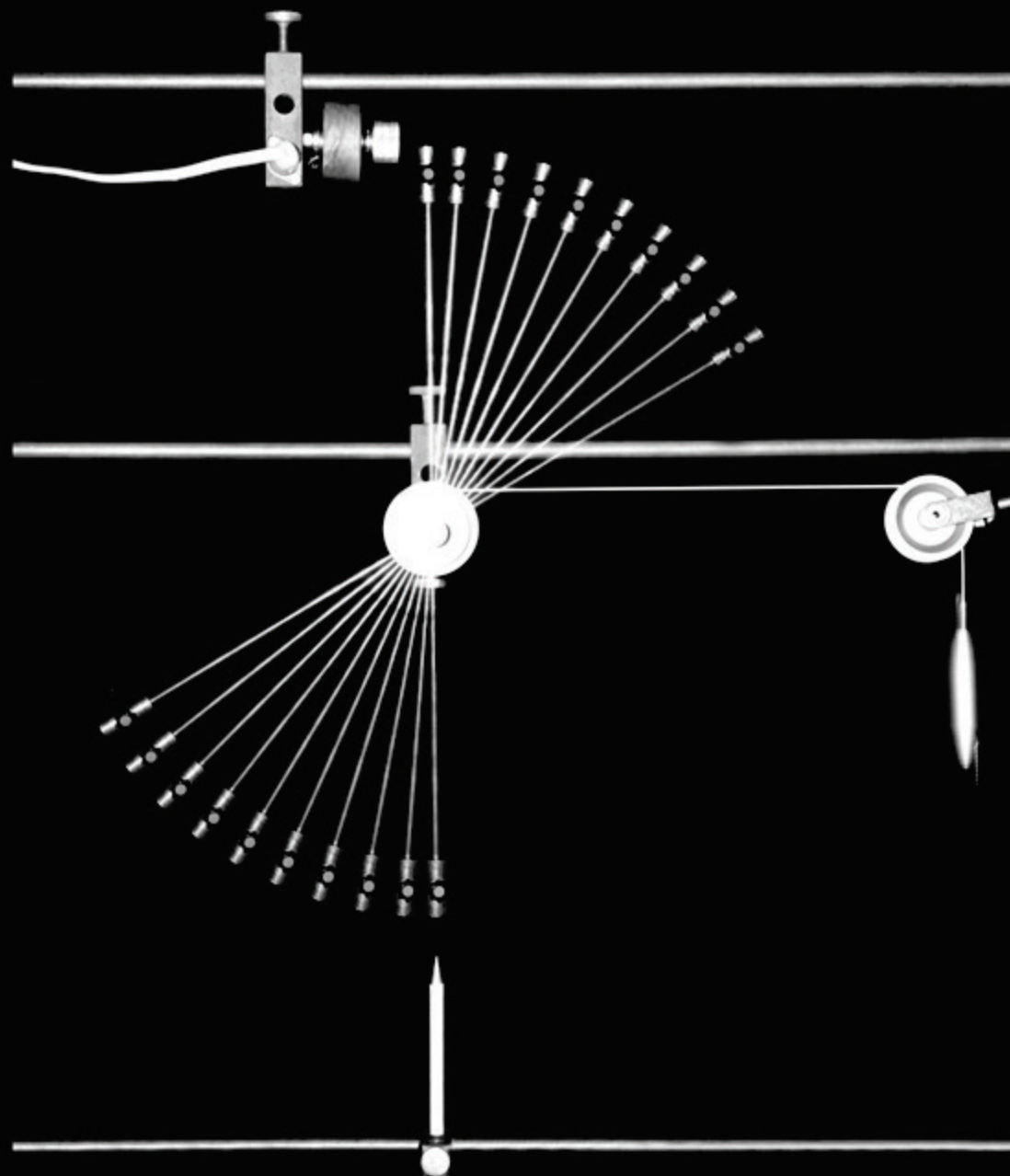
Ugyanakkora erők hatására a különböző tömegű testek más-más gyorsulással mozognak

A merevtest tehetetlensége



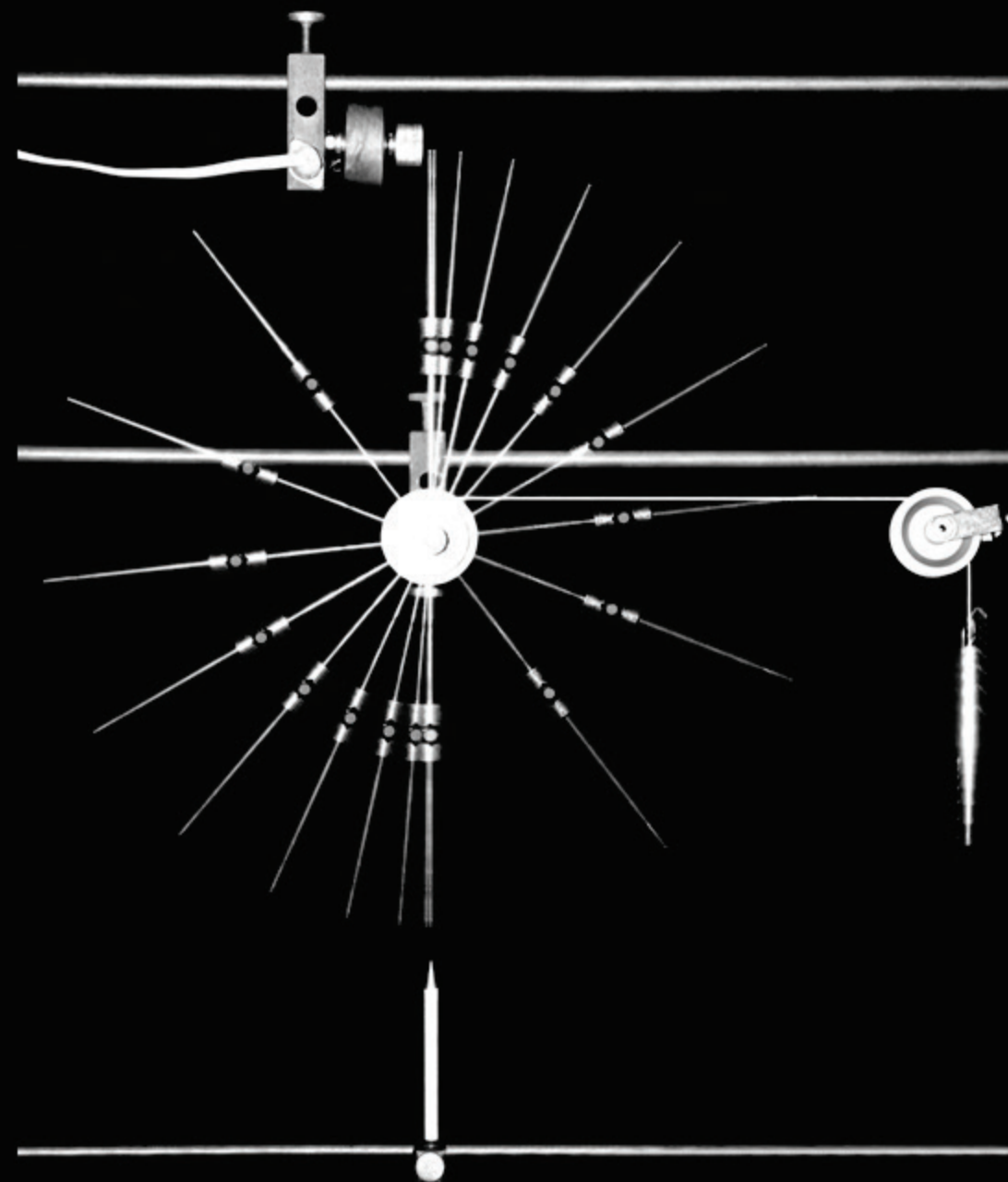
A merevtest tehetetlensége nagy, a gyorsulás kicsi (állandó időközű felvétel)

A merevtest tehetetlensége



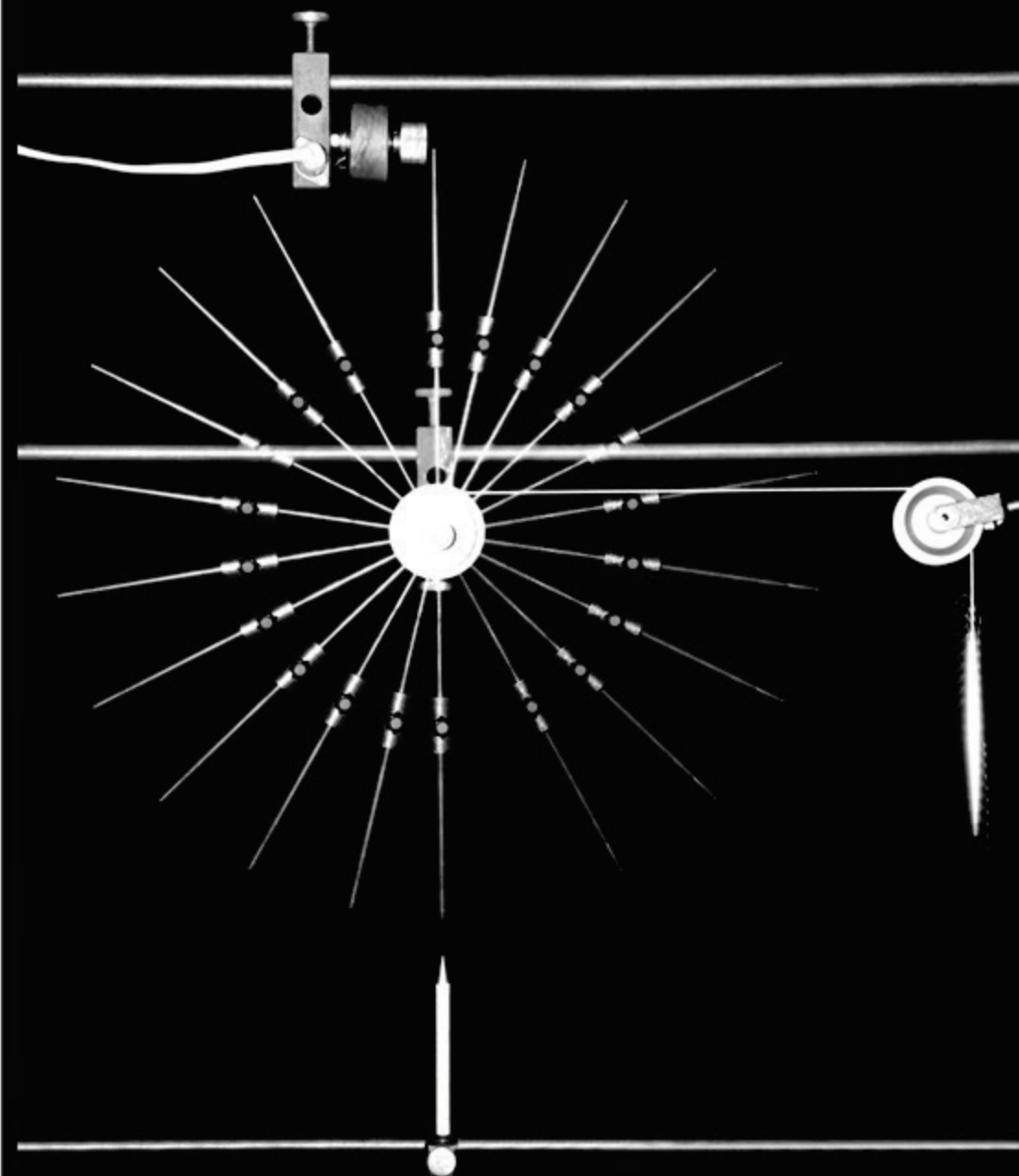
A merevtest tehetetlensége nagy, a gyorsulás kicsi (állandó térközű felvétel)

A merevtest tehetetlensége



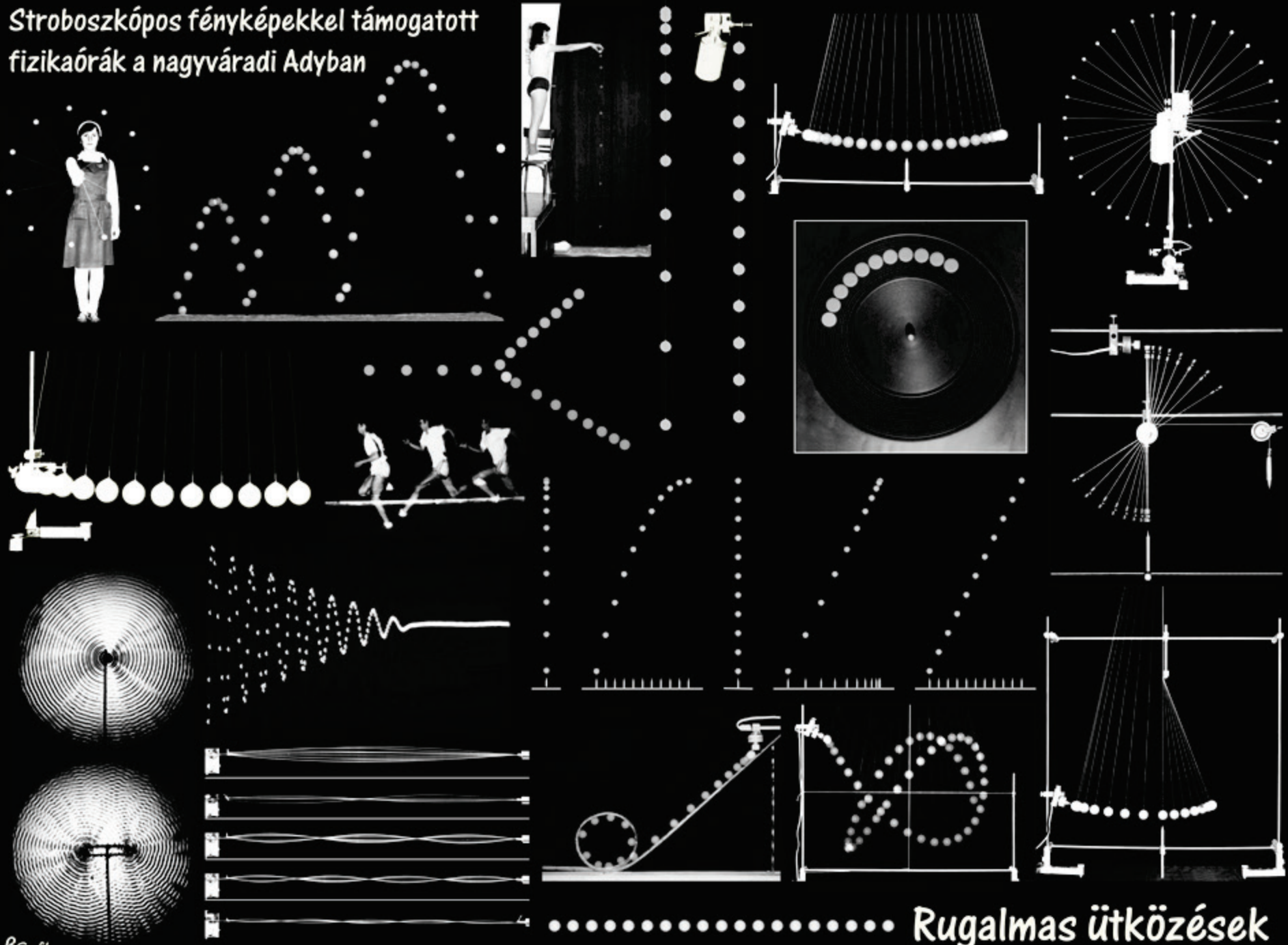
A merevtest tehetetlensége kicsi, a gyorsulás nagy (állandó időközű felvétel)

A merevtest tehettetlensége



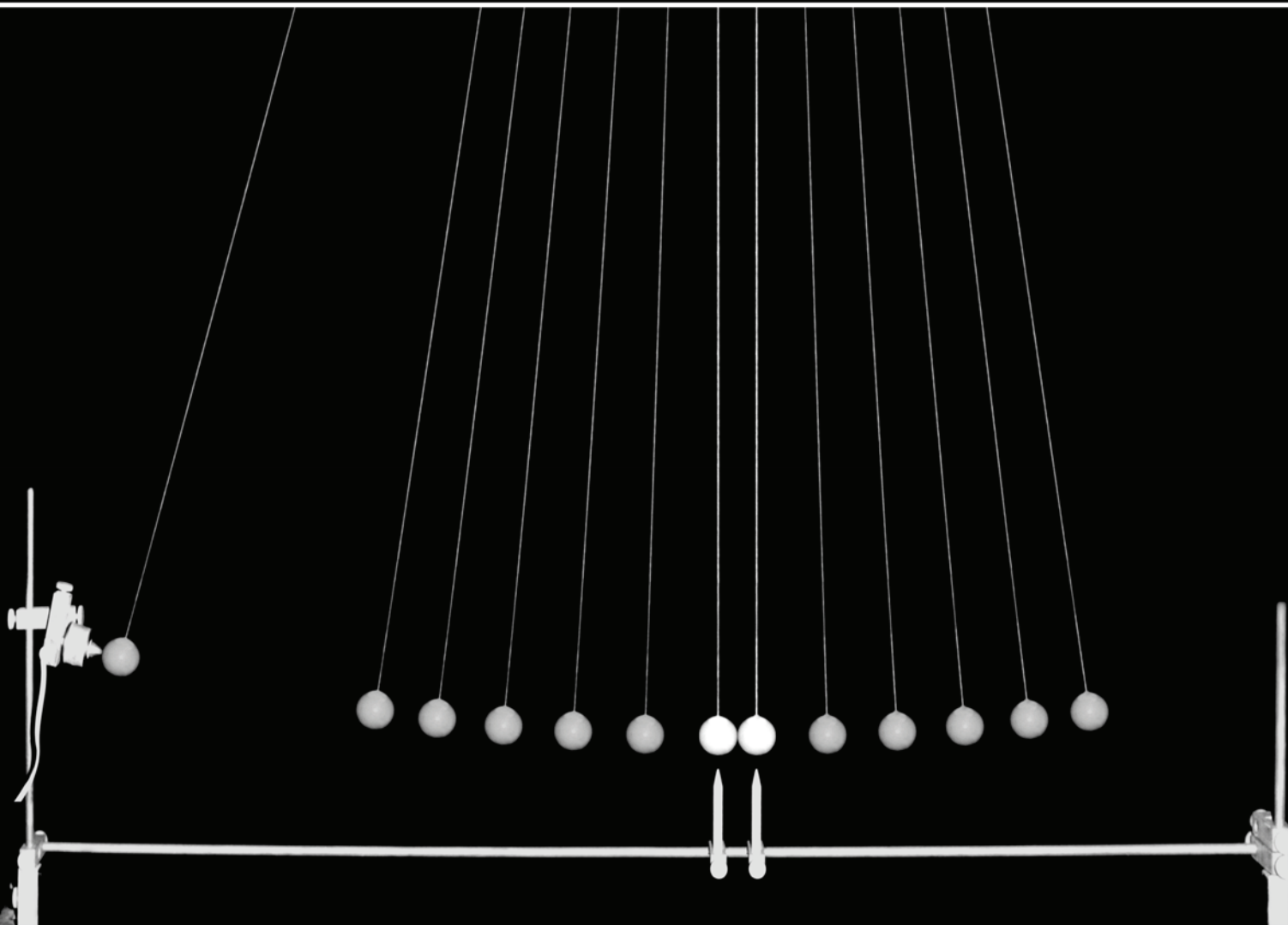
A merevtest tehettetlensége kicsi, a gyorsulás nagy (állandó térközű felvétel)

Stroboszkópos fényképekkel támogatott
fizikaórák a nagyváradi Adyban



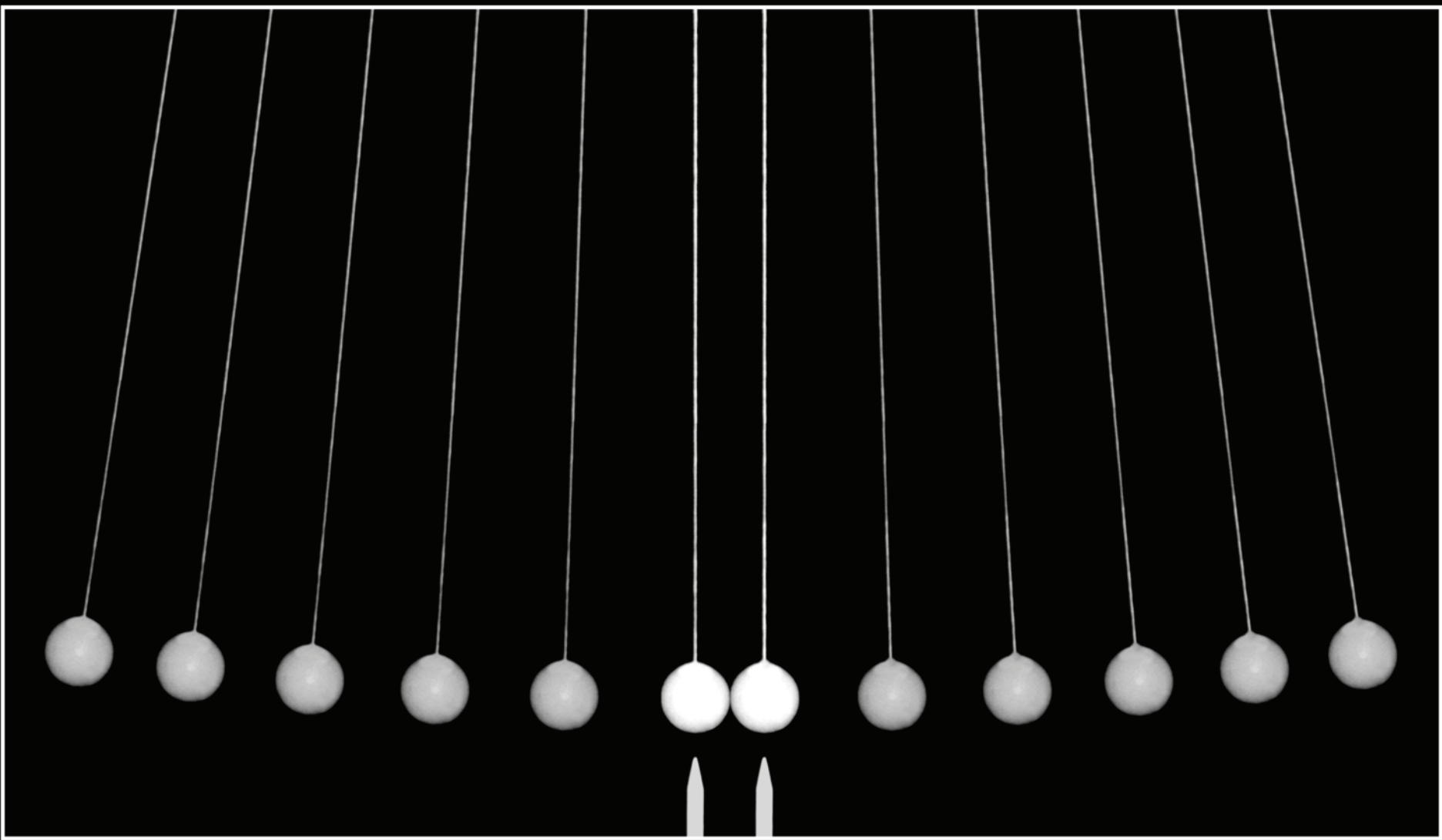
Rugalmas ütközések

Rugalmas ütközés



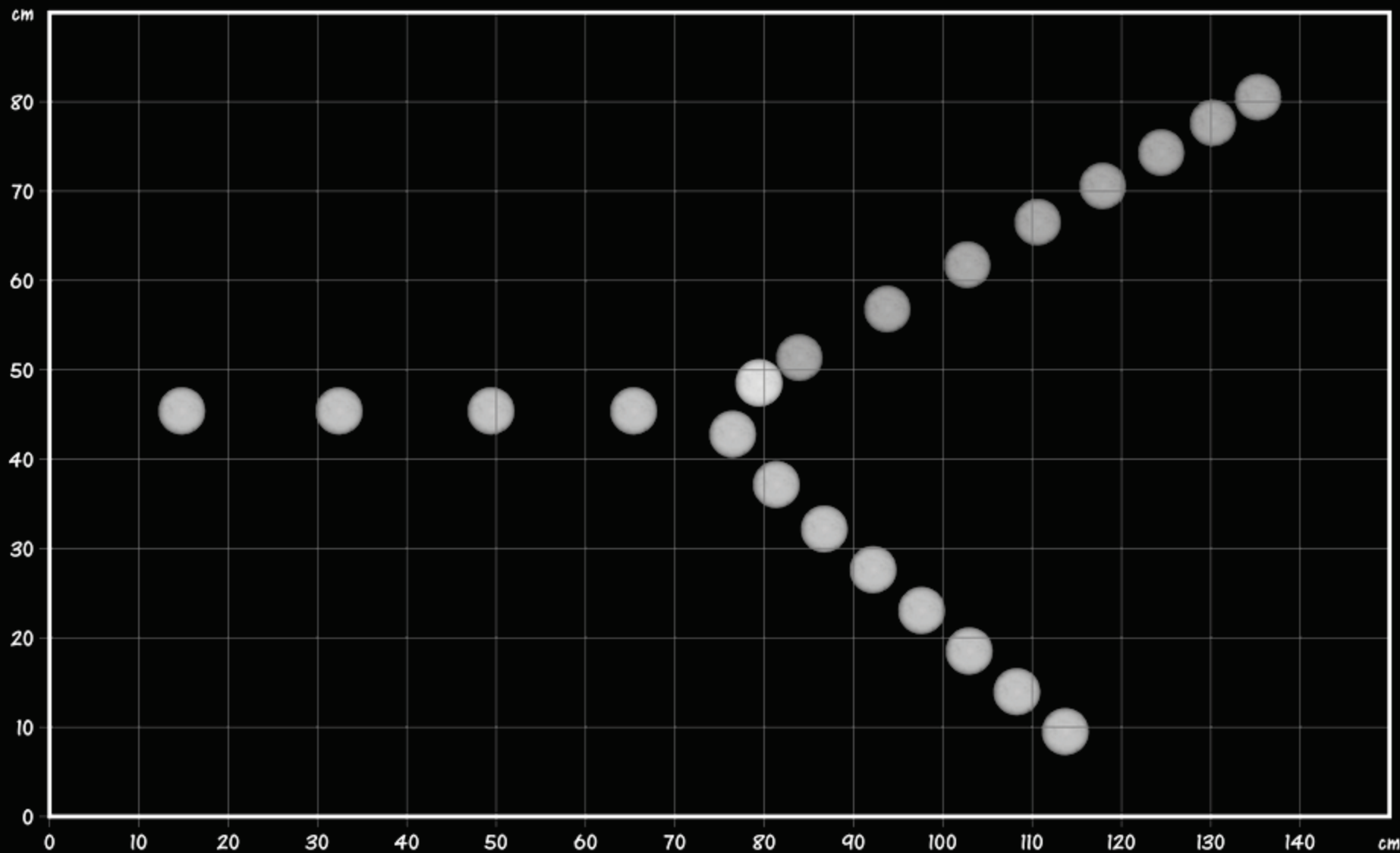
A baloldali inga golyója centrálisan ütközik a nyugalomban levő ingával, majd megáll. A másik kis impulzusveszteséggel megy tovább (12 villantás; $\Delta t = 481 \text{ ms} + 10 \times 60 \text{ ms}$).

Rugalmas ütközés (rézszlet)



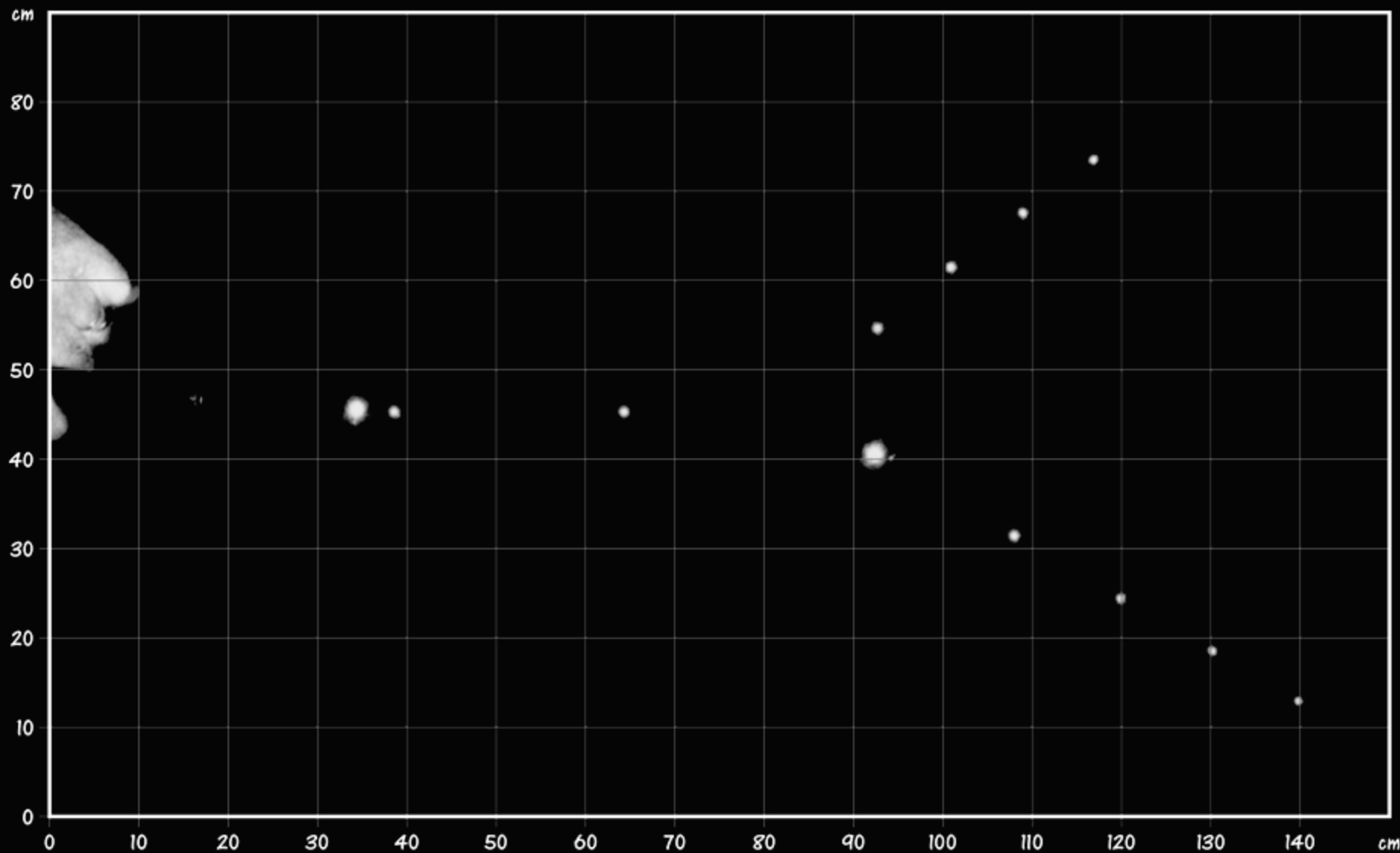
A baloldali inga golyója centrálisan ütközik a nyugalomban levő ingával, majd megáll. A másik kis impulzusveszteséggel megy tovább (11 villantás; $\Delta t = 60$ ms).

Rugalmas ütközés



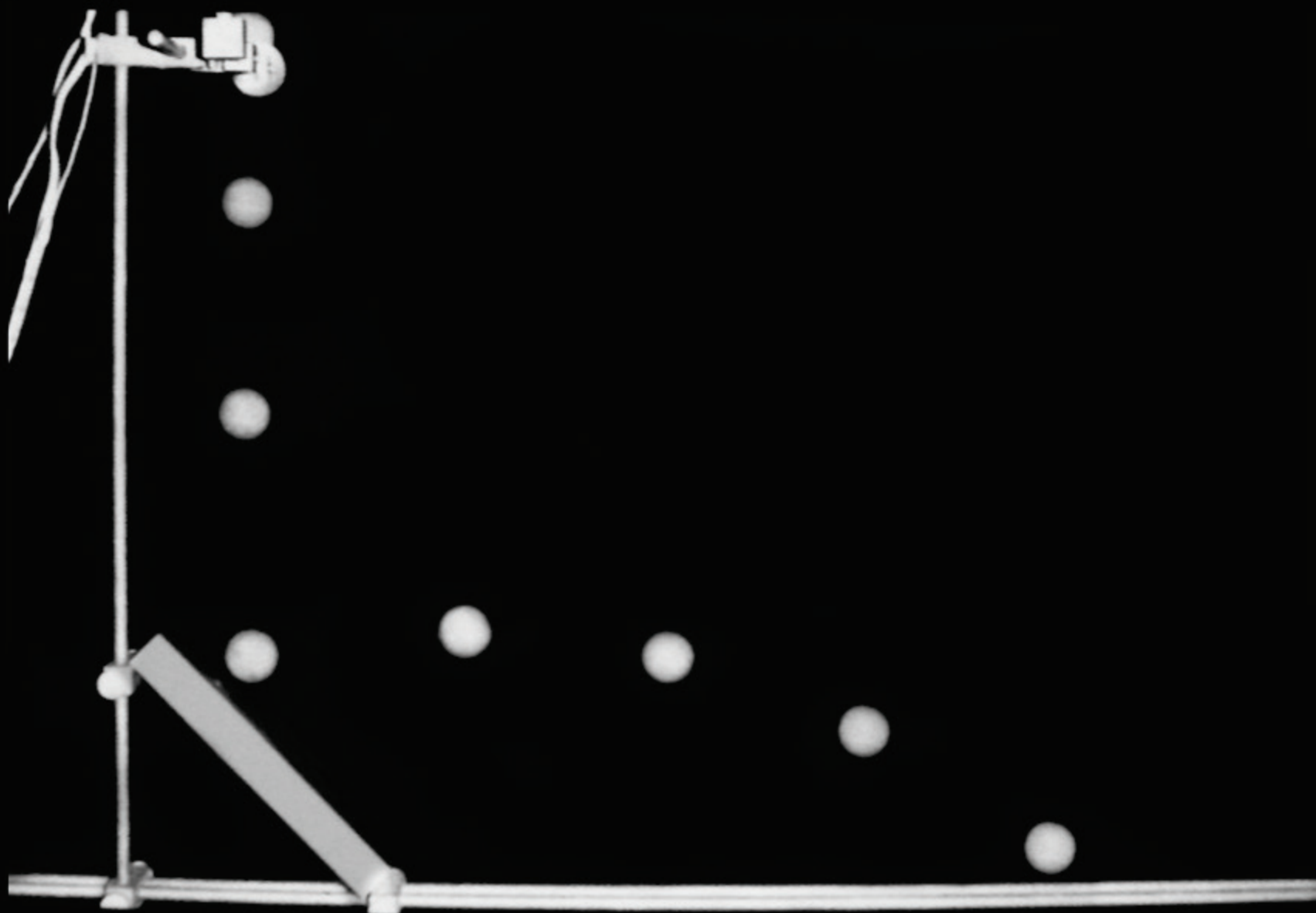
A balról érkező elefántcsontgolyó nem centrálisan ütközik a nyugalomban levő másik golyóval. Nem sikerült elkapnom az ütközés pillanatát (12 villantás, $\Delta t = 75$ ms)

Rugalmas ütközés



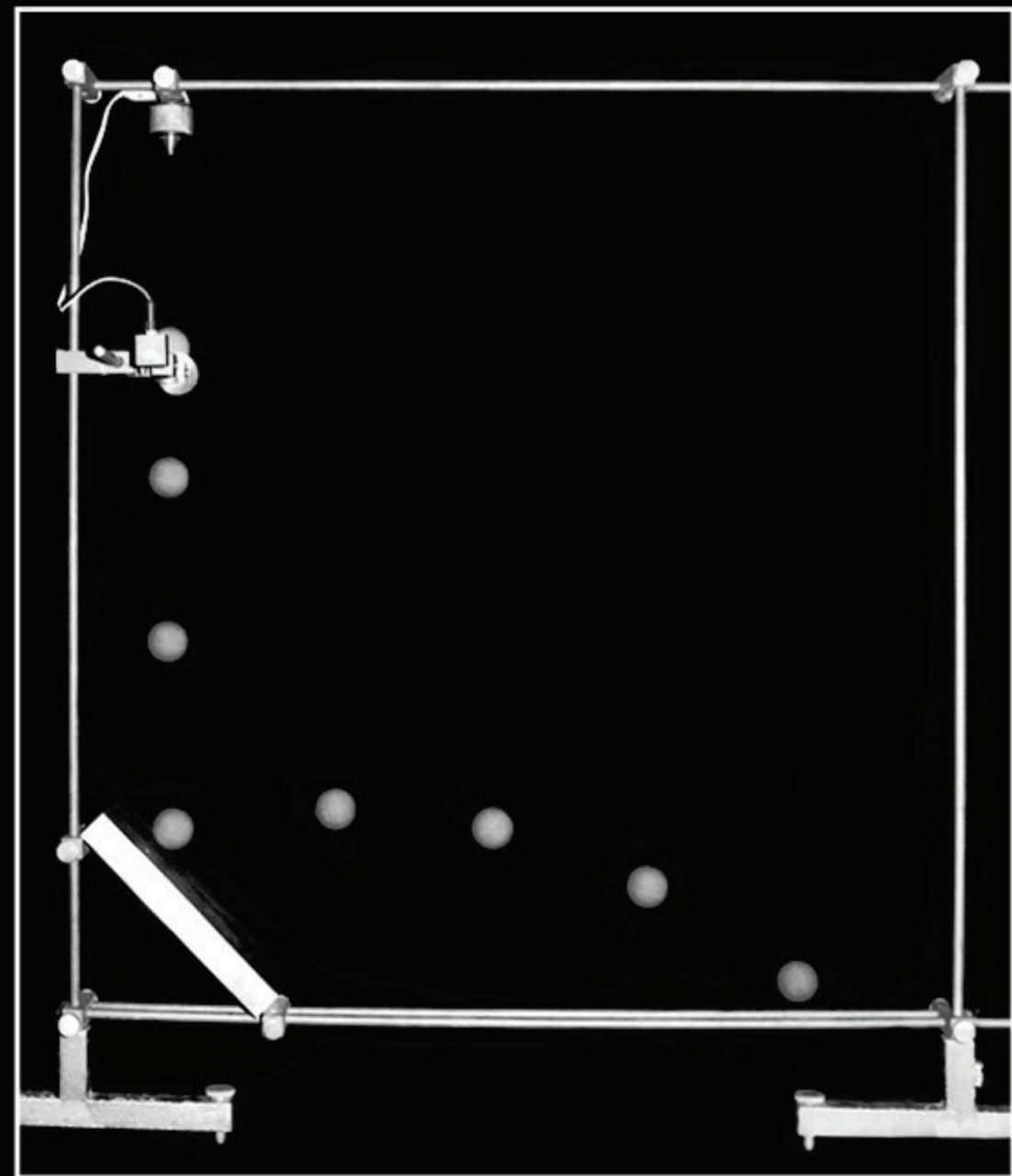
A balról érkező acélgolyó nem centrálisan ütközik a nyugalomban levő másik acélgolyóval. Csak a golyók teteje veri vissza a fényt ($\Delta t = 100$ ms)

Rugalmas ütközés



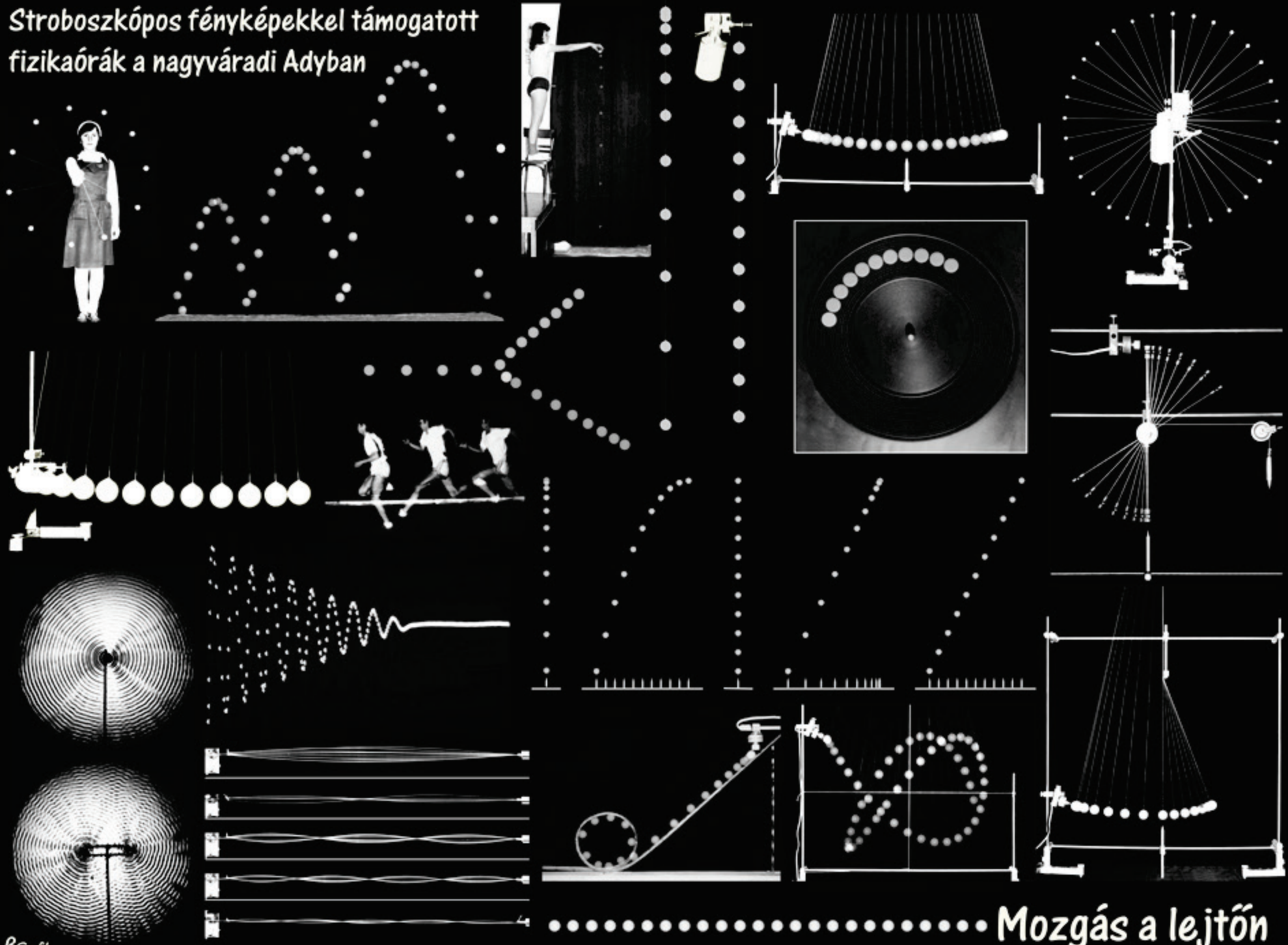
A pingponglabda érkezését jelzi a fotókapu, majd visszapattan a ferdén álló acéllapról (8 villantás; $\Delta t = 50$ ms)

Rugalmas ütközés



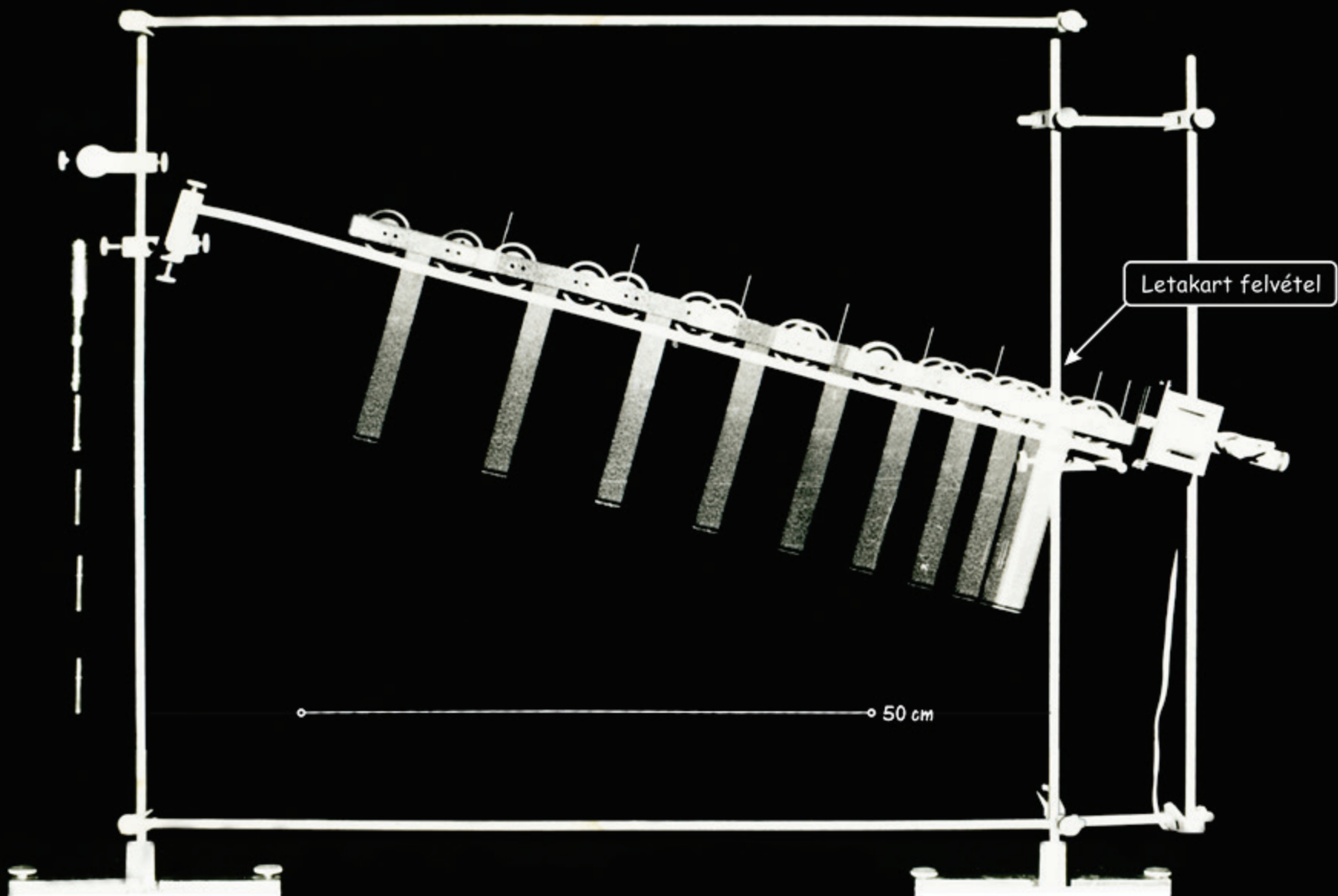
A pingponglabdát jelzi a fotókapu, majd visszapattan a ferdén álló acéllappról (8 villantás; $\Delta t = 50$ ms)

Stroboszkópos fényképekkel támogatott
fizikaórák a nagyváradi Adyban



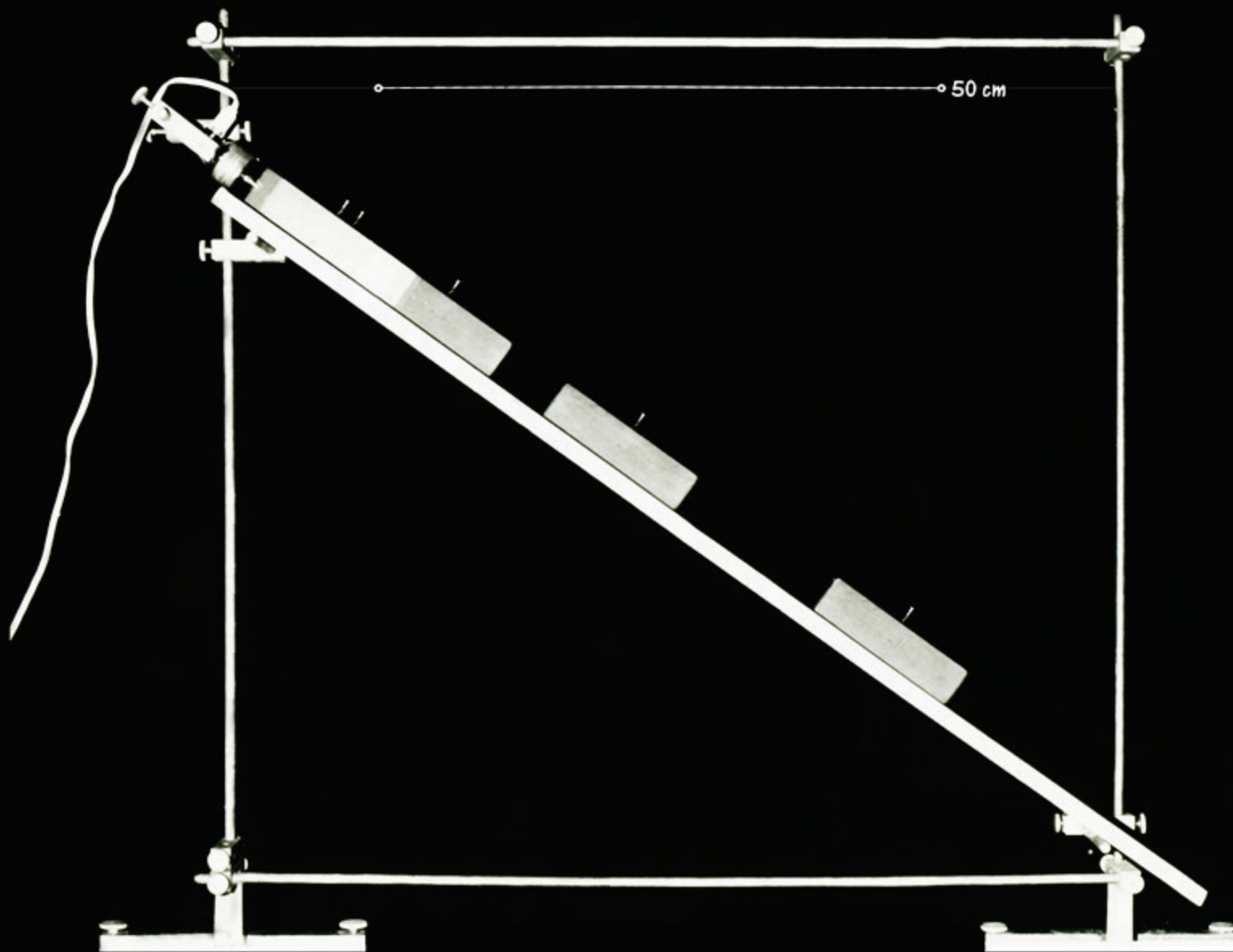
Mozgás a lejtőn

Mozgás a lejtőn



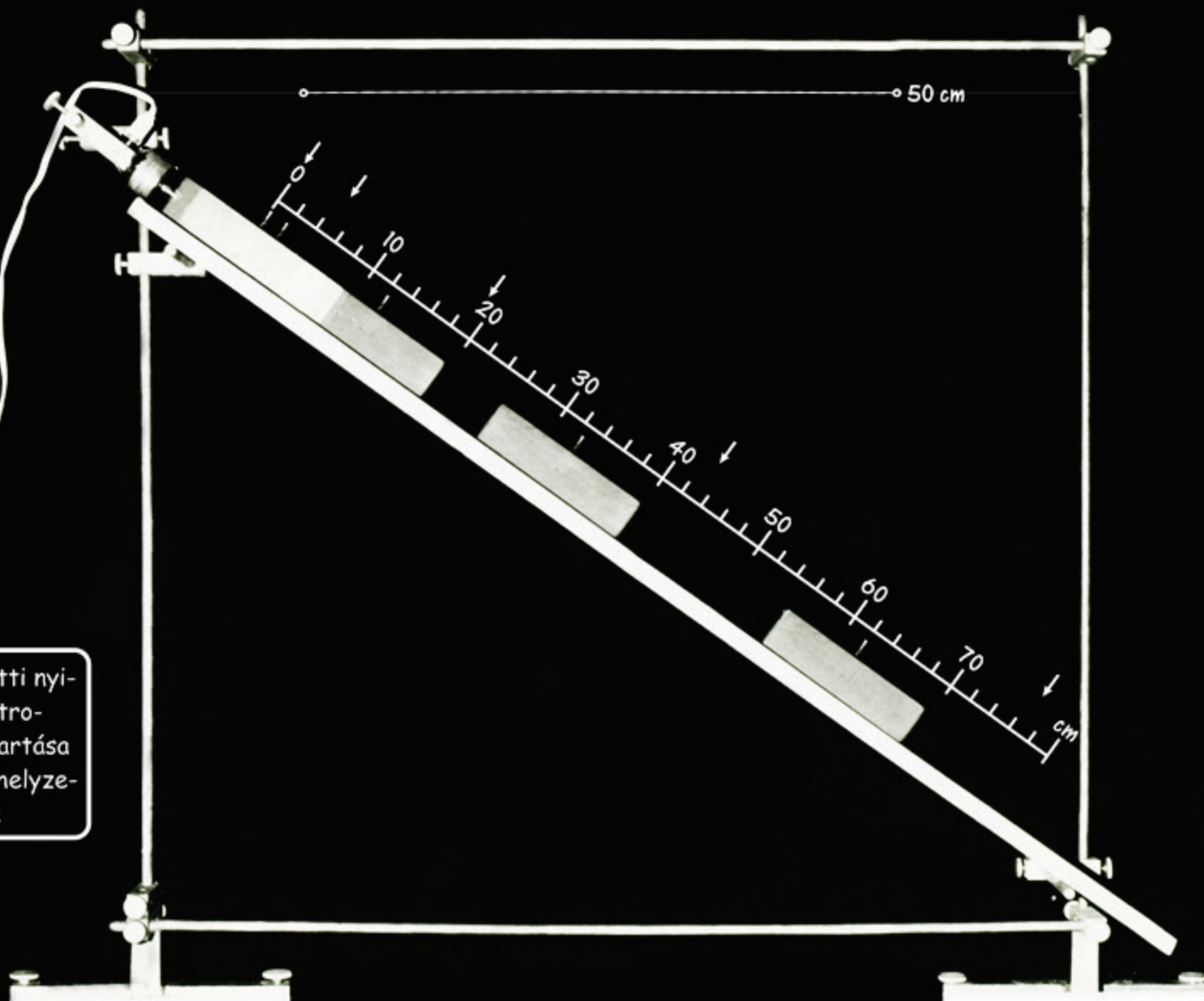
Amikor az elektromágnes (EM) áramát kikapcsoljuk és elsőt villantunk, a kiskocsi elindulhat, de az EM remanenciája miatt késik (11 villantás, $\Delta t = 100$ ms)

Mozgás a lejtőn



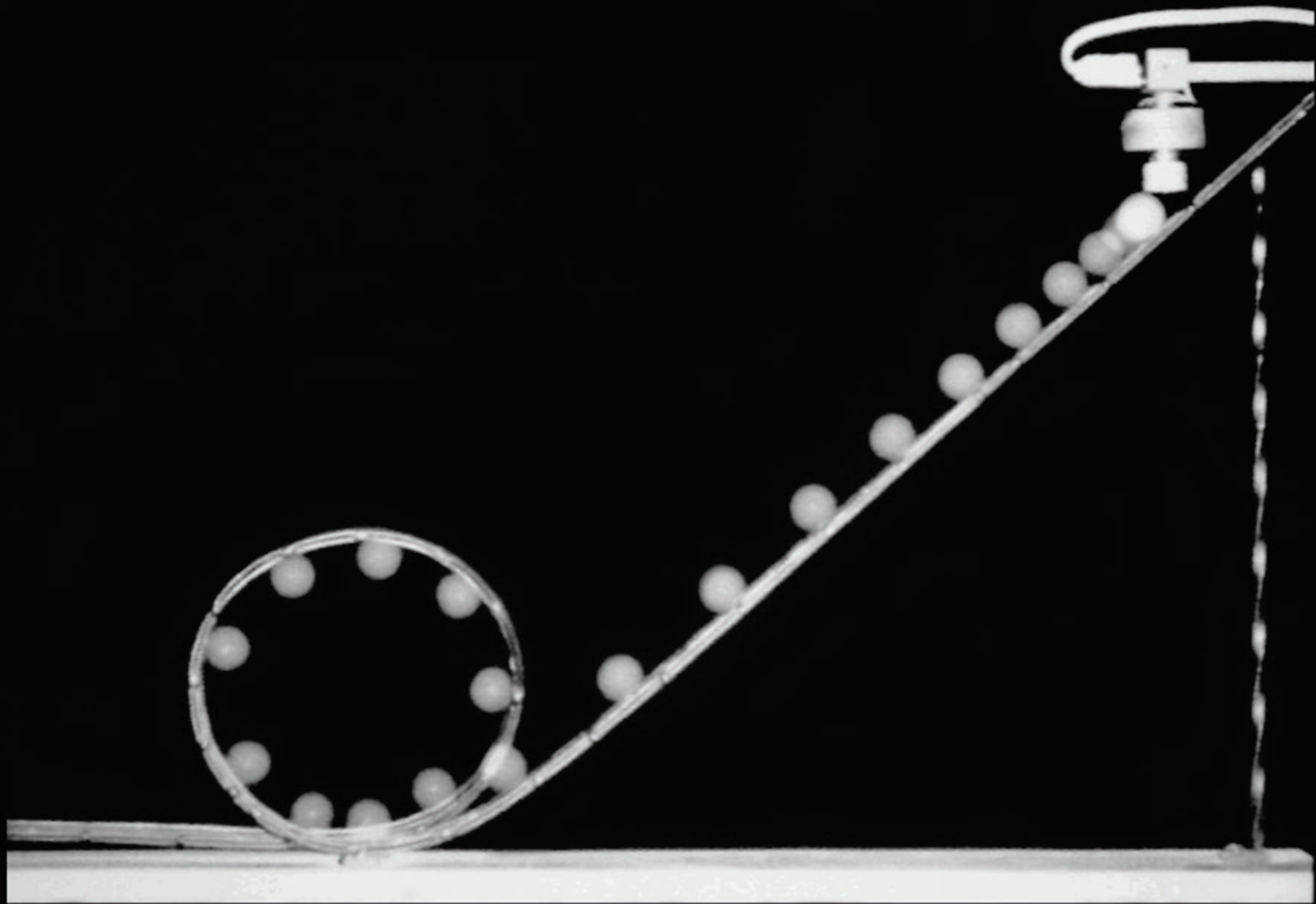
Amikor az elektromágnes (EM) áramát kikapcsoljuk és elsőt villantunk, a fahasáb elindulhat a lejtőn, de az EM remanenciája miatt késik (5 villantás, $\Delta t = 250$ ms)

Mozgás a lejtőn



Amikor az elektromágnes (EM) áramát kikapcsoljuk és elsőt villantunk, a fahasáb elindulhat a lejtőn, de az EM remanenciája miatt késik (5 villantás, $\Delta t = 250$ ms)

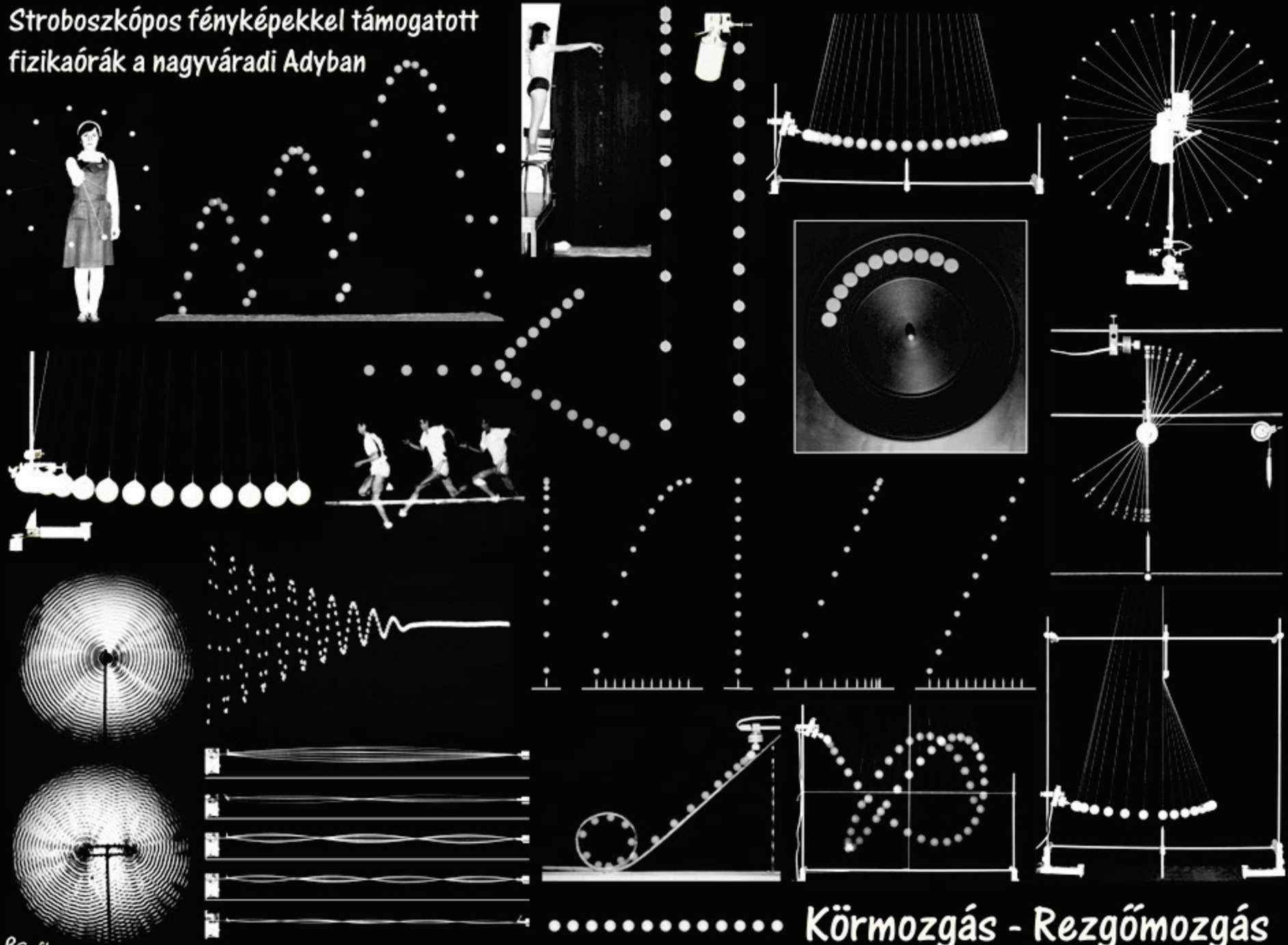
Mozgás a lejtőn



A pingponglabda „Looping” akrobatikája (21 villantás; $\Delta t = 50$ ms)

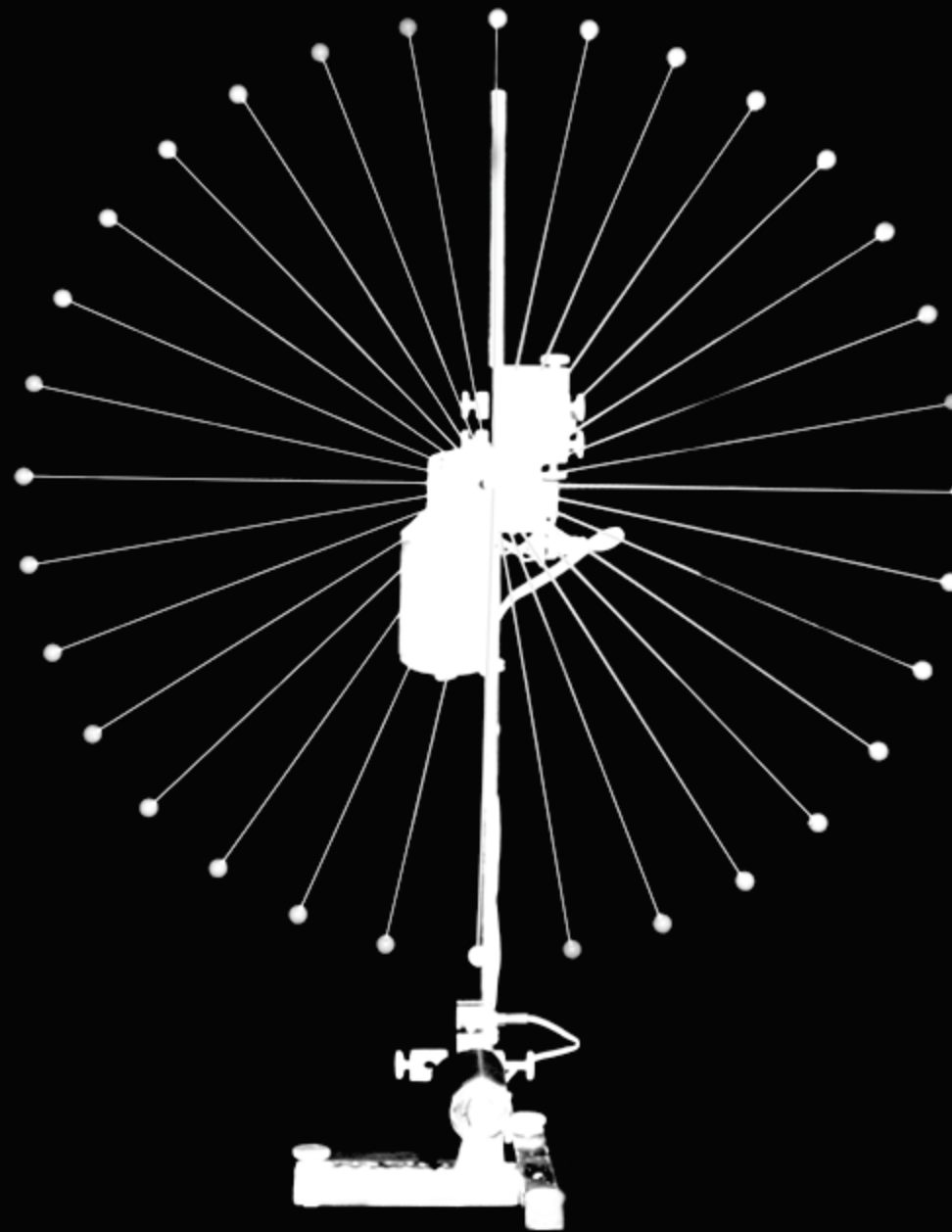
T

Stroboszkópos fényképekkel támogatott fizikaórák a nagyváradi Adyban



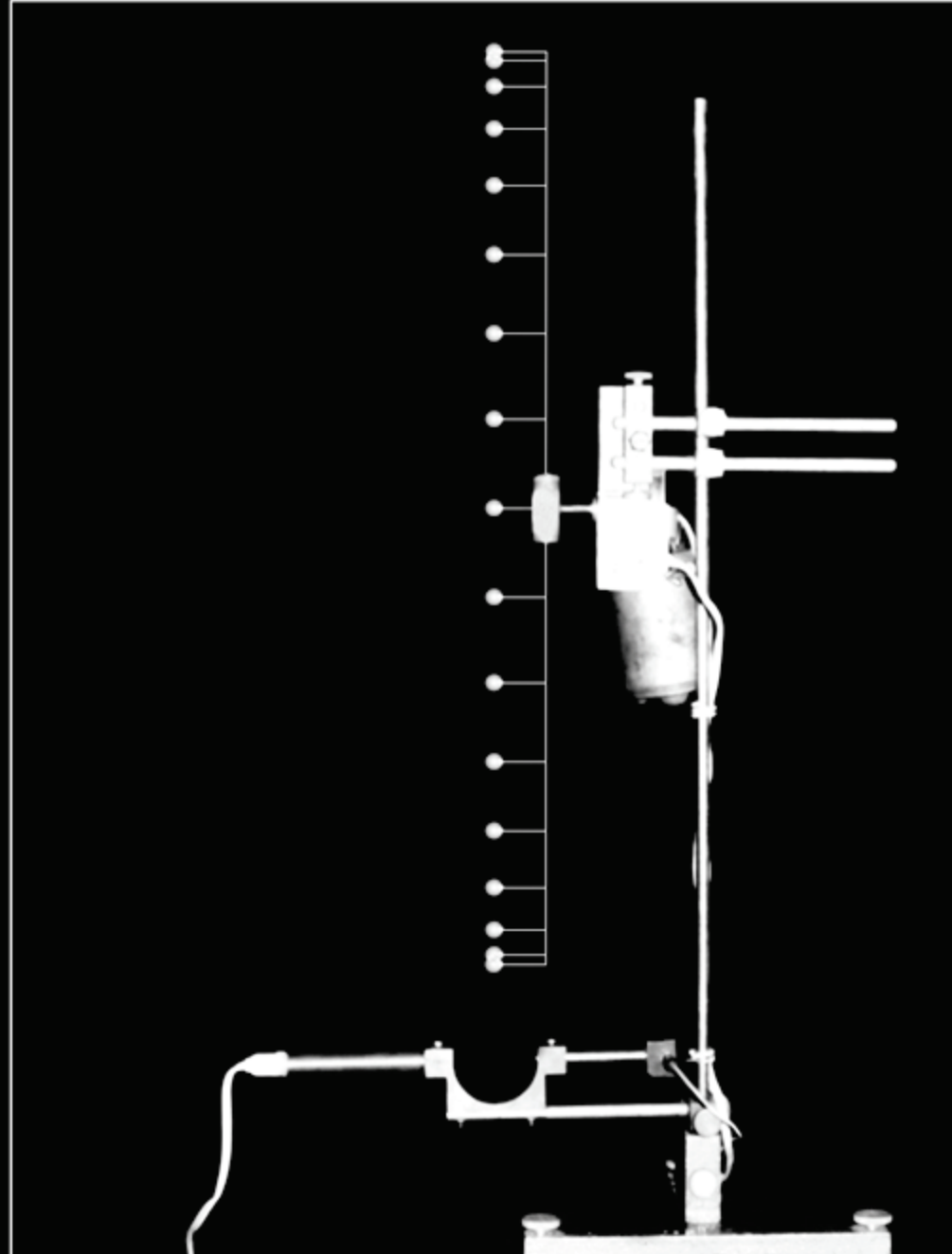
Körmozgás - Rezgőmozgás

A körmozgás és a rezgőmozgás kapcsolata



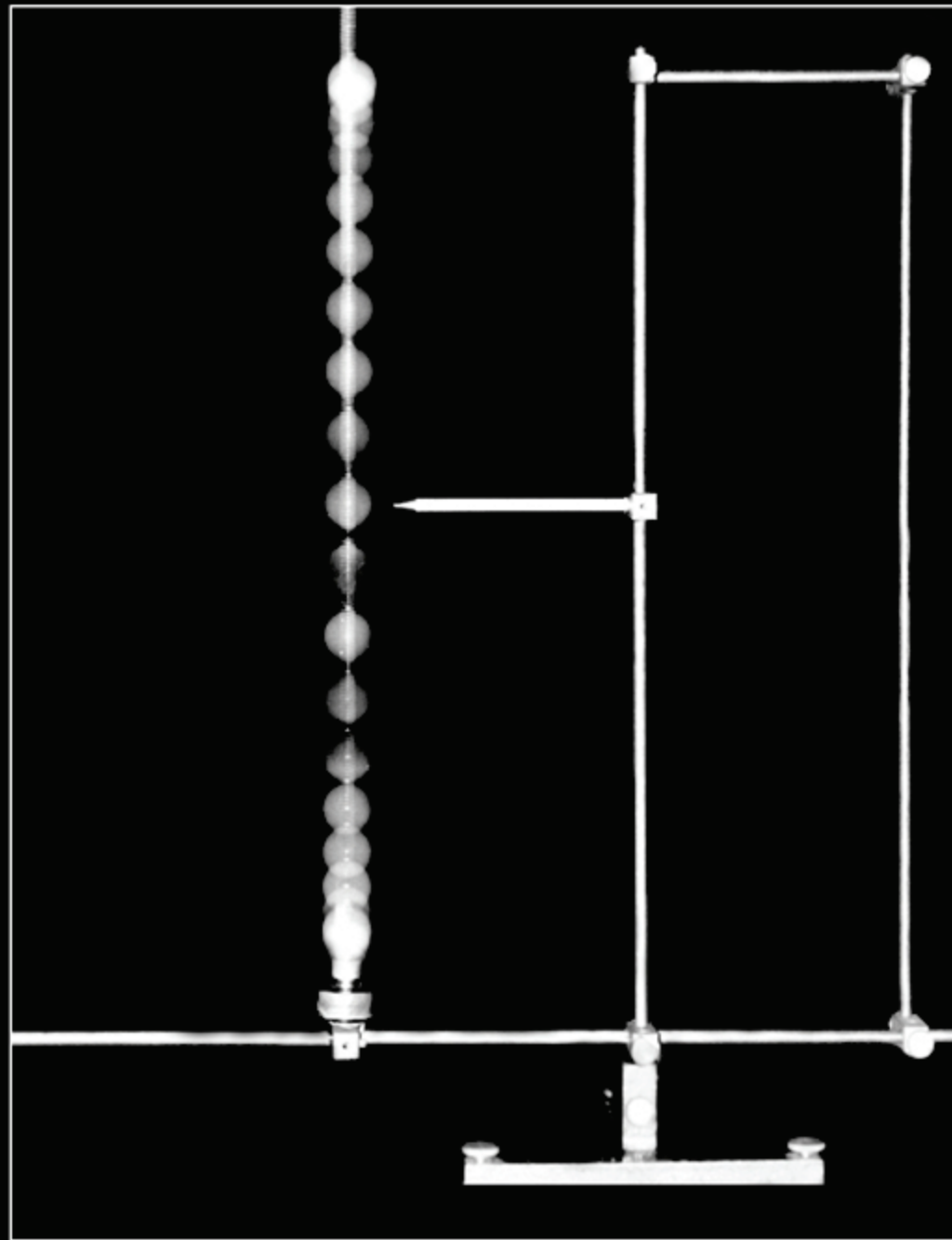
Egy golyó körmozgása a körmozgás tengelye irányából nézve

A körmozgás és a rezgőmozgás kapcsolata



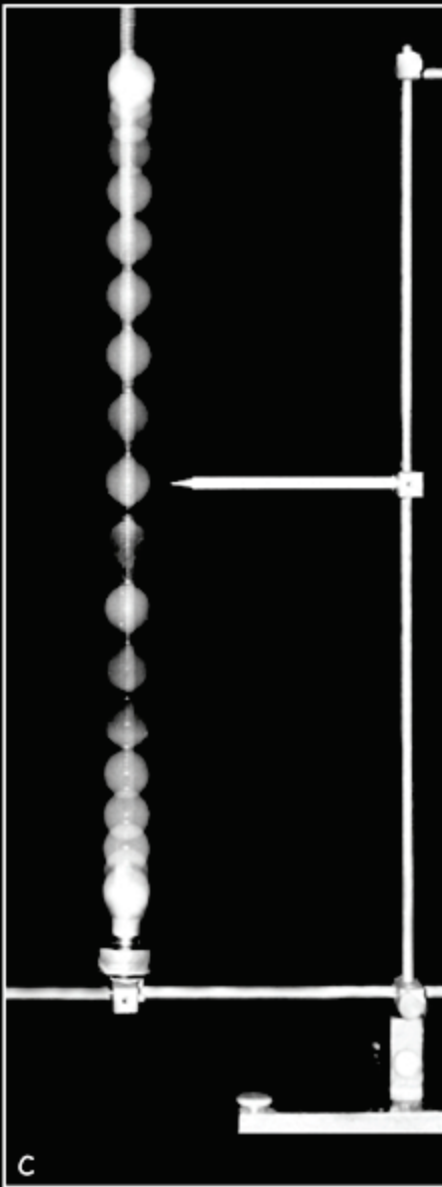
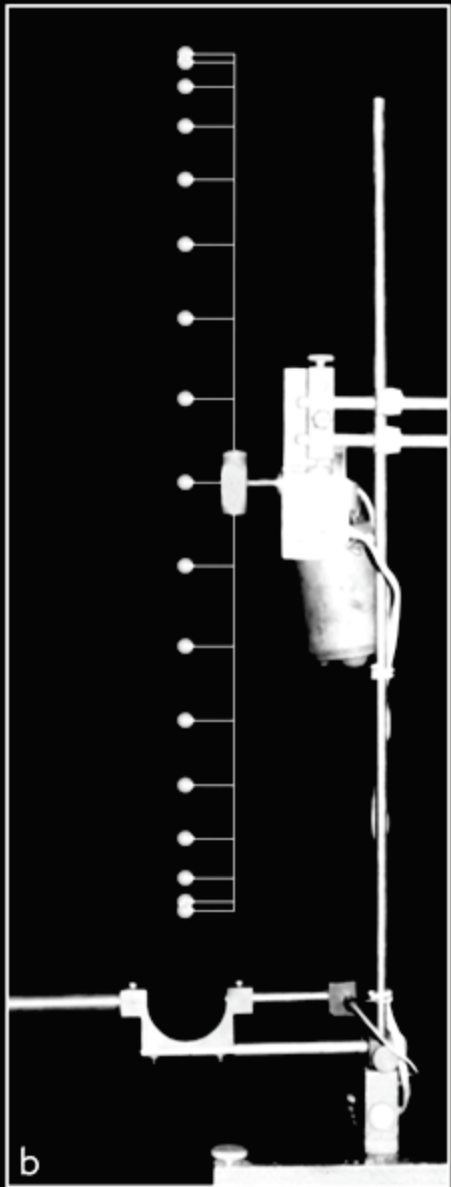
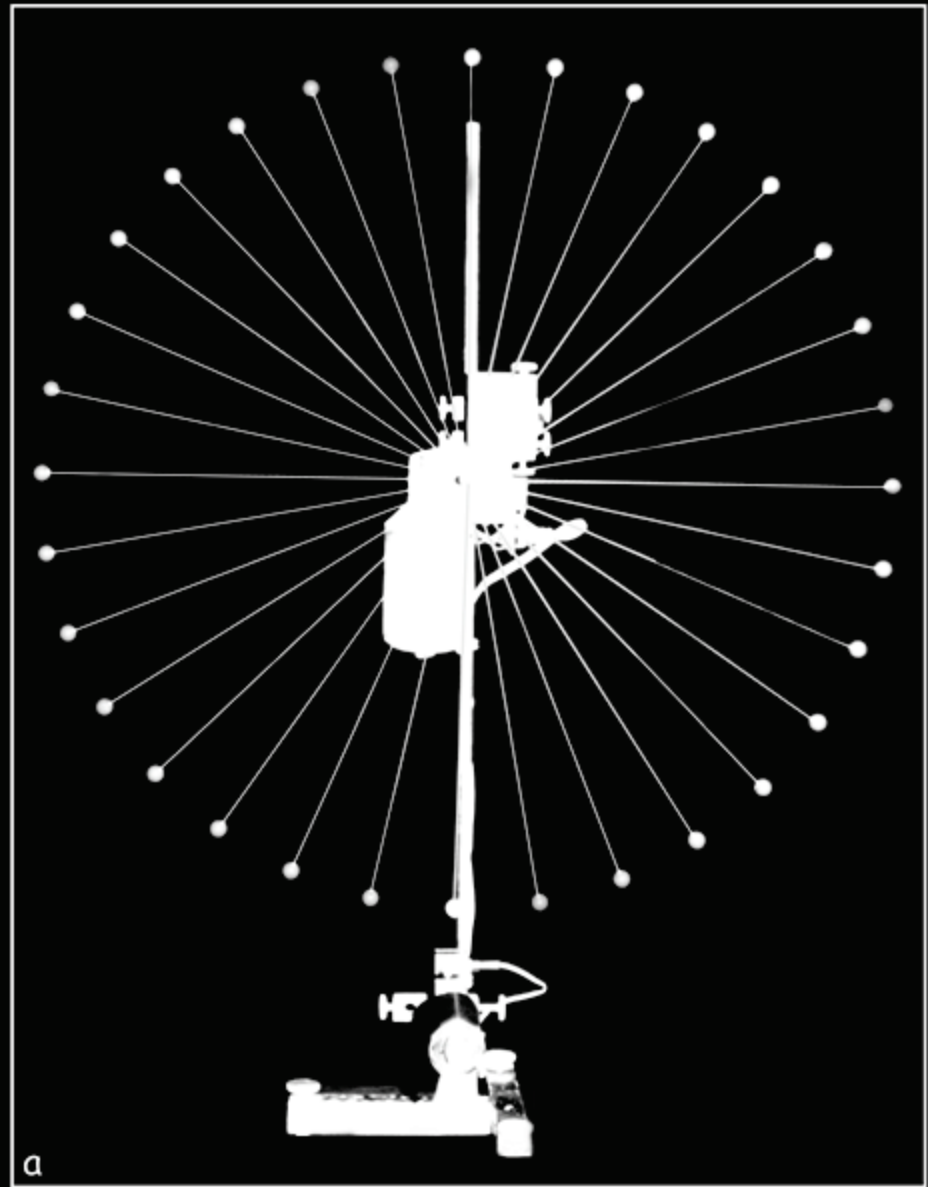
A körmozgást a mozgás síkjából nézve a rezgőmozgáshoz hasonló mozgást látunk

A körmögás és a rezgőmozgás kapcsolata



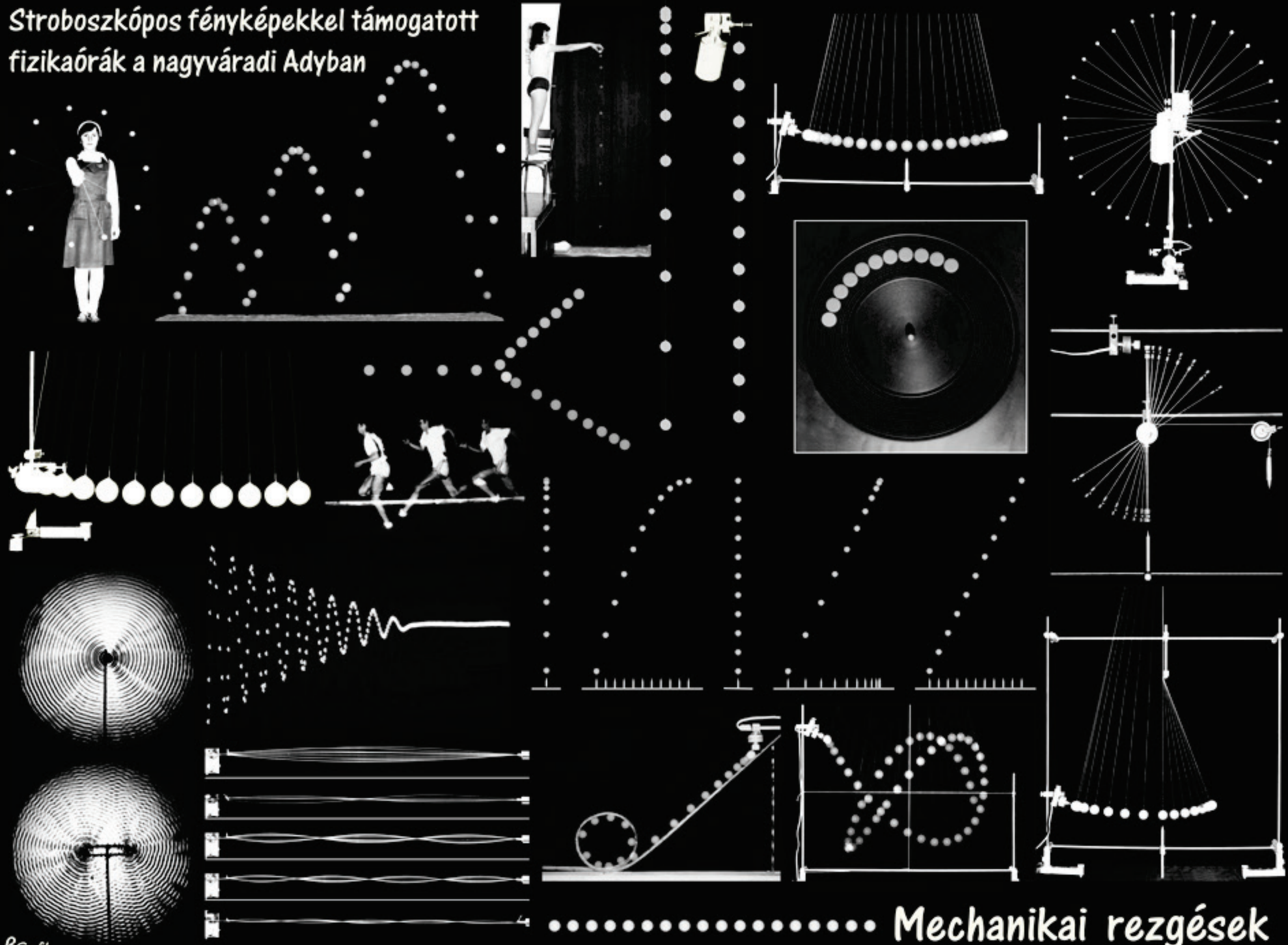
A rugalmas inga mozgása hasonlít a kivetített körmögáshoz

A körmozgás és a rezgőmozgás kapcsolata

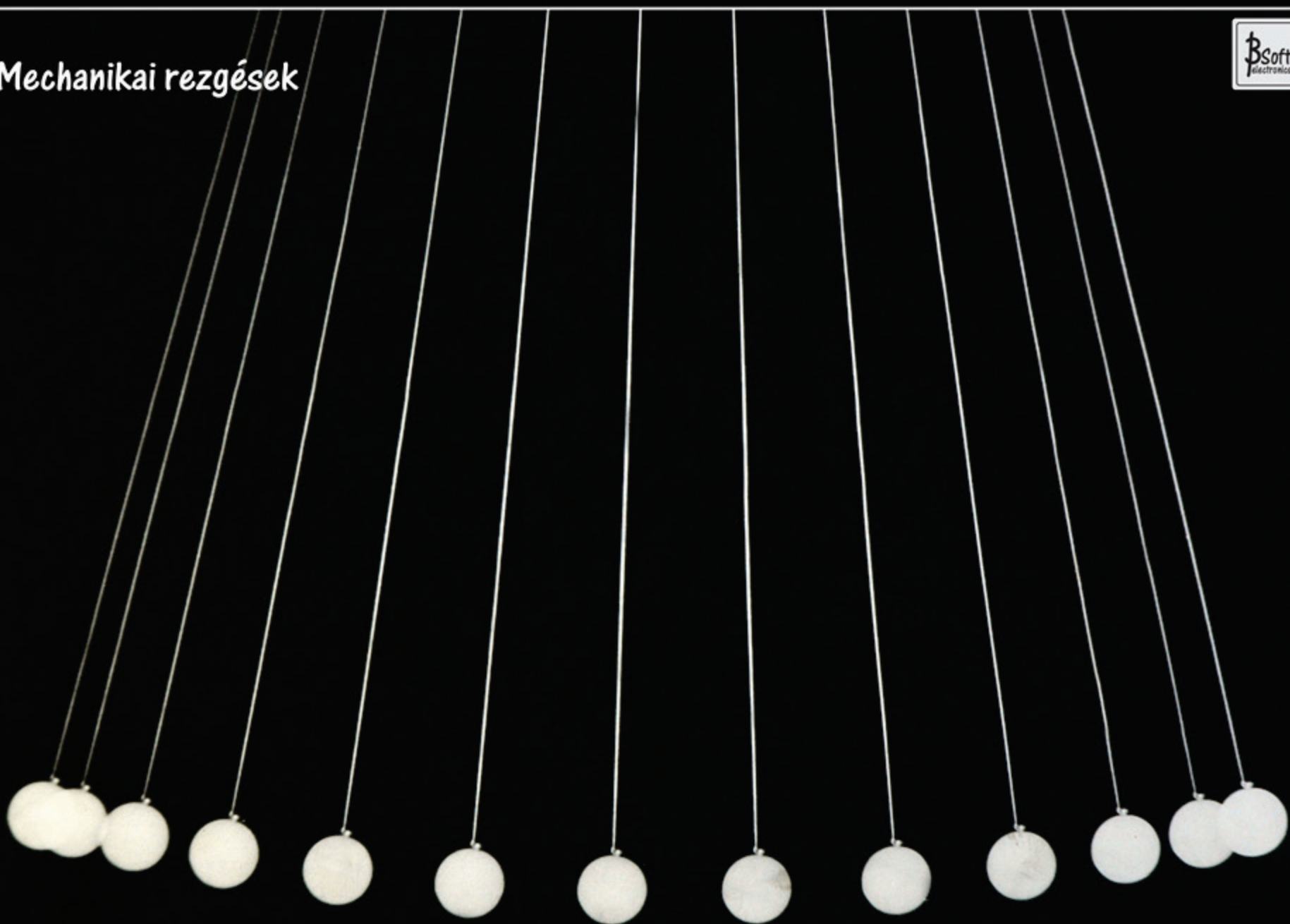


A körmozgást (a) a mozgás síkjából nézve (b) a rezgőmozgáshoz (c) hasonló mozgást látunk

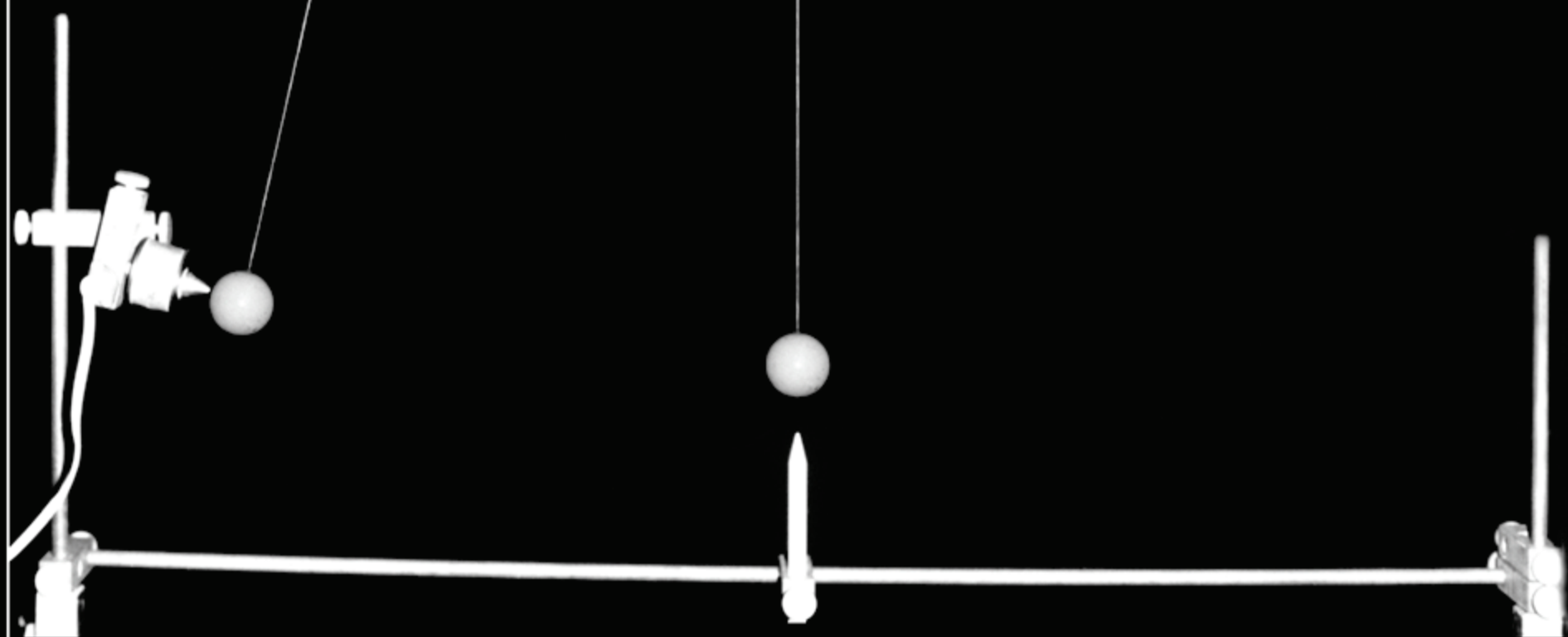
Stroboszkópos fényképekkel támogatott
fizikaórák a nagyváradi Adyban



Mechanikai rezgések

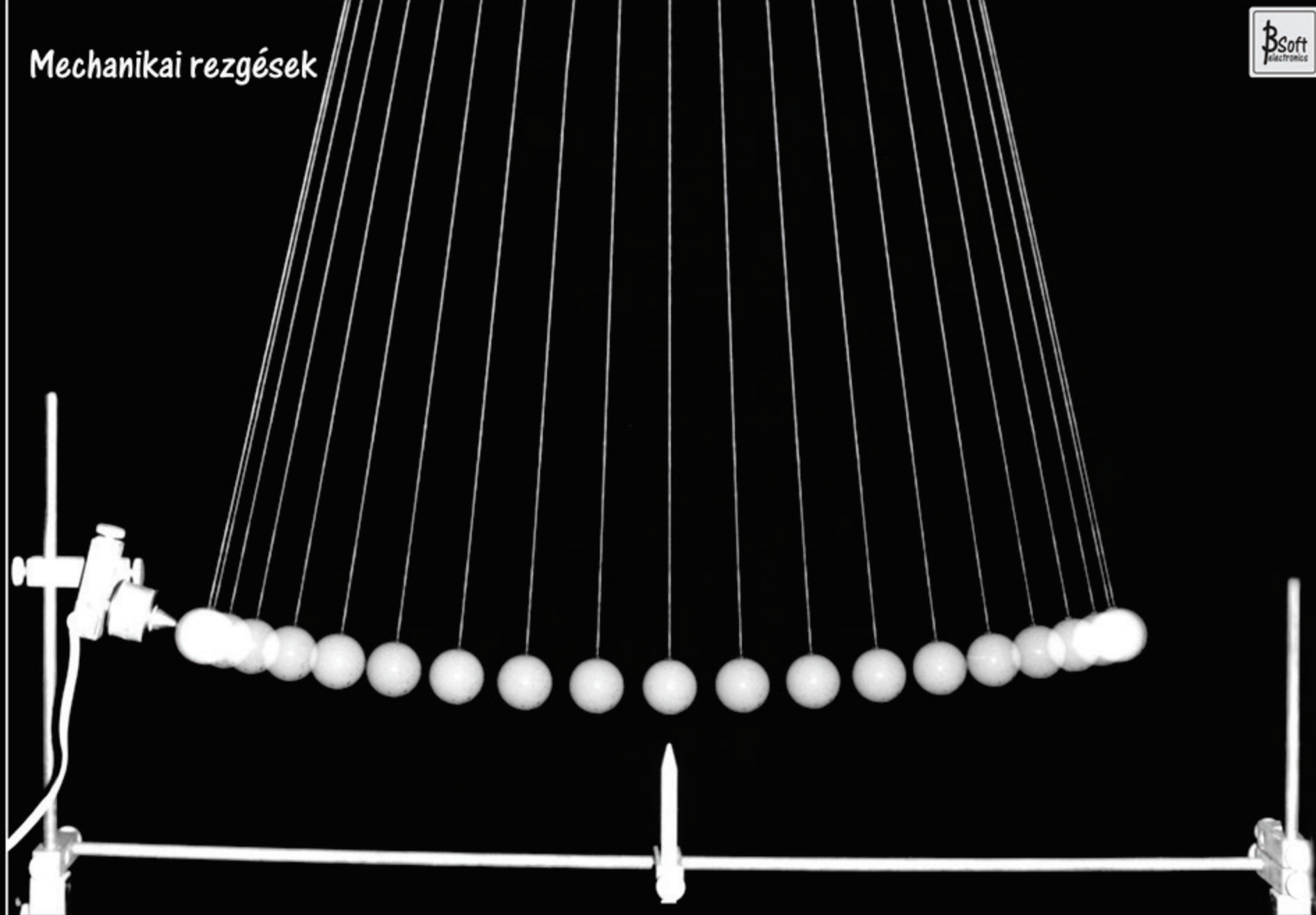


Klasszikus stroboszkópos felvétel. CNC stroboszkóp nélkül lehetetlen eltalálni a teljes félperiódust!



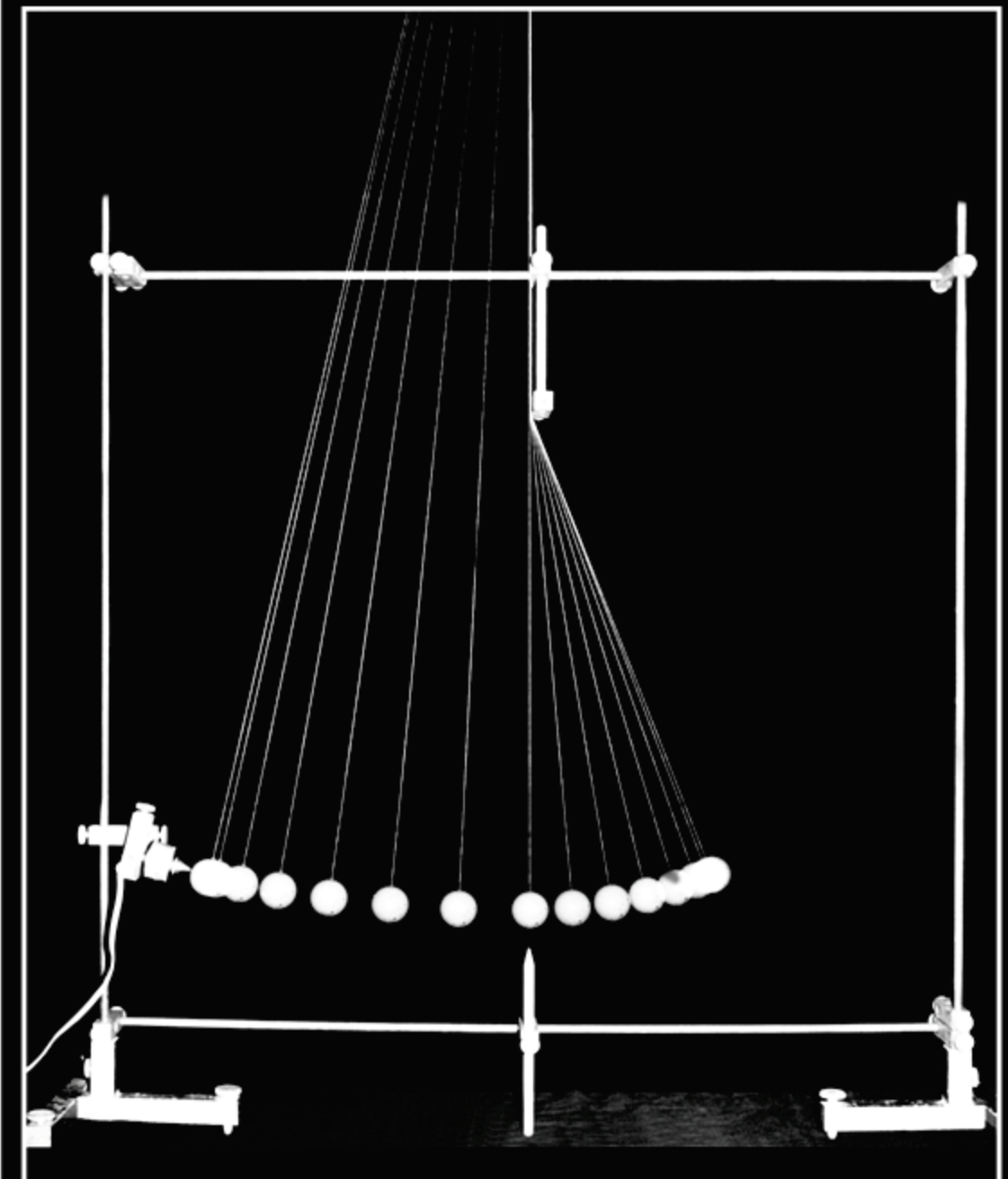
A fonál ping lengési idejének meghatározása az első negyedperiódusban (2 villantás; $\Delta t = 616 \text{ ms}$)

Mechanikai rezgések



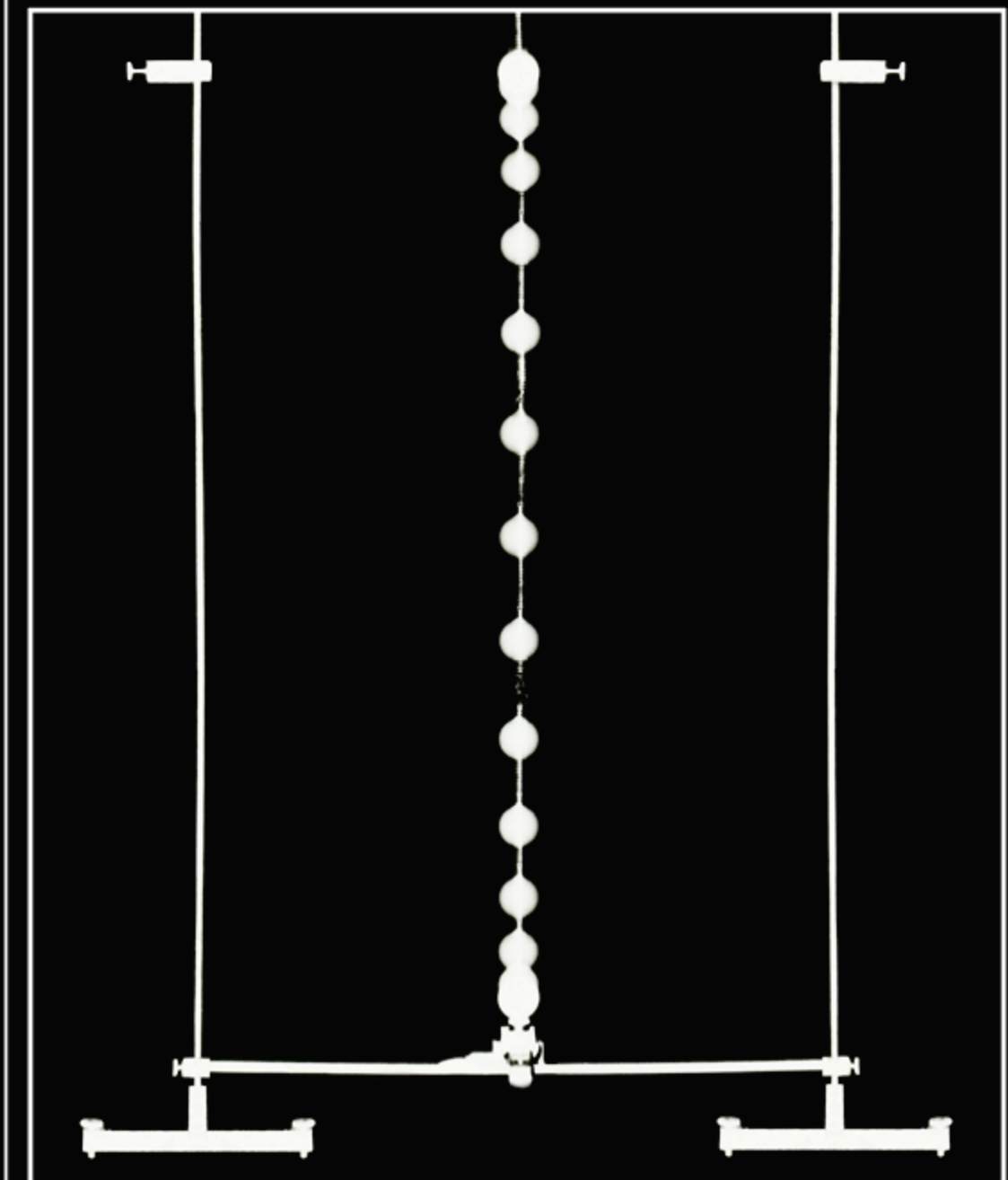
A fonálings lengésének első félperiódusa (21 villantás; $\Delta t = 61,6 \text{ ms}$)

Mechanikai rezgések



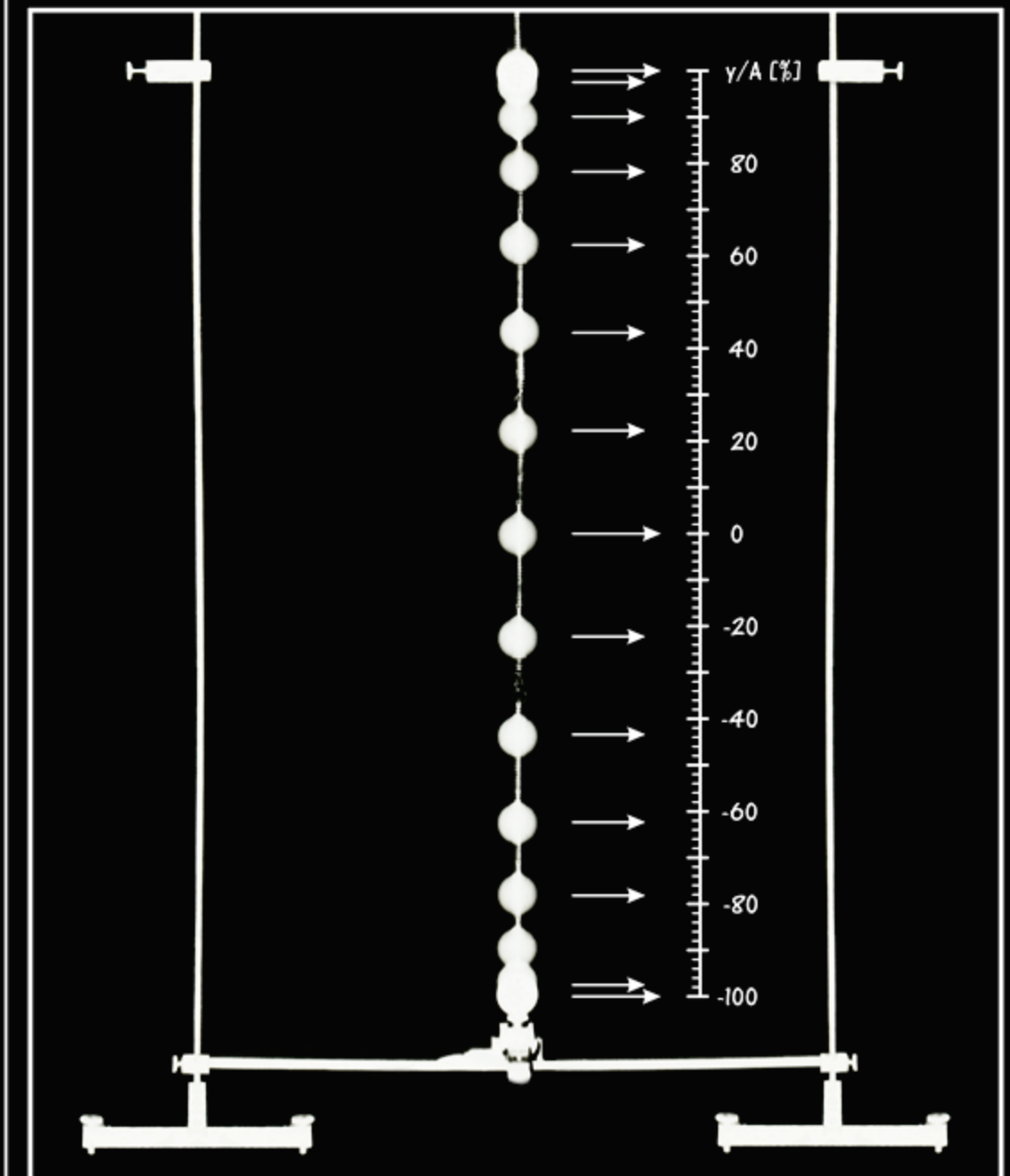
A megakasztás után a periódus kisebb lesz, ezért kisebb időintervallumokkal fényképezünk (15 villantás)

Mechanikai rezgések



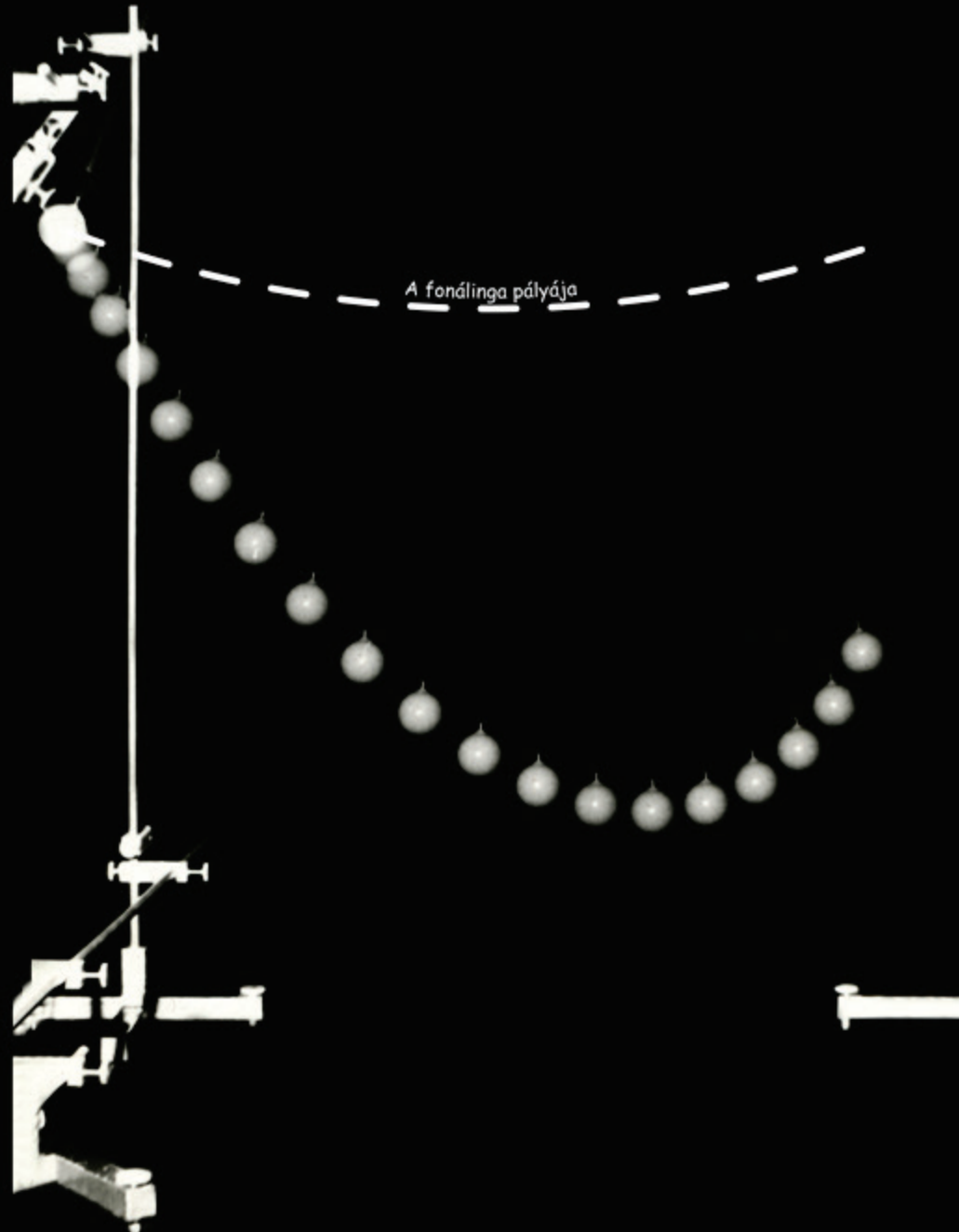
A rugalmas inga első félperiódusa. Klasszikus stroboszkópos felvétel (15 villantás; $\Delta t = 100$ ms)

Mechanikai rezgések



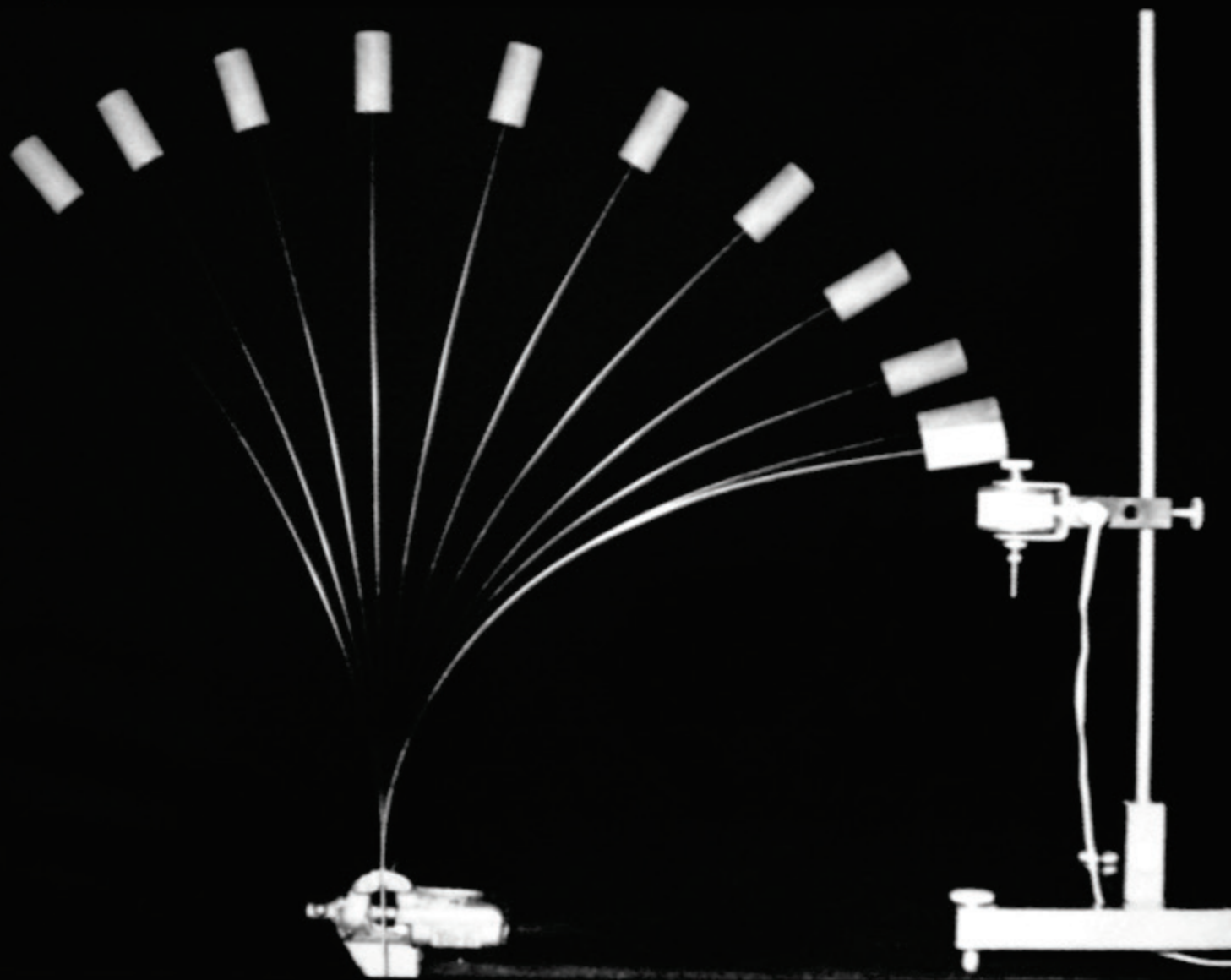
A rugalmas inga első félperiódusa. Klasszikus stroboszkópos felvétel (15 villantás; $\Delta t = 100$ ms)

Mechanikai rezgések



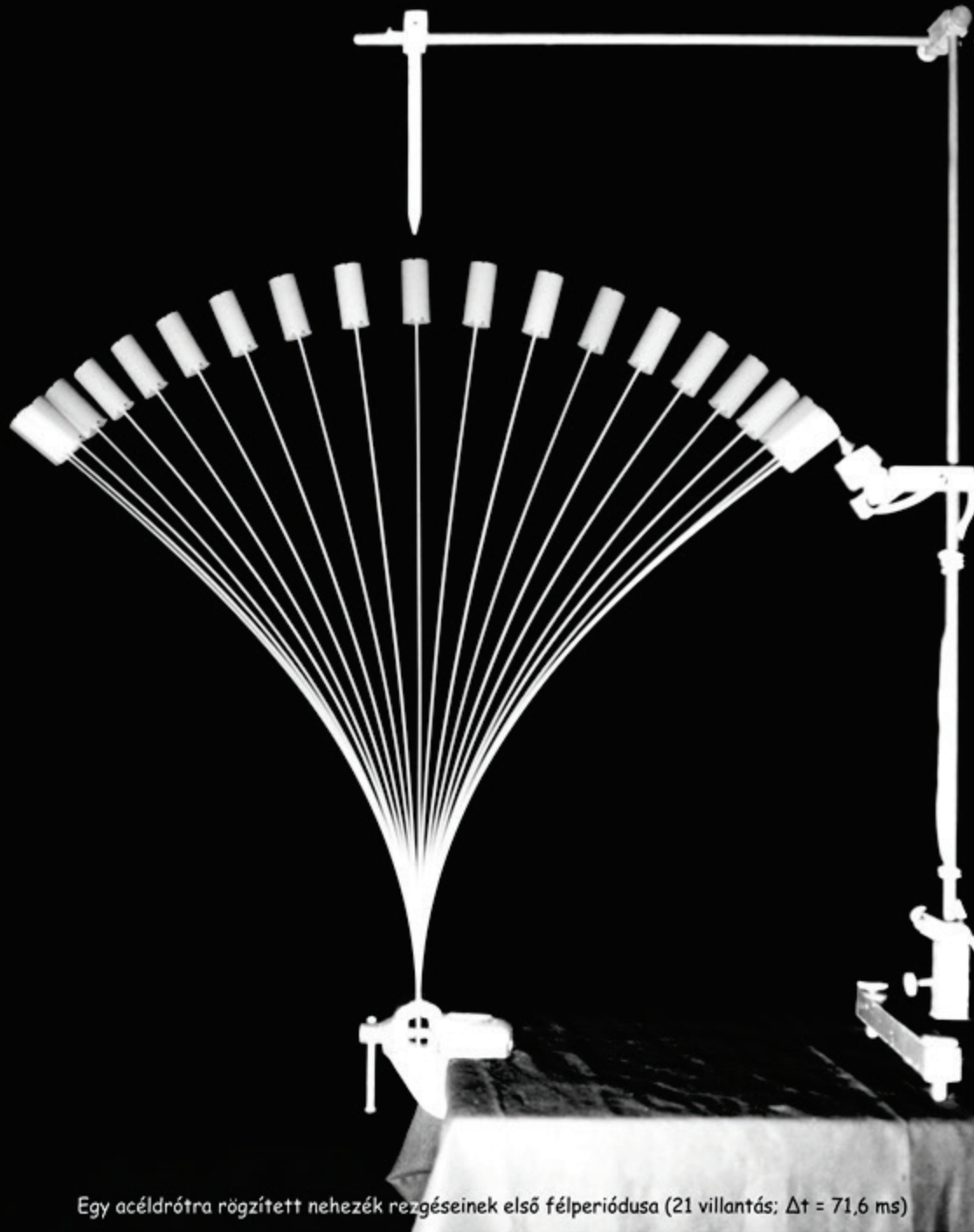
A fonáltinga és rugós inga összetett rezgése (21 villantás; $\Delta t = 50$ ms)

Mechanikai rezgések



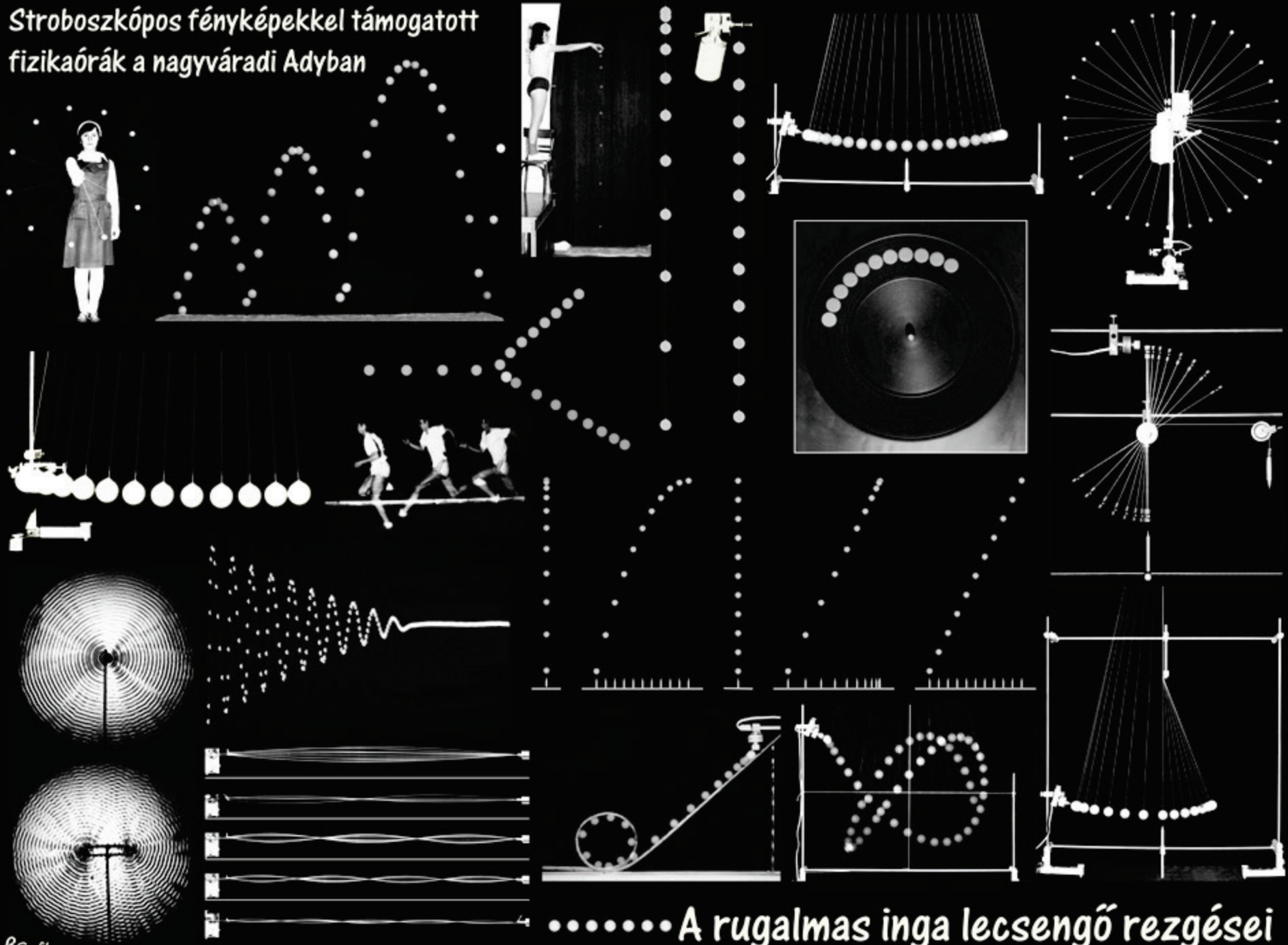
Klasszikus stoboszkópos felvétel. Egy acéldrótra rögzített nehezék rezgései első félperiódusának egy része (11 villantás; $\Delta t = 100$ ms)

Mechanikai rezgések



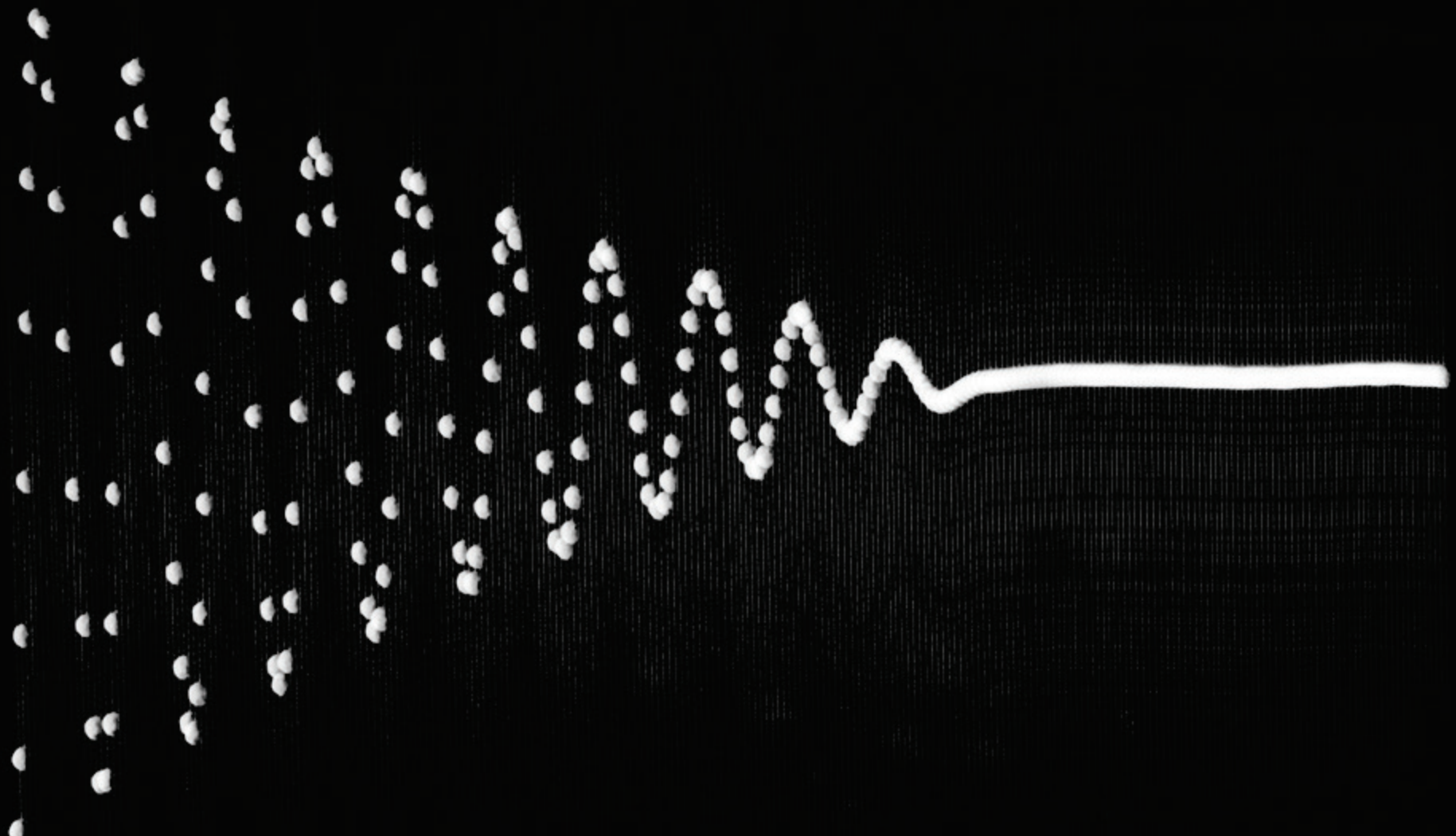
Egy acéldrótra rögzített nehezek rezgéseinek első félperiódusa (21 villantás; $\Delta t = 71,6 \text{ ms}$)

Stroboszkópos fényképekkel támogatott
fizikaórák a nagyváradi Adyban



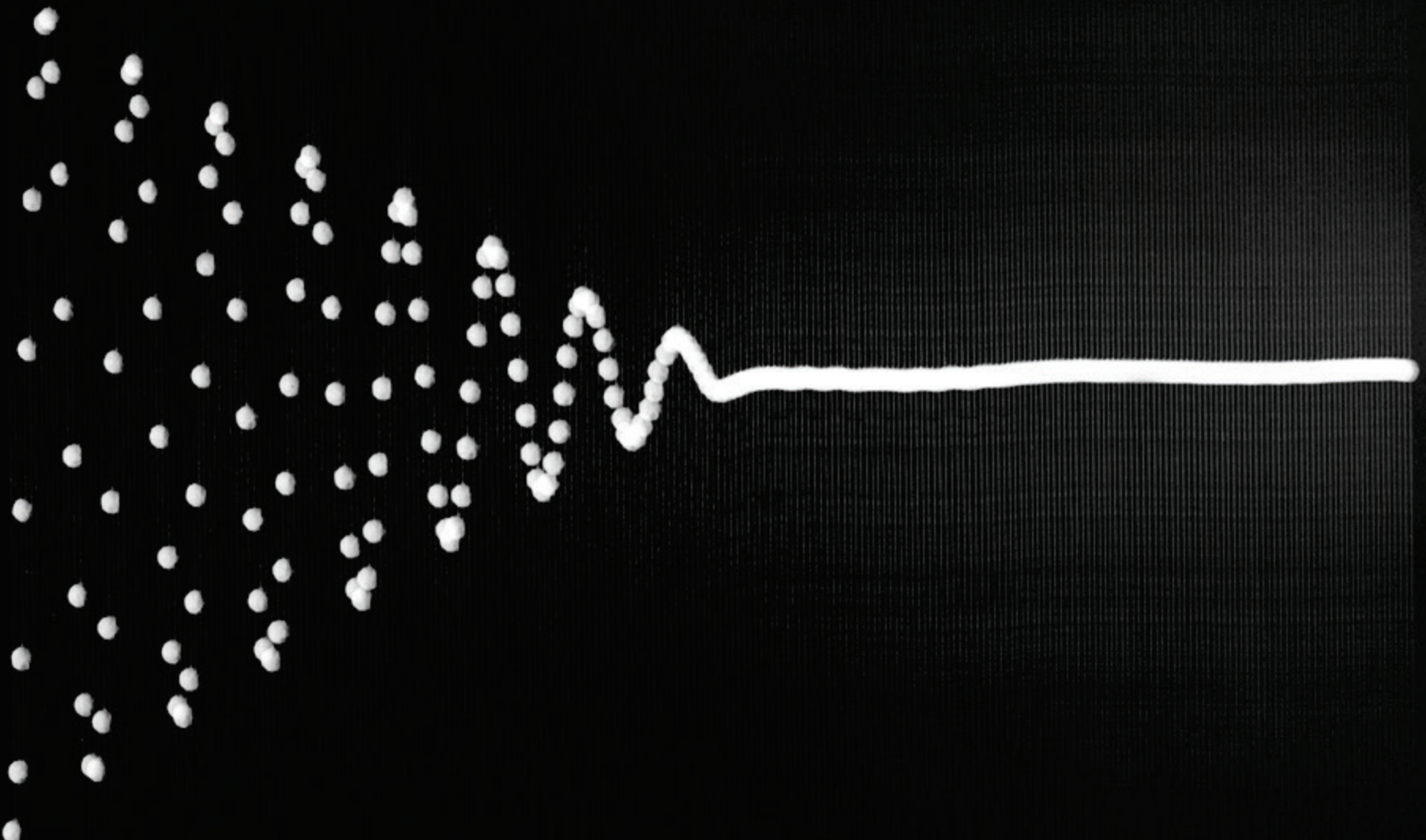
..... A rugalmas inga lecsengő rezgései

A rugalmas inga lecsengő rezgései



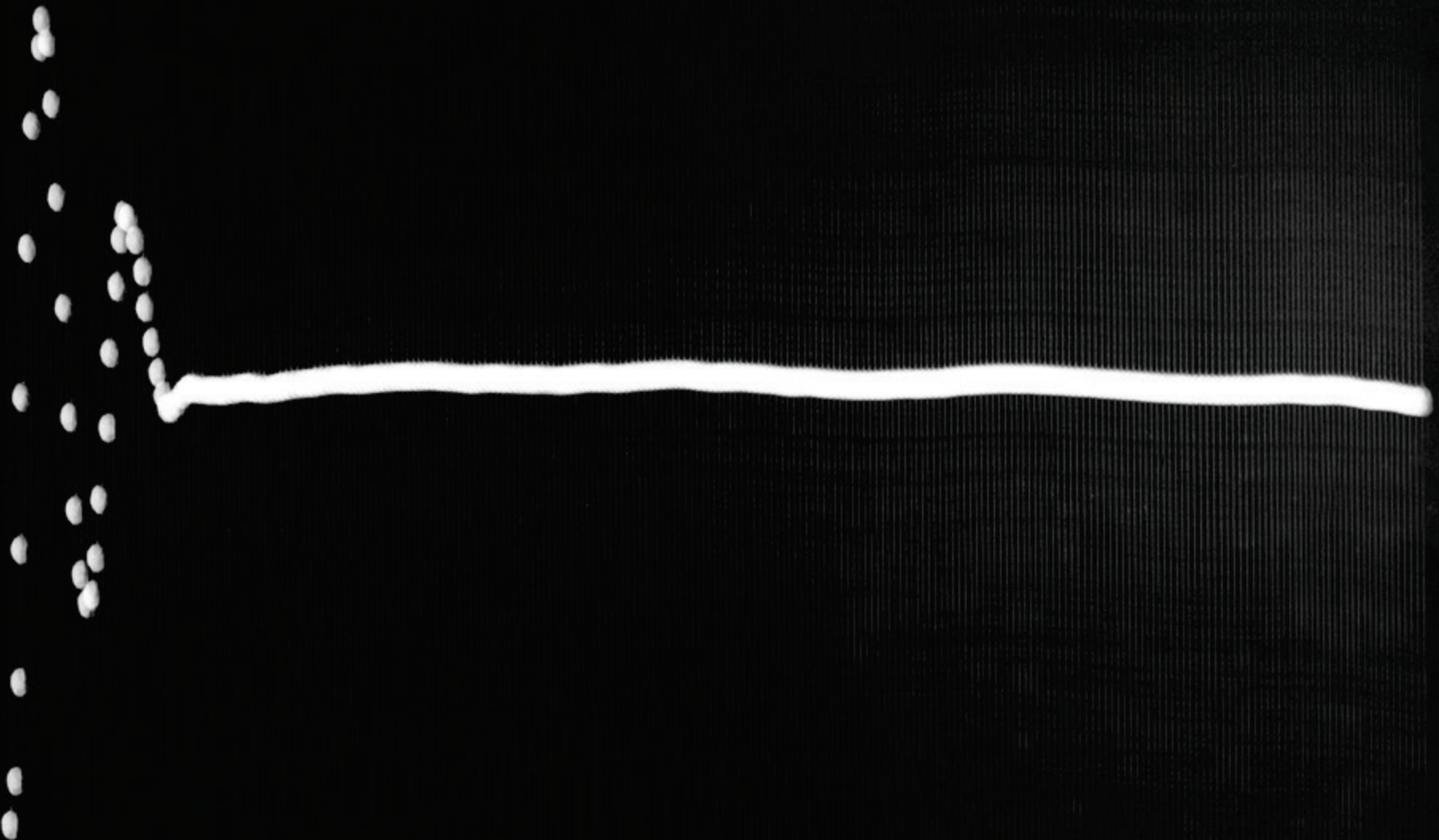
Gyenge súrlódás. A kis krétdarab a rezgést végző nehezék zsinórjához van kötve (250 villantás, $\Delta t = 60$ ms)

A rugalmas inga lecsengő rezgései



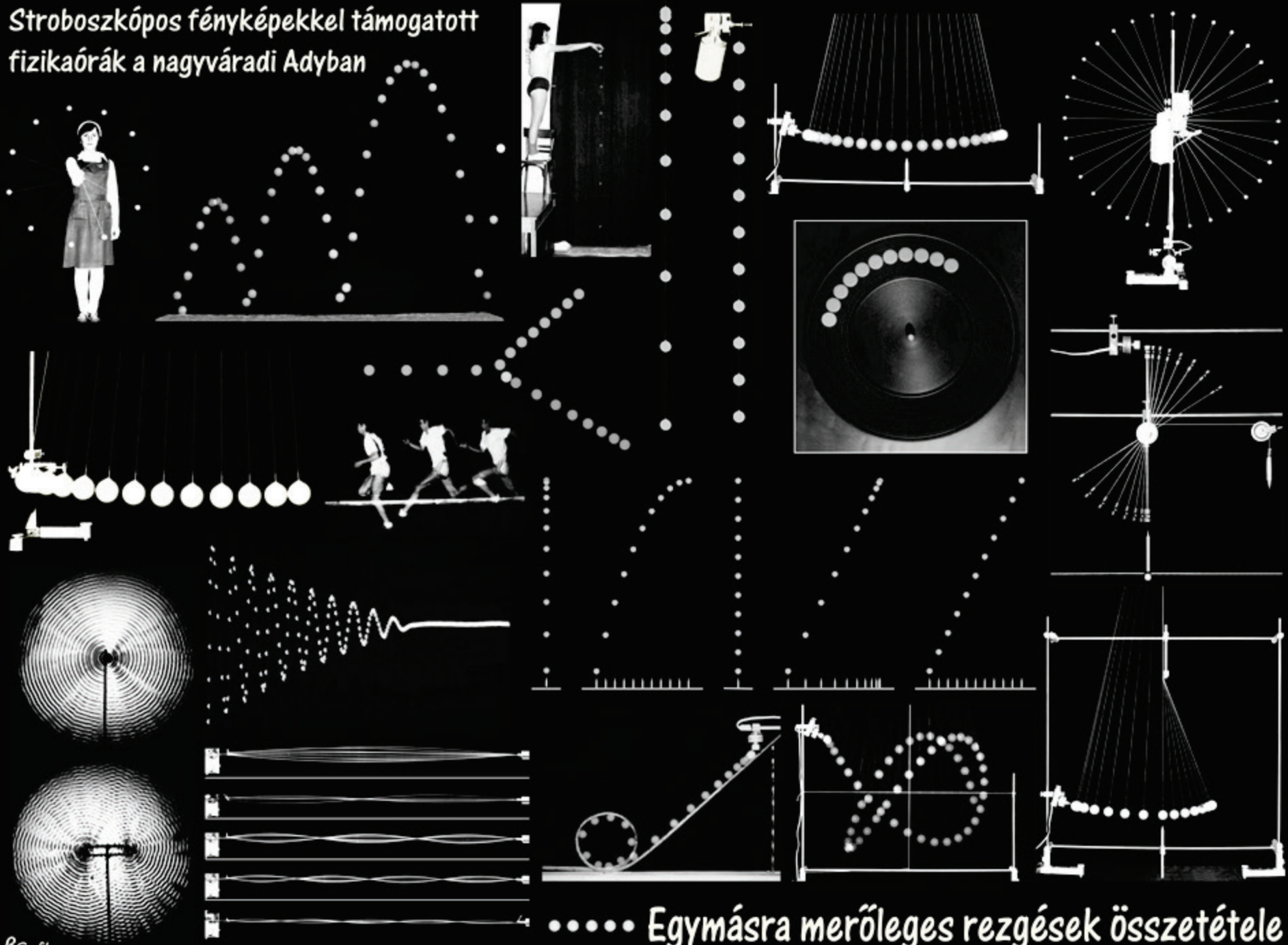
Erősebb súrlódás. A kis krétadarab a rezgést végző nehezék zsinórjához van kötve (250 villantás, $\Delta t = 60$ ms)

A rugalmas inga lecsengő rezgései

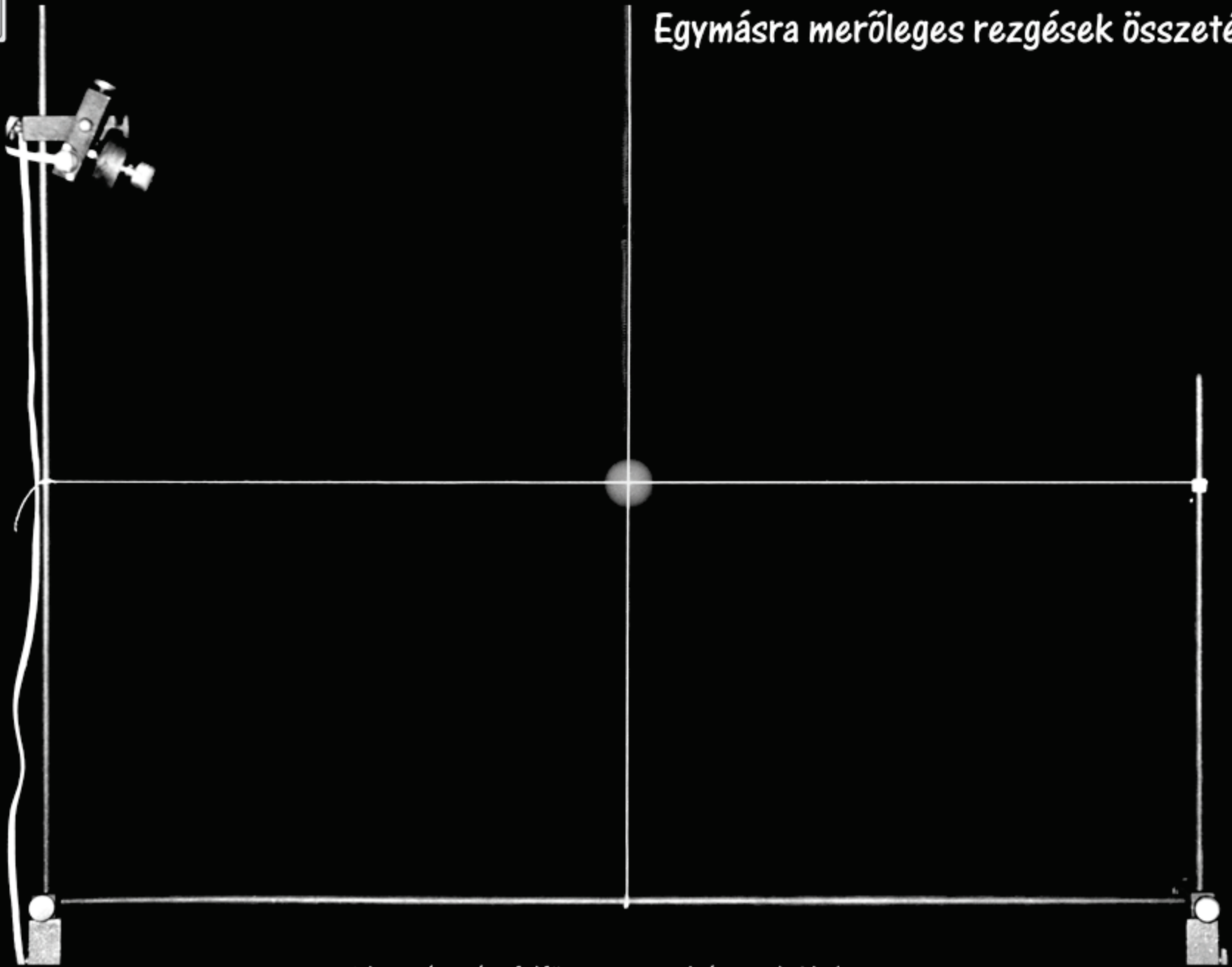


Erős súrlódás. A kis krétadarab a rezgést végző nehezék zsinórjához van kötve (250 villantás, $\Delta t = 60$ ms)

Stroboszkópos fényképekkel támogatott
fizikaórák a nagyváradi Adyban

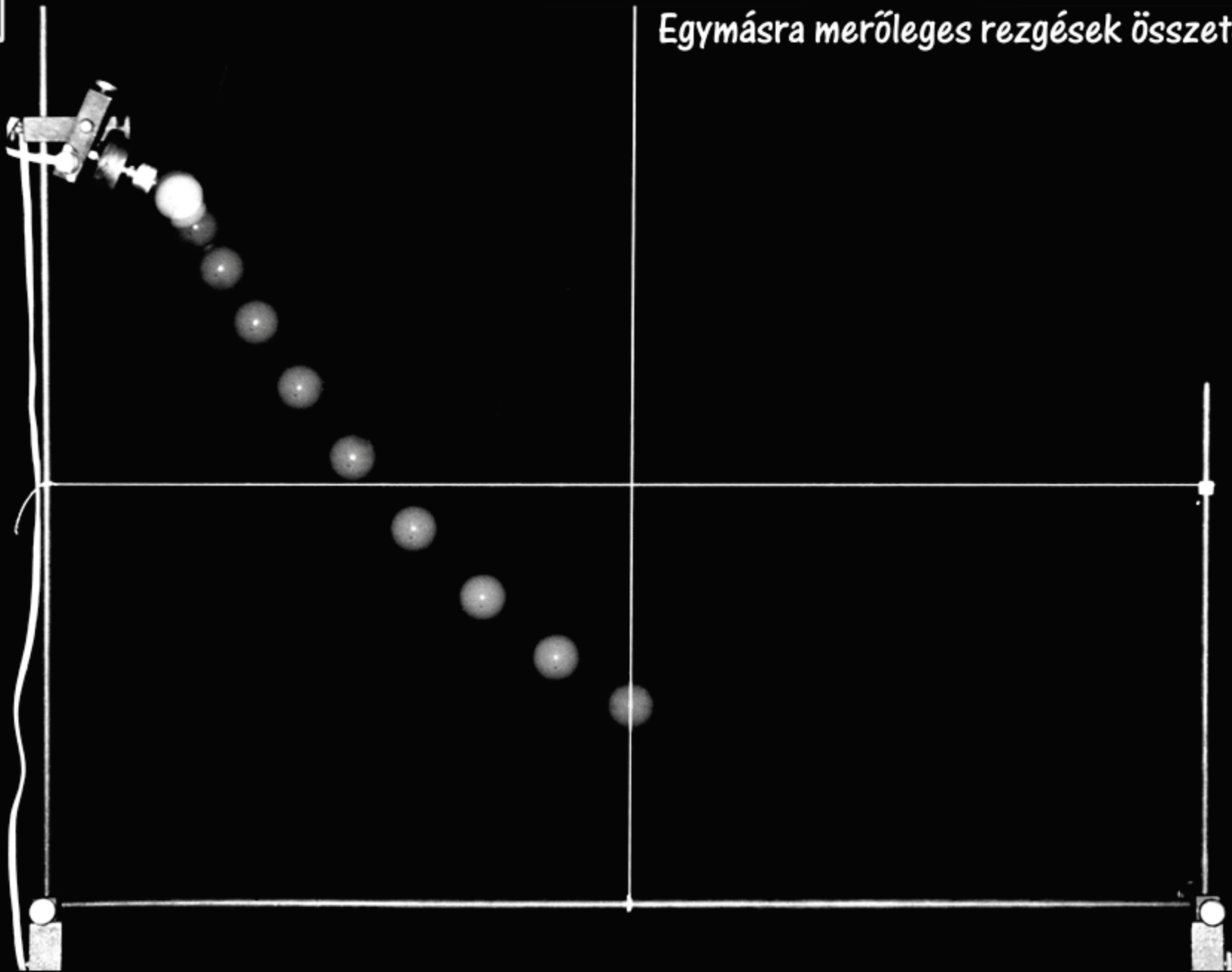


Egymásra merőleges rezgések összetétele



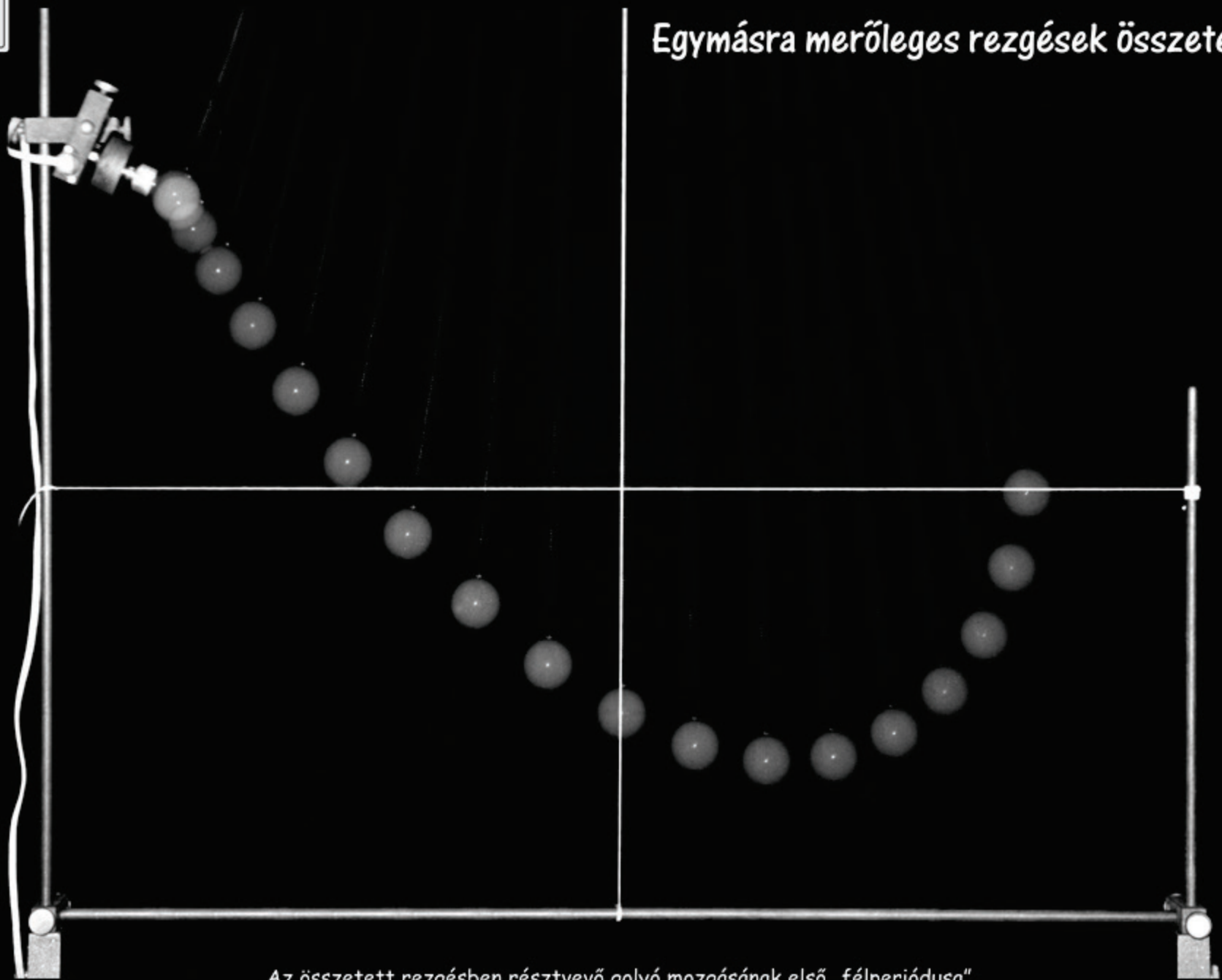
A hosszú rugóra felfüggesztett golyó nyugalmi helyzete

Egymásra merőleges rezgések összetétele



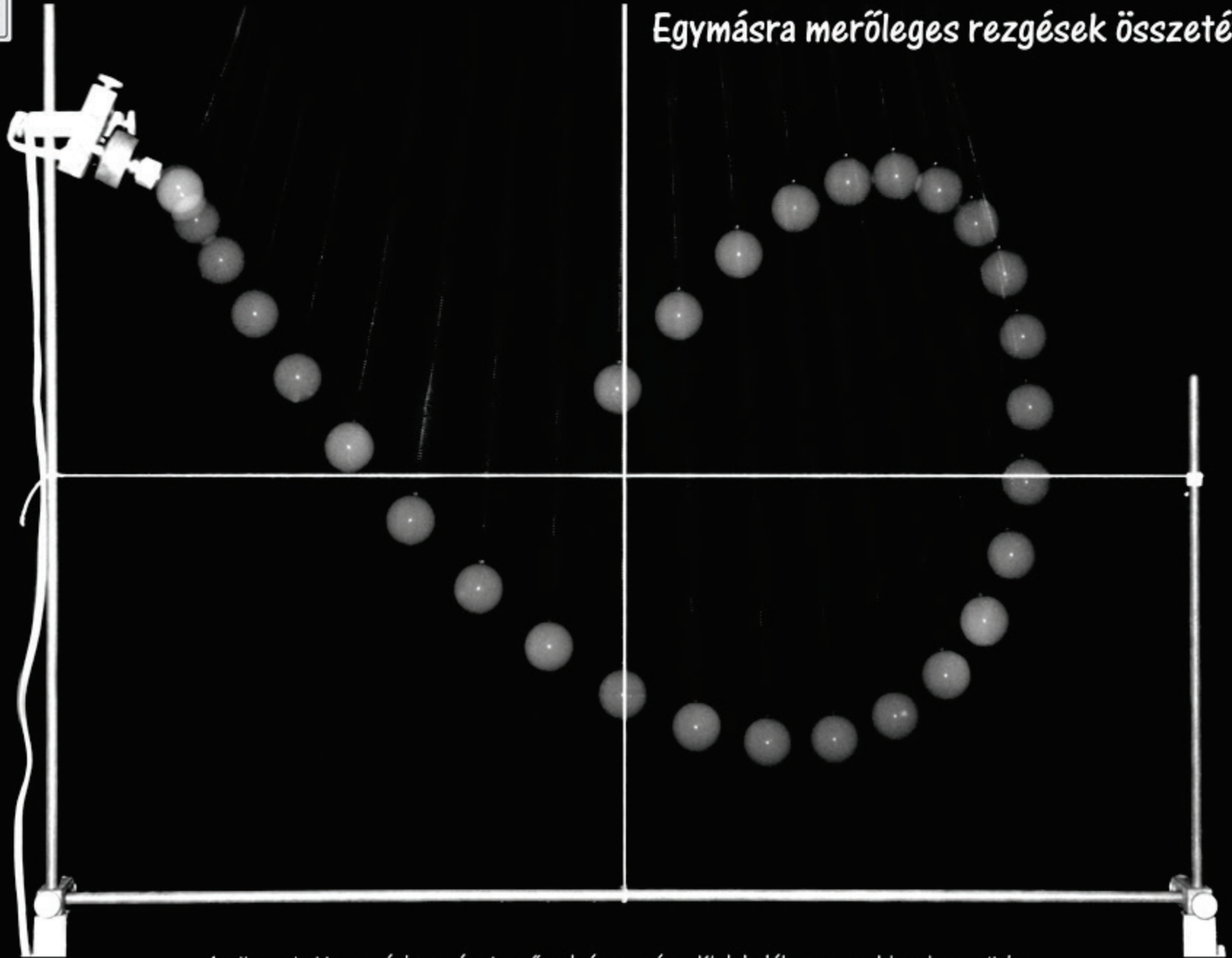
Az összetett rezgésben résztvevő golyó mozgásának első „negyedperiódusa”

Egymásra merőleges rezgések összetétele



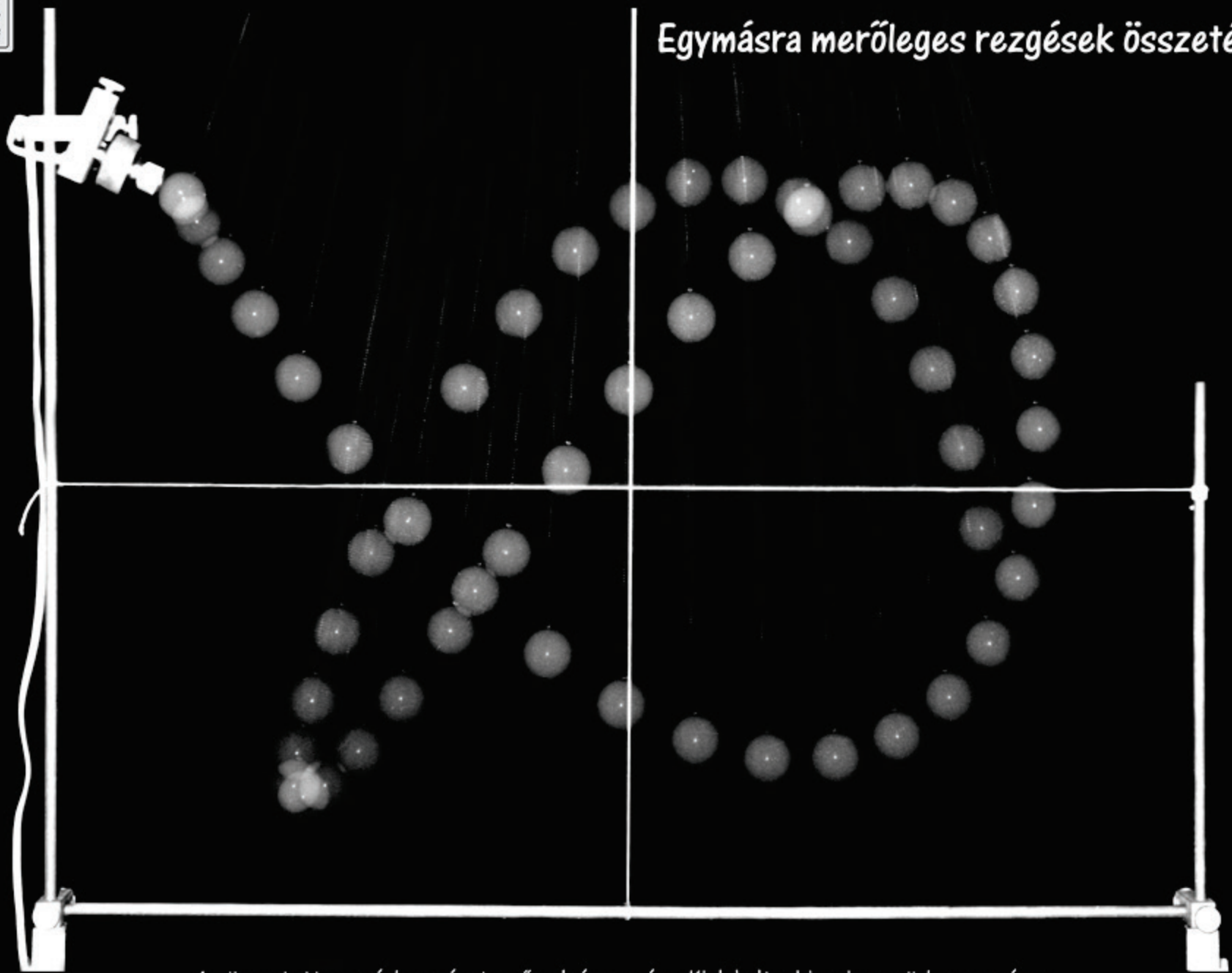
Az összetett rezgésben résztvevő golyó mozgásának első „félperiódusa”

Egymásra merőleges rezgések összetétele



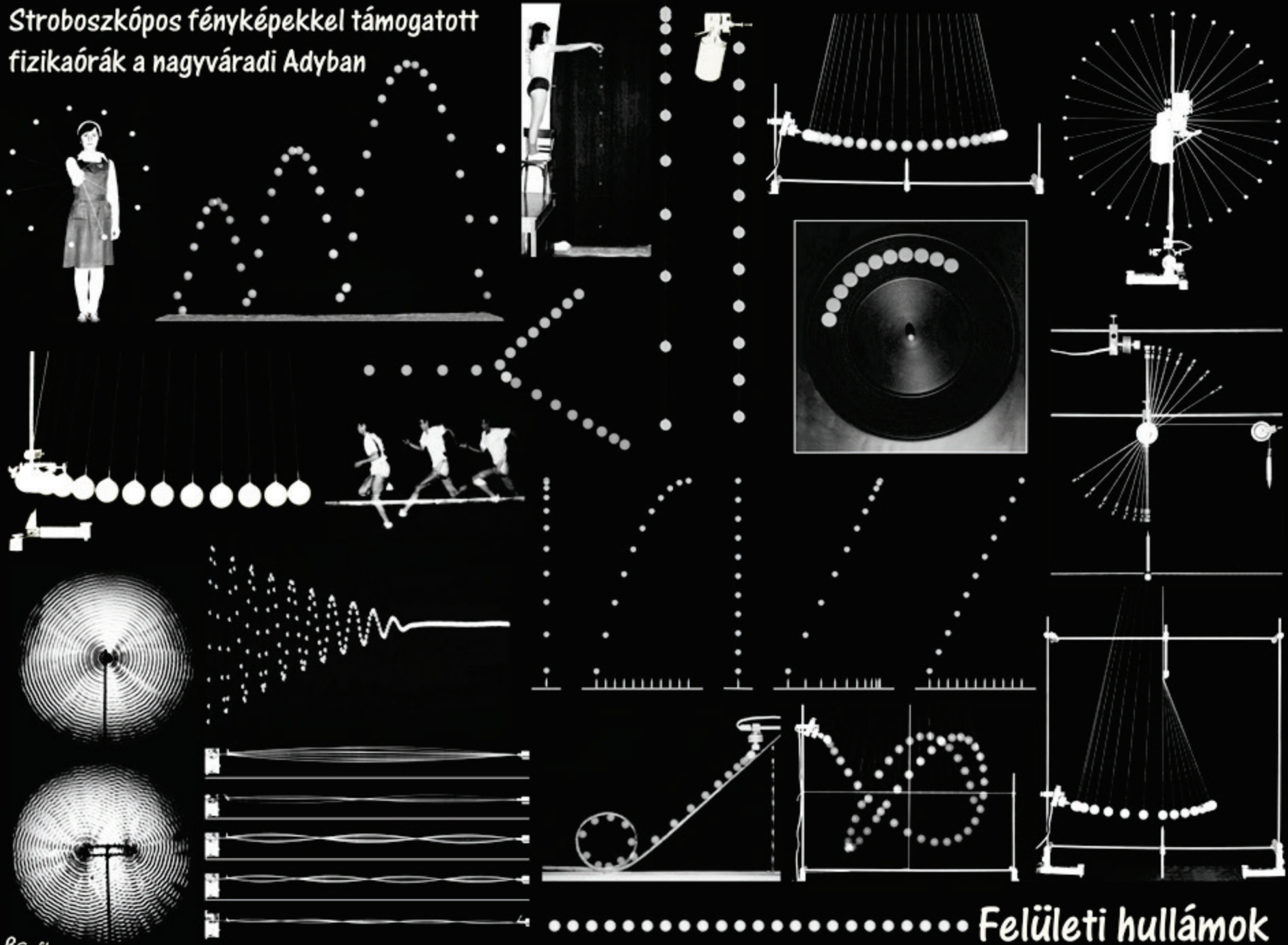
Az összetett rezgésben résztvevő golyó mozgása. Kialakulóban van a Lissajous-görbe

Egymásra merőleges rezgések összetétele



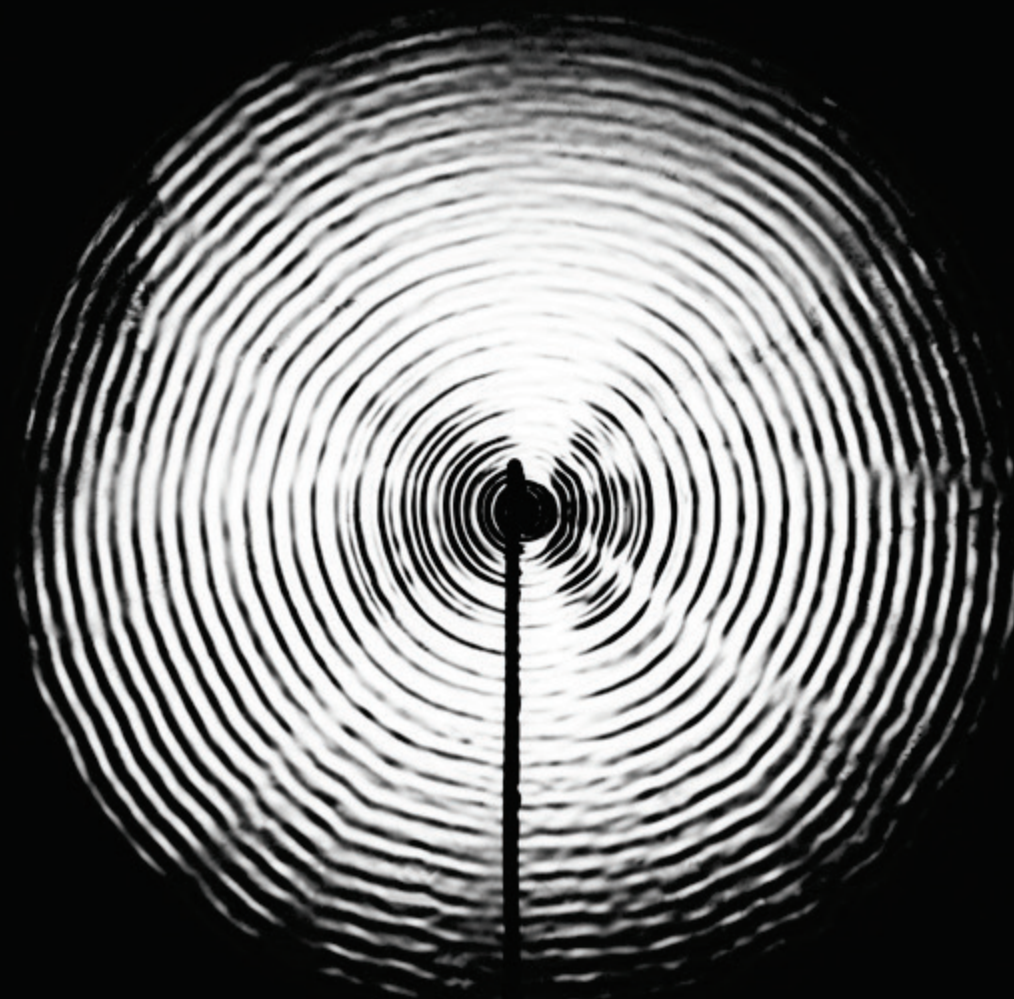
Az összetett rezgésben résztvevő golyó mozgása. Kialakult a Lissajous-görbe egy része

Stroboszkópos fényképekkel támogatott
fizikaórák a nagyváradi Adyban



Felületi hullámok

Felületi hullámok



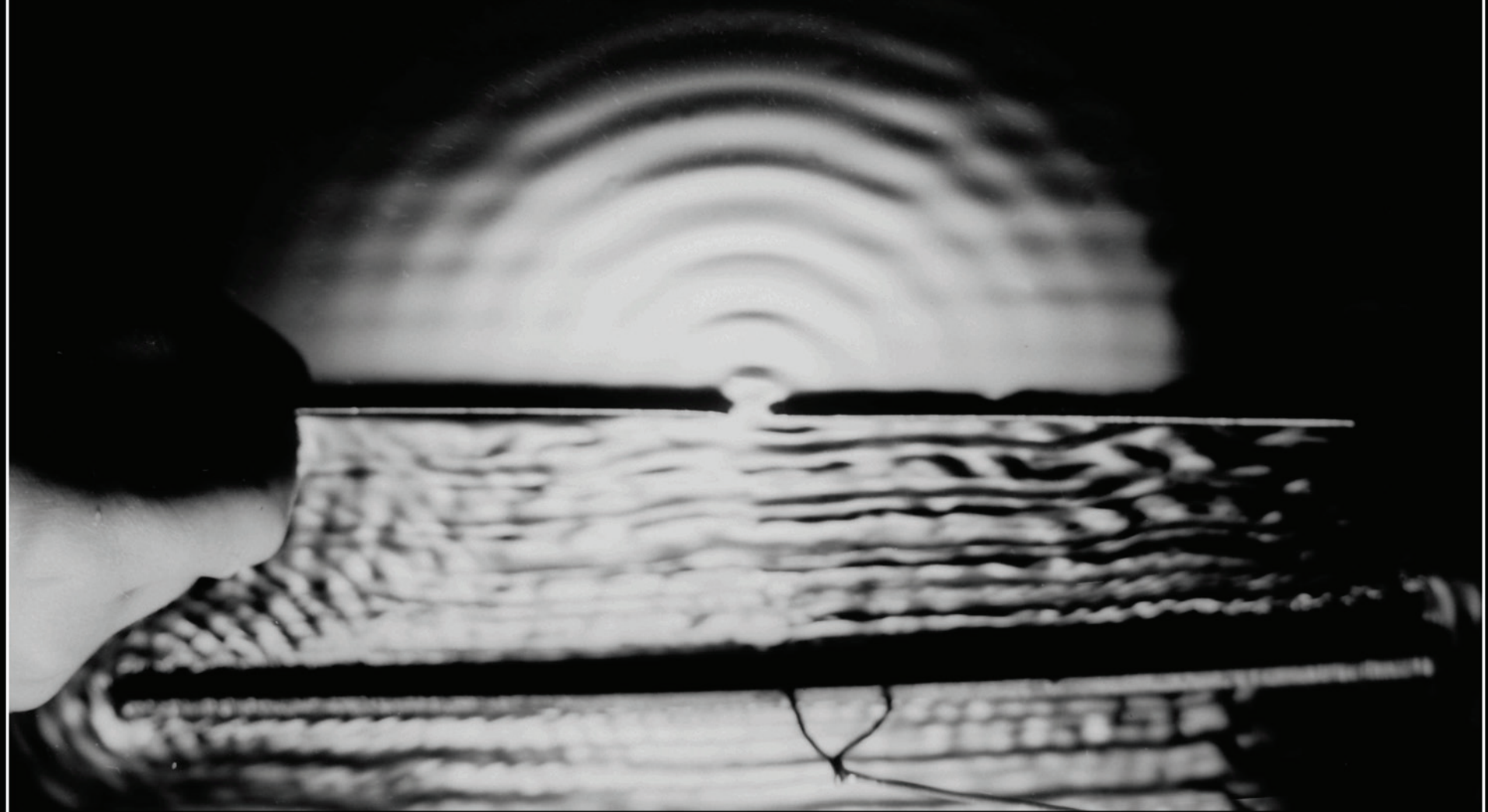
Körhullámok a higany felületén (24 villantás; $\Delta t = 44$ ms)

Felületi hullámok



Lineáris hullámok a higany felületén ($\Delta t = 44$ ms)

Felületi hullámok



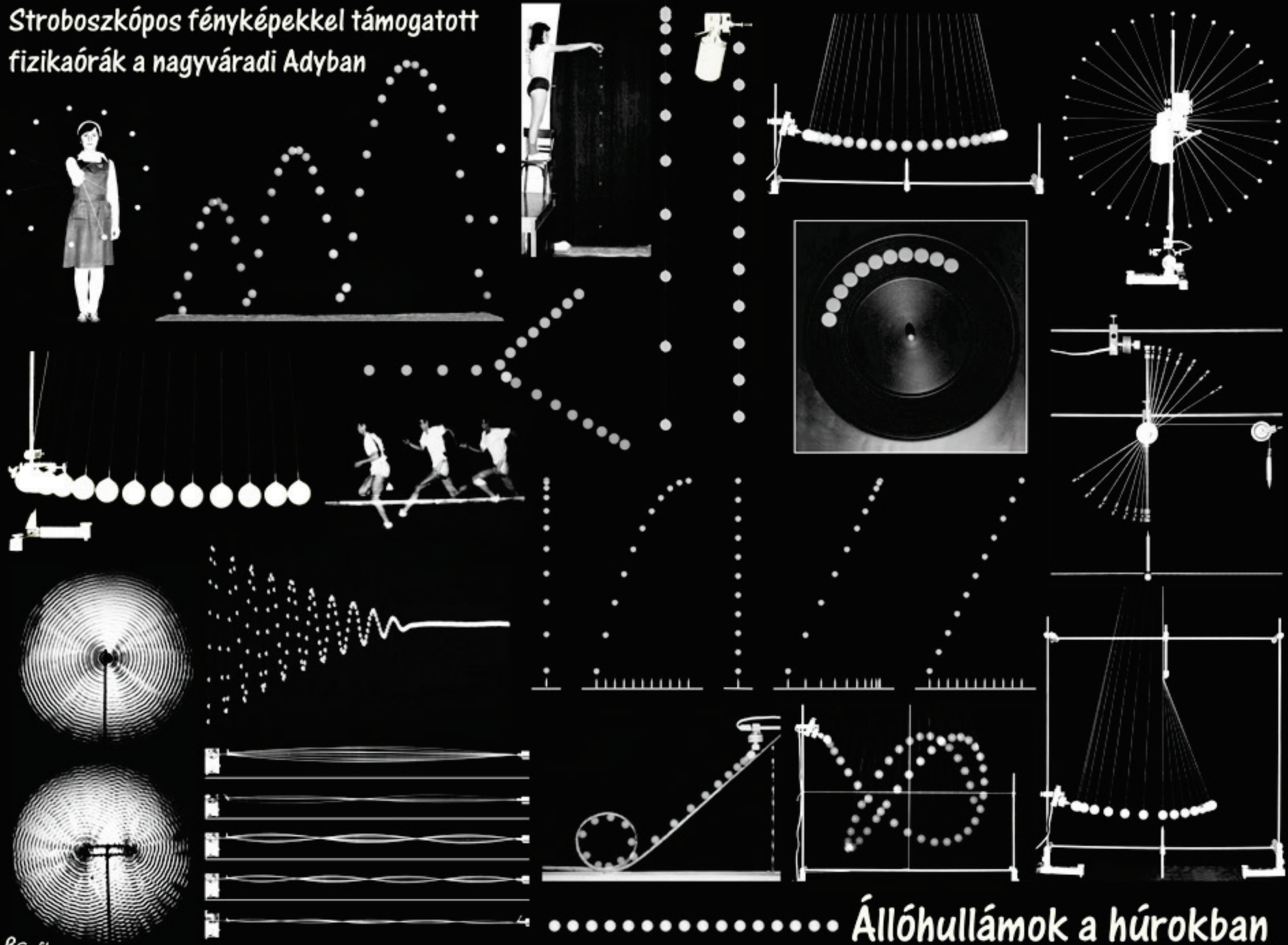
A Huygens-elv demonstrációja: lineáris hullámok elhajlása a keskeny résnél ($\Delta t = 44$ ms)

Felületi hullámok



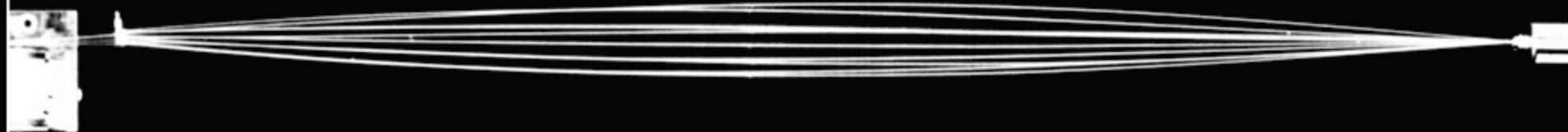
Young kísérlete (24 villantás; $\Delta t = 44$ ms)

Stroboszkópos fényképekkel támogatott
fizikaórák a nagyváradi Adyban



..... Állóhullámok a húrokban

Állóhullámok a húrokban



A cérnában fellépő feszítőerő és a gerjesztési frekvencia megfelelő beállításával **egyorsós** állóhullám alakul ki

Állóhullámok a húrokban



A cérnában fellépő feszítőerő és a gerjesztési frekvencia megfelelő beállításával kétorsós állóhullám alakul ki

Állóhullámok a húrokban



A cérnában fellépő feszítőerő és a gerjesztési frekvencia megfelelő beállításával háromorsós állóhullám alakul ki

Állóhullámok a húrokban



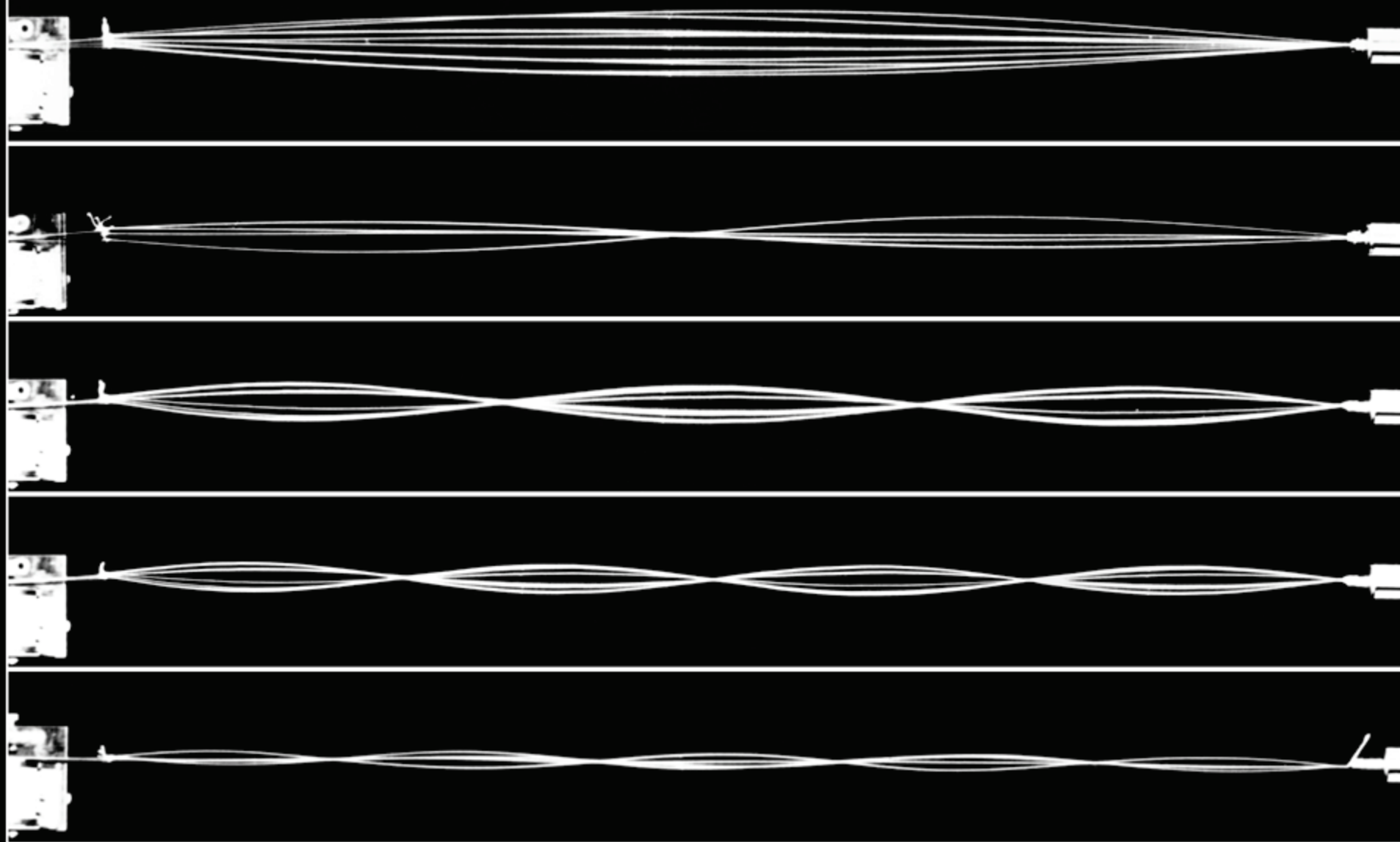
A cérnában fellépő feszítőerő és a gerjesztési frekvencia megfelelő beállításával **négyorsós** állóhullám alakul ki

Állóhullámok a húrokban



A cérnában fellépő feszítőerő és a gerjesztési frekvencia megfelelő beállításával ötorsós állóhullám alakul ki

Állóhullámok a húrokban



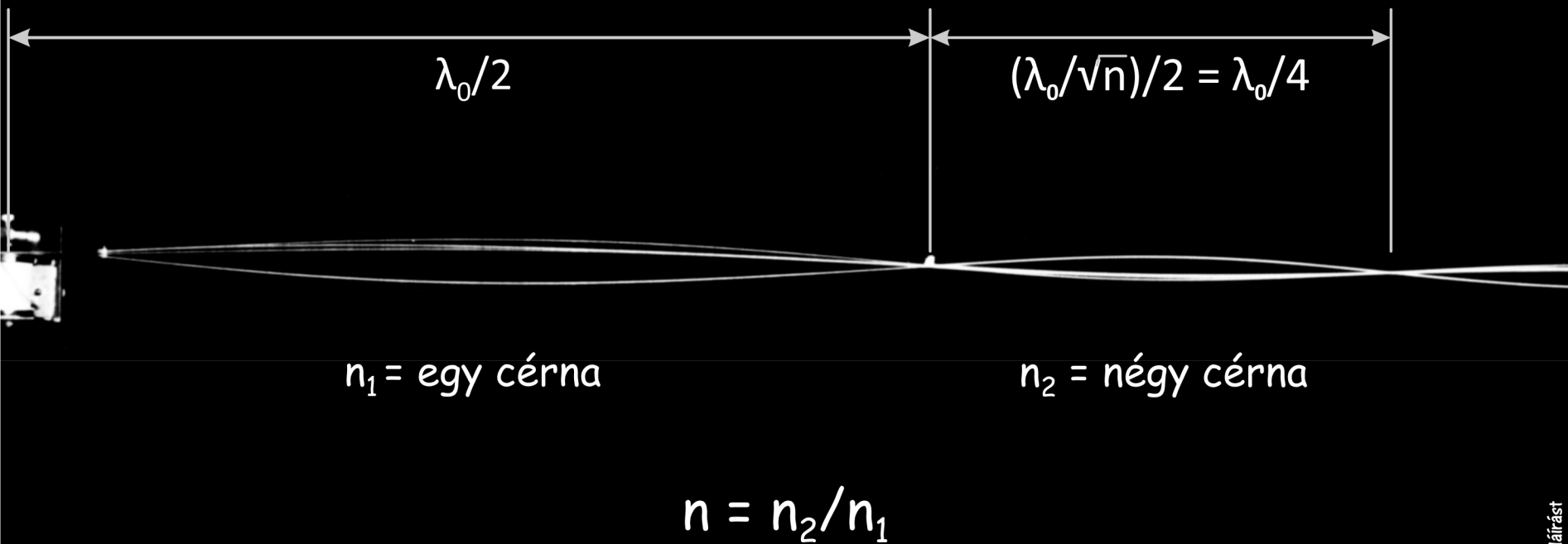
A cérnában fellépő feszítőerő és a gerjesztési frekvencia megfelelő beállításával az orsók száma változtatható

Állóhullámok a húrokban



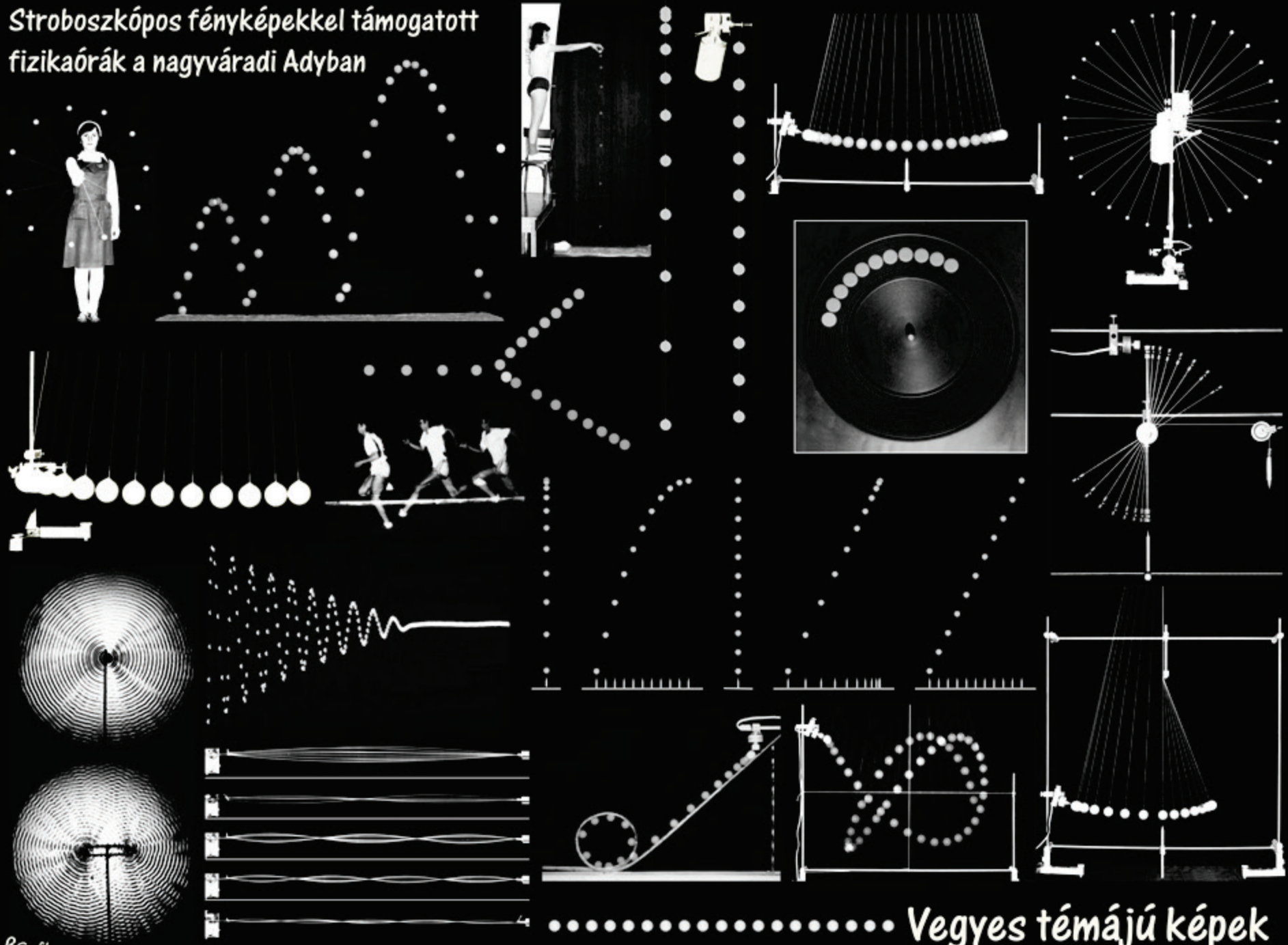
Az állóhullámok törése. A csomótól balra a húr csak $n_1 = 1$ cérnából áll, míg jobbra $n_2 = 4$ cérnából, ezért a hullámhossz kisebb lesz.

Állóhullámok a húrokban

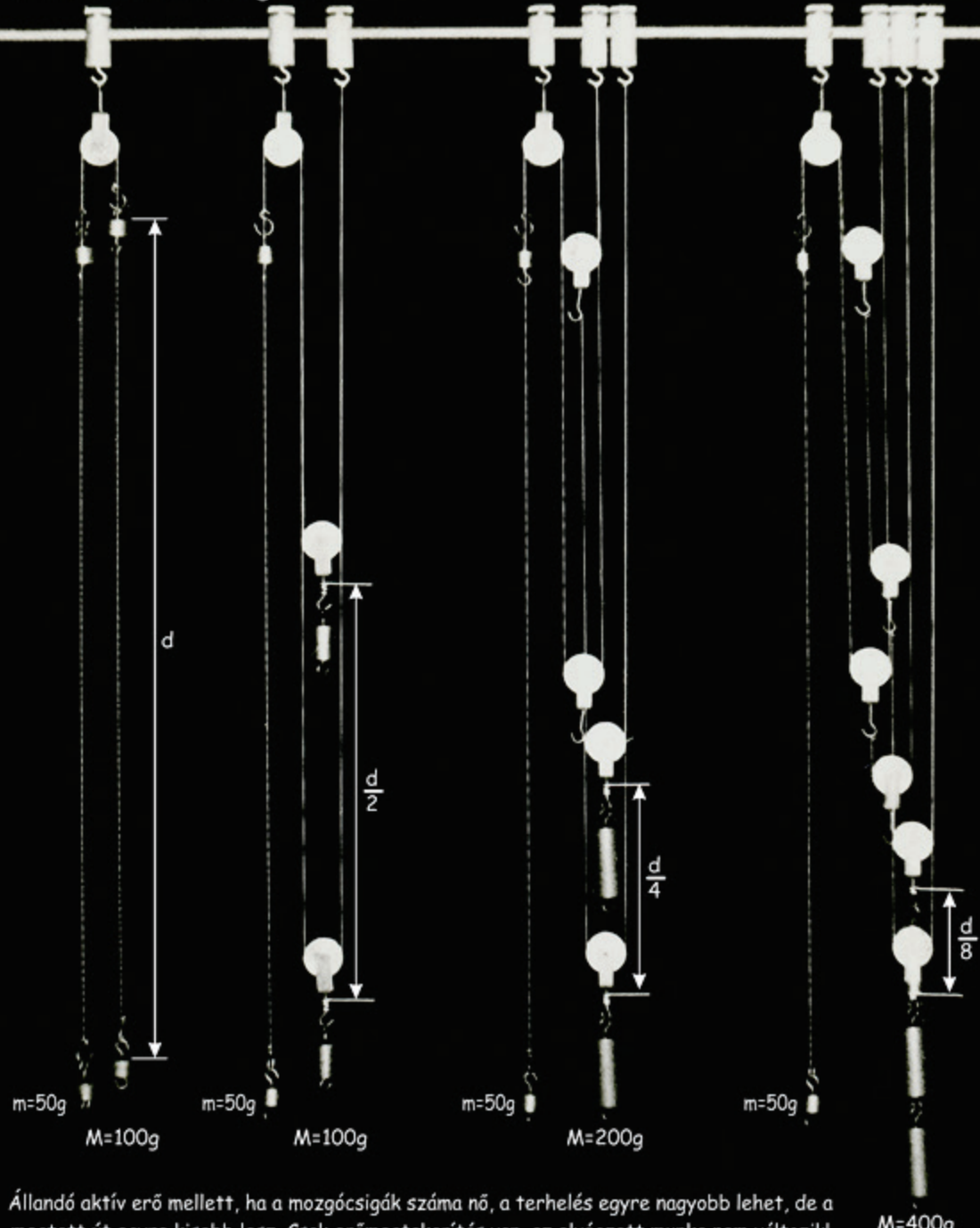


Az állóhullámok törése. A csomótól balra a húr csak $n_1 = 1$ cérnából áll, míg jobbra $n_2 = 4$ cérnából, ezért a hullámhossz kisebb lesz.

Stroboszkópos fényképekkel támogatott
fizikaórák a nagyváradi Adyban



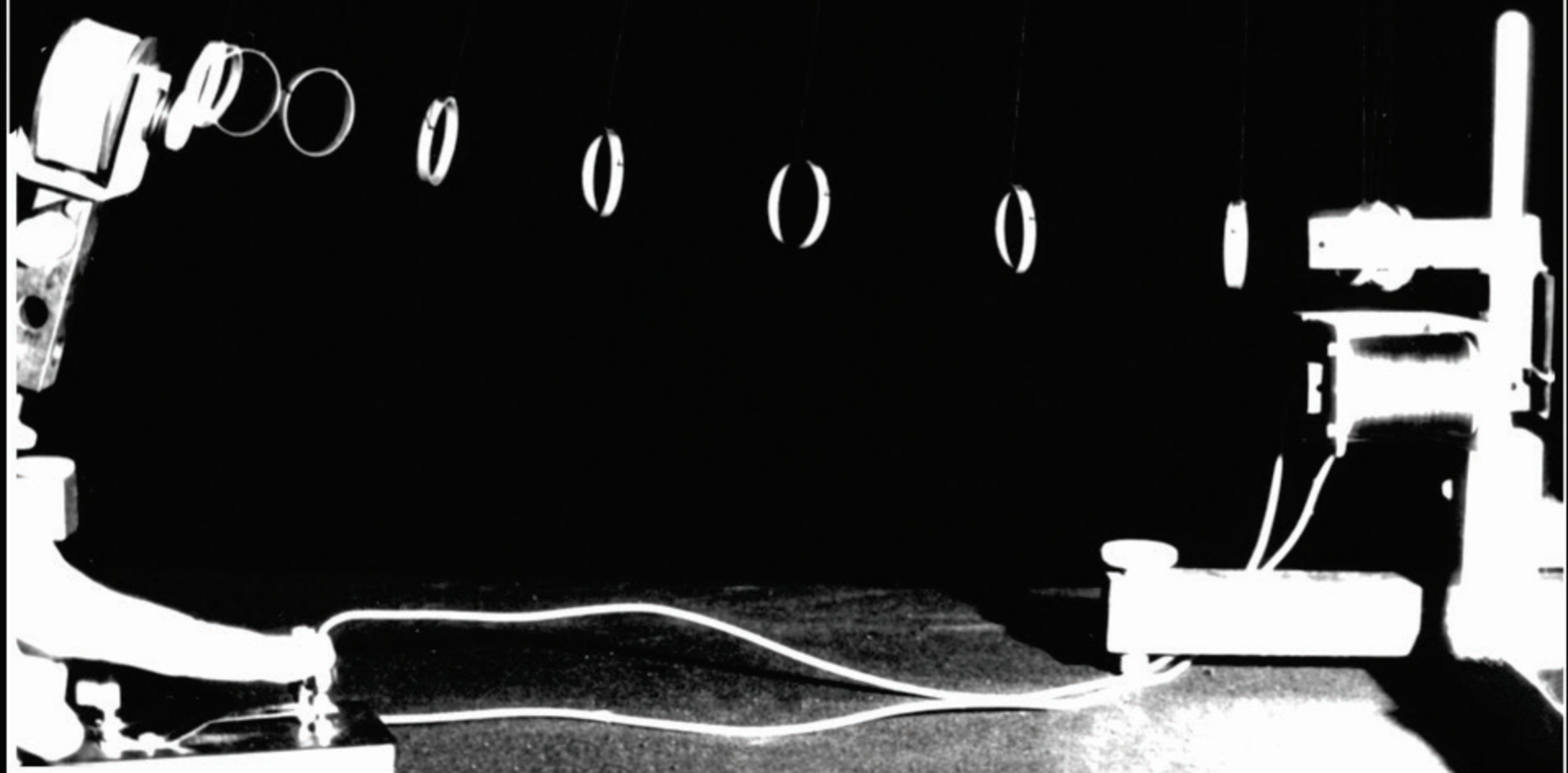
Arkhimédészi csigasor



Állandó aktív erő mellett, ha a mozgócsigák száma nő, a terhelés egyre nagyobb lehet, de a megtett út egyre kisebb lesz. Csak erőmegtekercs van, az elvégzett munka nem változik!

$M=400\text{g}$

Lenz törvényének igazolása



Amint a gyűrű az áramjárta elektromágneshez ér, a benne indukálódott áram mágneses tere azonnal lefélkezi. A gyűrű hamarosan megáll

Gyorsuló mozgás - 1977



Az atléta startja. Teljes sötétségben készült stroboszkópos felvétel a sportpályán ($n = 3$ villantás; $\Delta t = 150$ ms)

Egyenletes mozgás - 1977



Szinte egyenletes mozgás. Teljes sötétségben készült stroboszkópos felvétel a sportpályán ($n = 3$ villantás; $\Delta t = 150$ ms)

Adatfeldolgozás - 1977



A stroboszkópos felvétel napján feljegyeztük a távolságokat és a villantási időközt. Később összehasonlítottuk a fényképen látottakkal

Ne engedjétek a fizikatanárt a játszótér közelébe!



Source: <http://kozepsuli.hu/wp-content/uploads/2015/04/image-c1b772d4ef21a8fc46c271c2b93f9da3086b666c82d8d683bf37e216a47238ec-V.jpg>

T

Köszönöm a figyelmet!



A stroboszkópos felvételek túlnyomó többsége a nagyváradi Ady Endre Líceum számítógép-vezérelt Fizikumában készült

Márokkó, 1976

beistvan@yahoo.com

Az egyszerű lefuttatást kiegészítő forrógombok

A stroboszkópos album pdf változata mintegy száz, 3000x2400 px, 300 dpi felbontású képet tartalmaz. Az egyszerű lefuttatás a pdf állományoknál megszokott nyíl- és lapozógombokkal, valamint az egér vezérlőgombjaival történik. A tartalomjegyzékben megtalálhatjuk a lefényképezett jelenségek csoportosítás szerinti belső címlapjait, ez segíti a képek téma köré szelektív megnézését. Egy szempiktogramra kattintva a kiválasztott belső címlaphoz érkezünk, a további nézegetés a már említett általános gombokkal történhet, így eljuthatunk akár a stroboszkópos fényképalbum végéig is. minden oldal jobb-felső sarkában található egy ciánszínű **T** betű, amelyre rákattintva a tartalomjegyzékhez ugorhatunk vissza. Az **Esc** billentyűvel bárhol kiléphetünk az albumból.

Ez a rövid magyarázat a prezentáció végére került, de a tartalomjegyzékből közvetlenül is meghívható, itt is szerepel a ciánszínű **T** betű, ezzel visszaléphetünk a tartalomjegyzékhez, ahol kiválaszthatjuk a további nézegetésre szánt témat.

Ajánlat. A **csupa-petty** típusú képsorok nagyon egyszerűnek tűnnék, első látásra mindenki - velem az élen - érteni véli. Általános tévedés tapasztalható a pálya viszonylagosságával kapcsolatos képek esetében, ahol a „csak nézegetők” a számítógép-vezérelt fényképezőkocsi mozgását éppen az ellenkező irányba képzelik el. Miután elfogadják a képek alján levő kommentet, és elmerülnek a képek nézésében, újabb hibákat vélnek felfedezni. Én magam is így vagyok ezzel! Ha sokáig nem láttam egy képet, akkor első ránézéskor elvileg hibásnak tartom a kép alján levő magyarázatot. Sokszor csak igen hosszú gondolatsor után fogadom el, ilyenkor fogalmazódik meg bennem a stroboszkópos képek haszná a fizikaórákon.

Sokat használtam, ezért ajánlom mindenkinél.